



การผลิตถ่านกัมมันต์จากกาแฟโดยใช้ฟลuid化เชิงป้อน

Production of Activated Carbon from Coffee Residue using Steam Fluidization

ดร. ไชยบัณฑ์ ไชยยะ

RMUTK - CARIT



3 2000 00100704 8

ประจำปีงบประมาณ 2548



การผลิตถ่านกัมมันต์จากกาแฟโดยใช้ฟลูอิดเจชันไอน้ำ

Production of Activated Carbon from Coffee Residue using Steam Fluidization

ดร. ไชยยันต์ ไชยยะ

RMUTK - CARIT



3 2000 00100704 8

ประจำปีงบประมาณ 2548

การผลิตถ่านกัมมันต์จากกาแฟโดยใช้ฟลูอิดเชชันไอน้ำ

Production of Activated Carbon from Coffee Residue using Steam Fluidization

ดร. ไชยยันต์ ไชยยะ
สาขาวิชาเคมีอุตสาหกรรม
คณะวิชาเทคโนโลยีเคมี

สนับสนุนโดยมหาวิทยาลัยเทคโนโลยีราชมงคลกรุงเทพ

กิตติกรรมประกาศ

ขอขอบคุณมหาวิทยาลัยเทคโนโลยีราชมงคลกรุงเทพ ที่ได้สนับสนุนทุนวิจัยงบประมาณเงินแผงประจำปี ประจำปี 2548 และขอบคุณ บริษัท ชาราดี คอฟฟี่ แอนด์ ที จำกัด ที่เอื้อเพื่อการกาแฟเพื่อใช้เป็นตัวอย่างในการนำมาผลิตเป็นถ่านกัมมันต์

Abstract

The production of activated carbon coffee residue by steam fluidization, contained two steps of carbonization and steam activation. Coffee residue was carbonized by varied temperature as 400, 500 and 600^oC at time 1, 2 and 3 h. The gas sorption analyzer results showed that the highest surface area of carbon was 143 m²/g, at the temperature 600^oC for 1 h. This carbon was selected in 971 μm of average diameter and activated at 0.62 m/s of steam velocity by varied temperature as 700, 800 and 900^oC and time 3, 5 and 7 h. The results showed that the highest yield of activated carbon was 82.57% at the temperature 700^oC for 3 h. While, the highest surface area was 1,067 m²/g at the condition of 900^oC for 5 h. The FT-IR results demonstrated that the functional groups of activated carbon were Phenol (O-H), Alkane (C-H), Aromatic (C=C) and Methyl groups (CH₃).



สารบัญ

หน้า

บทคัดย่อ	๑
ABSTRACT	๑
สารบัญ	๒
รายการตาราง	๓
รายการรูป	๔
ประมวลคำศัพท์และคำย่อ	๕
 บทที่	
1. บทนำ	๑
1.1 ความเป็นมาและความสำคัญของปัญหา	๑
1.2 วัตถุประสงค์ของงานวิจัย	๑
1.3 ขอบเขตของงานวิจัย	๒
1.4 วิธีการทำงานวิจัย	๒
1.5 ประโยชน์ที่จะได้รับจากการวิจัย	๒
2. วารสารปริพัฒน์	๓
2.1 ภาคภาษา	๓
2.2 ถ่านกัมมันต์	๔
2.3 ฟู่อิโคเซชัน	๑๒
3. วิธีการทำงานวิจัย	๒๓
3.1 อุปกรณ์และสารเคมี	๒๓
3.2 ขั้นตอนการผลิตถ่านกัมมันต์	๒๕
3.3 วิธีการทดสอบสมบัติถ่านกัมมันต์	๓๑

สารบัญ (ต่อ)

4. ผลการทดลองและอภิปรายผล	32
4.1 อิทธิพลของอุณหภูมิการโน้มในชั้นที่มีต่อผลไส้ และพื้นที่ผิวของถ่านกาภิเเพ	32
4.2 ศึกษาผลของความเร็วต่ำสุด (U_{mf}) และความเร็วสูงสุด (U_s) ในการเกิดฟูดี้ไซเดชันในการผลิตถ่านกัมมันต์	33
4.3 อิทธิพลของเวลาการกระตุนที่มีต่อผลไส้ และพื้นที่ผิวของถ่านกัมมันต์	34
4.4 อิทธิพลของเวลาการกระตุนที่มีต่อปริมาตรรูพุนของถ่านกัมมันต์	36
4.5 อิทธิพลของเวลาการกระตุนที่มีต่อน้ำครูพุนและลักษณะของถ่านกัมมันต์	36
4.6 การศึกษาโครงสร้างของกาภิเเพ ถ่าน และถ่านกัมมันต์โดยกล้องจุลทรรศน์ อเล็กทรอนแบบส่องกราด (Scanning electron microscope, SEM)	38
4.7 การวิเคราะห์หมู่หน้าที่ (functional groups) โดยเครื่องฟูรีบีร์ทรานฟอร์ม อินฟราเรดสเปกโตรมิเตอร์ (Fourier transform infrared, FT-IR)	40
5. สรุปผลการวิจัยและข้อเสนอแนะ	45
5.1 ผลของอุณหภูมิและเวลาการโน้มในชั้นที่มีต่อผลไส้ และพื้นที่ผิวถ่านกาภิเเพ	45
5.2 ผลของอุณหภูมิและเวลาการกระตุนที่มีต่อผลไส้ และพื้นที่ผิวของถ่านกัมมันต์	45
5.3 ผลการวิเคราะห์หมู่หน้าที่บนผิวถ่านกัมมันต์	45
5.4 ข้อเสนอแนะ	46
เอกสารอ้างอิง	47
ภาคผนวก	50
ก. ตัวอย่างการคำนวณ	51
ข. เครื่องมือวิเคราะห์	58
ค. ข้อมูลการทดลอง	64
ประวัตินักวิจัย	67

รายการตาราง

ตารางที่	หน้า
4.1 ความเร็วต่ำสุด (U_{mf}) และความเร็วสูงสุด (U_c) ในการเกิดฟลูอิโอดีเซ็น	34
4.2 หมู่หน้าที่ (Functional groups) บนผิวภาคภาษาฟ์ จ่าน และจ่านกัมมันต์ที่สภาวะการกระตุ้นต่างๆ	43
ค.1 ผลได้ พื้นที่ผิว ความหนาแน่นของริง และความหนาแน่นปراกญา ของจ่านจากภาคภาษาฟ์ จากการคราร์บไนไซเดชัน	64
ค.2 ผลได้ของจ่านกัมมันต์จากภาคภาษาฟ์โดยการกระตุ้นด้วยฟลูอิโอดีเซ็นไอน้ำ	65
ค.3 พื้นที่ผิว ปริมาตรรูพrun และขนาดรูพrun เฉลี่ยของจ่านกัมมันต์จากภาคภาษาฟ์โดยการกระตุ้นด้วยฟลูอิโอดีเซ็นไอน้ำ	65

รายการรูป

รูป	หน้า
2.1 กระบวนการผลิตกาแฟสำเร็จรูป	3
2.2 โครงสร้างของแคร์ฟิว	4
2.3 โครงสร้างของถ่านกัมมันต์	5
2.4 ตัวอย่างหมู่หน้าที่บนผิวถ่านกัมมันต์	11
2.5 ปรากฏการณ์ฟลูอิโอดีซ์แบบด่างๆ	13
2.6 ความสัมพันธ์ระหว่างความดันลดกับความเร็วในการฟลูอิโอดีซ์	13
2.7 กรณีความสัมพันธ์ระหว่าง $C_d Re^2$ กับ Re	17
3.1 ลักษณะของกาแฟ	24
3.2 อุปกรณ์ด่างๆ สำหรับสร้างชุดทดลองฟลูอิโอดีเซนชัน ไอน้ำ	25
3.3 เครื่องคัดนาคอบุภาค (Sieve Analysis)	27
3.4 Bubble flow meter	28
3.5 ลักษณะถ่านกัมมันต์จากกาแฟโดยการกระตุ้นด้วยฟลูอิโอดีเซนชัน ไอน้ำ	28
3.6 ส่วนประกอบของชุดทดลองฟลูอิโอดีเซนชัน ไอน้ำ	29
3.7 ชุดทดลองฟลูอิโอดีเซนชัน ไอน้ำ	30
4.1 อิทธิพลของอุณหภูมิที่มีต่อผลได้ของถ่านกาแฟที่เวลาด่างๆ	32
4.2 อิทธิพลของอุณหภูมิที่มีต่อพื้นที่ผิวของถ่านกาแฟที่เวลาด่างๆ	33
4.3 อิทธิพลของเวลาการกระตุ้นที่มีต่อผลได้ของถ่านกัมมันต์ที่อุณหภูมิต่างๆ	35
4.4 อิทธิพลของเวลาการกระตุ้นที่มีผลต่อพื้นที่ผิวของถ่านกัมมันต์ที่อุณหภูมิต่างๆ	35
4.5 อิทธิพลของเวลาการกระตุ้นที่มีต่อปริมาตรรูพุนของถ่านกัมมันต์ที่อุณหภูมิต่างๆ	36
4.6 อิทธิพลของเวลาการกระตุ้นที่มีผลต่องานรูพุนเฉลี่ยของถ่านกัมมันต์ที่อุณหภูมิต่างๆ	37
4.7 โครงสร้างของกาแฟถ่าน และถ่านกัมมันต์ ที่กำลังขยาย 500 เท่า	39
4.8 โครงสร้างของกาแฟถ่าน และถ่านกัมมันต์ ที่กำลังขยาย 1,500 เท่า	40
4.9 สารประกอบของ (functional groups) กาแฟถ่าน และถ่านกัมมันต์	42

รายการรูป (ต่อ)

รูป	หน้า
๗.๑ แบบจำลองการดูดซับโมเลกุลหลายชั้น	๕๘
๗.๒ The BET model for adsorption	๕๘

ประมวลคำศัพท์และคำย่อ

atm	=	ความดันบรรยากาศ
°C	=	องศาเซลเซียส
cm ³ /s	=	ลูกบาศก์เซนติเมตรต่อวินาที
D _p	=	เส้นผ่านศูนย์กลาง
h	=	ชั่วโมง
K	=	องศาเคลวิน
L	=	ลิตร
g	=	กรัม
g/cm ³	=	กรัมต่อลูกบาศก์เซนติเมตร
g/min	=	กรัมต่อนาที
g/mL	=	กรัมต่อมิลลิลิตร
g/s	=	กรัมต่อวินาที
kg	=	กิโลกรัม
kg/m ³	=	กิโลกรัมต่อลูกบาศก์เมตร
kg/ms	=	กิโลกรัมต่อมเมตรวินาที
L/min	=	ลิตรต่อนาที
m ²	=	ตารางเมตร
m ² /g	=	ตารางเมตรต่อกิโลกรัม
mg	=	มิลลิกรัม
mL	=	มิลลิลิตร
mL/g	=	มิลลิลิตรต่อกิโลกรัม
mm	=	มิลลิเมตร
mg/g	=	มิลลิกรัมต่อกิโลกรัม
m/s	=	เมตรต่อวินาที
nm	=	นาโนเมตร
μm	=	ไมโครเมตร

บทที่ 1

บทนำ

1.1 ความเป็นมาและความสำคัญของปัญหา

ด้านกัมมันต์เป็นวัสดุที่อยู่กันไว้ในกระบวนการอุดสานกรรมอ่างหลาภลาย เนื่องจากด้านกัมมันต์มีประสิทธิภาพในการดูดซับสูงทั้งในสถานะของเหลวและสถานะแก๊ส เช่น การฟอกสี กลืนดูดซับสิ่งปลอมปนที่ไม่ต้องการ เป็นต้น ซึ่งภาชนะประเภทซังมีการผลิตด้านกัมมันต์ไม่เพียงพอต่อความต้องการหาง่ายซึ่งทำให้ห้องน้ำเข้าด้านกัมมันต์จากต่างประเทศ ในขณะที่ประเทศไทยซึ่งมีวัตถุคุณภาพที่สามารถผลิตด้านกัมมันต์ได้มากน้ำ และมีราคากลูก เช่น กระ吝ะพาร์ว ซังข้าวโพด กาบันดาดา เป็นต้น การผลิตด้านกัมมันต์เพื่อใช้เองในประเทศไทยเป็นประไชชน์อย่างยิ่งที่ต้องการประดิษฐ์ต่อไป นอกจากจะช่วยลดด้านทุนในการผลิตแล้วหังสามารถนำเข้ามาใช้ให้เกิดประโยชน์และไม่ต้องนำไปทำลายซึ่งเพื่อให้เกิดผลพิษต่อสิ่งแวดล้อม โดยวัตถุคุณภาพย่างหนึ่งที่ควรให้ความสนใจศึกษาคือ กากกาแฟ

เนื่องจากปัจจุบันอุดสานกรรมด้านการผลิตกาแฟได้เพิ่มขึ้นมากทั้งผลิตเพื่อบริโภคและจัดจำหน่ายภายในประเทศไทย แล้วซึ่งส่วนมากไปจ้าหน่ายซังต่างประเทศ เมื่อมีการบริโภคกาแฟมากขึ้น จึงทำให้มีการเพิ่มการผลิตกาแฟมากขึ้นและอุดสานกรรมด้านการผลิตกาแฟที่เพิ่มขึ้นด้วย ส่งผลให้มีกากกาแฟที่เหลือทิ้งจากโรงงานอุดสานกรรมเหล่านี้เป็นจำนวนมาก กากกาแฟที่เหลือจากการผลิตนี้จะถูกนำมาทำลายซึ่ง ด้วยวิธีการเผาและผลิตเป็นปุ๋ยธรรมชาติ ซึ่งมีแนวคิดที่จะนำกากกาแฟไปผลิตเป็นด้านกัมมันต์เพื่อเพิ่มนุ่คลำและเป็นประไชชน์ต่อโรงงานอุดสานกรรมที่มีความต้องการใช้ด้านกัมมันต์ โดยปกติแล้ว การศึกษาวิจัยเพื่อพัฒนาการผลิตด้านกัมมันต์ที่มีคุณภาพจากวัสดุเหลือทิ้งภายในประเทศไทยในระยะยาวจะช่วยให้เกิดเทคโนโลยีการผลิตด้านกัมมันต์เพิ่มมากขึ้นและเพียงพอต่อความต้องการใช้ด้านกัมมันต์ แต่เนื่องจากการผลิตด้านกัมมันต์ที่มีคุณภาพนั้นจะต้องมีสภาพที่เหมาะสมในการผลิต งานวิจัยนี้ จึงต้องมีการศึกษาด้วยประต่างๆ ที่เหมาะสมต่อการผลิตด้านกัมมันต์จากกากกาแฟ ด้วยประที่ศึกษา เช่น อุณหภูมิและเวลาที่ใช้ในการครั้งในเชื้อน อุณหภูมิของไอน้ำ อุณหภูมิและเวลาที่ใช้ในการระดับฟลูอิเดชันไอน้ำ

1.2 วัตถุประสงค์ของงานวิจัย

1.2.1 เพื่อศึกษาวิธีการผลิตด้านกัมมันต์จากกากกาแฟโดยใช้ฟลูอิเดชันไอน้ำ

1.2.2 เพื่อศึกษาสภาพที่เหมาะสมในการผลิตด้านกัมมันต์จากกากกาแฟ

1.2.3 เพื่อศึกษาสมบัติทางกายภาพและทางเคมีของด้านกัมมันต์ที่ผลิตจากระบบฟลูอิเดชันไอน้ำ

1.3 ขั้นตอนของงานวิจัย

- 1.3.1 ออกแบบและสร้างชุดทดลองฟลูอิไดเซรันด้วยไอน้ำ
- 1.3.2 แปรผันสภาวะที่ใช้ในการผลิตถ่านกัมมันต์จากกาแฟ ไถแก่ อุณหภูมิการโน๊บในชั้น 400, 500 และ 600 °C เวลาครัวโน๊บ 1, 2 และ 3 ชั่วโมง อุณหภูมิในการกระตุ้น 700, 800 และ 900 °C และเวลาในการกระตุ้น 3, 5 และ 7 ชั่วโมง
- 1.3.3 วิเคราะห์ข้อมูลเชิงกายภาพของถ่านกัมมันต์ที่ผลิต ได้โดยเครื่อง Gas sorption analyzer, กล้องจุลทรรศน์อิเล็กทรอนแบบส่อง粒 (Scanning electron microscope, SEM) และข้อมูลเชิงเคมีโดยเครื่องฟูริเยอร์ทารานฟอร์ม อินฟราเรดสเปกโตรมิเตอร์ (Fourier transform infrared, FT-IR)

1.4 วิธีการทำงานวิจัย

- 1.4.1 ออกแบบและสร้างชุดทดลองฟลูอิไดเซรันด้วยไอน้ำในการผลิตถ่านกัมมันต์
- 1.4.2 นำกาแฟที่ได้มาอบได้ความชื้นที่อุณหภูมิ 110 °C เป็นเวลา 8 ชั่วโมง
- 1.4.3 นำกาแฟที่อบแล้วไปครัวโน๊บที่อุณหภูมิ 400, 500 และ 600 °C เป็นเวลา 1, 2 และ 3 ชั่วโมง
- 1.4.4 นำถ่านที่ครัวโน๊บไปวิเคราะห์เพื่อเลือกสภาวะที่เหมาะสมที่จะนำไปกระตุ้น
- 1.4.5 ครัวโน๊บกาแฟที่เหลือที่สภาวะเหมาะสมเพื่อเตรียมกระตุ้น
- 1.4.6 กระตุ้นกาแฟที่อุณหภูมิการกระตุ้น 700, 800 และ 900 °C เป็นเวลา 3, 5 และ 7 ชั่วโมง
- 1.4.7 นำถ่านกัมมันต์ที่ผลิต ได้ไปวิเคราะห์สมบัติเชิงกายภาพ และเชิงเคมี

1.5 ประโยชน์ที่จะได้รับจากการวิจัย

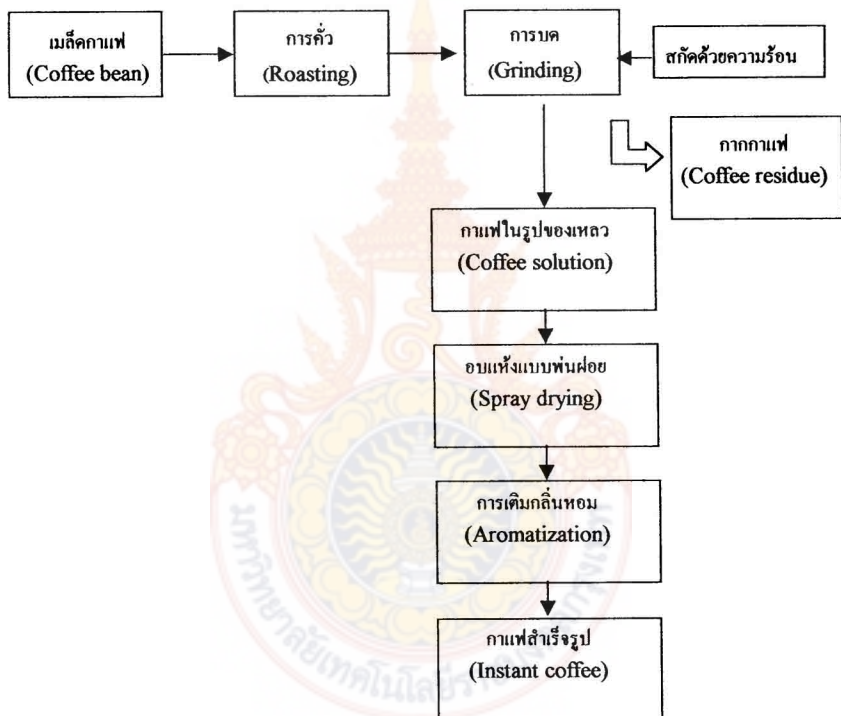
- 1.5.1 สามารถนำวัสดุเหลือทิ้งจากการกระบวนการอุตสาหกรรมมาเปรรูปให้เกิดมูลค่า
- 1.5.2 นำถ่านกัมมันต์ที่ผลิต ได้ไปใช้ให้เกิดประโยชน์ต่อกระบวนการอุตสาหกรรมประเภทต่างๆ ได้

บทที่ 2

วารสารปริทัศน์

2.1 กากกาแฟ

ในงานวิจัยนี้ได้ใช้กาแฟที่ผ่านจากขั้นตอนการผลิตกาแฟผงสำเร็จรูป ซึ่งขั้นตอนการผลิตแสดงดังรูปที่ 2.1



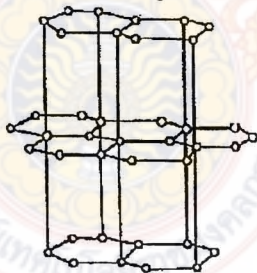
รูปที่ 2.1 กระบวนการผลิตกาแฟสำเร็จรูป [2]

กระบวนการนี้เริ่มต้นจากการนำเมล็ดกาแฟที่จะเทาจะเปลือกออกแล้วมาผ่านการคั่ว(Roasting) แล้วจึงบดขยำ (Grinding) จากนั้นผ่านขั้นการสกัด (Extraction) ด้วยน้ำร้อนที่อุณหภูมิ 180°C ภายใต้ความดันสูงโดยเครื่องปฏิกรษานี้มี 6 คงลักษณ์ เพื่อให้ได้ผลผลิตของเนื้อกาแฟ

นาอกที่สุด แล้วจึงกรองแยกออก ซึ่งของแข็งที่เหลืออยู่ คือถ้าหากภาพซึ่งจะนำมาใช้ประปเป็นถ่าน กัมมันต์ในงานวิจัยนี้ ส่วนของเหลวที่ໄว เรียกว่า น้ำก้าแฟ นำไปพักไว้ทั้งคืน แล้วนำไปผ่านขั้นตอน การอบแห้งแบบอีดิฟัน โดยการฉีดน้ำก้าแฟออกมานเป็นสาย โดยใช้วัลว์ที่หมุนໄว ซึ่งอุณหภูมิถูกควบคุมไว้ที่ 250°C จะทำให้เกิดการระเหยจนถาวรเป็นของแข็ง แล้วจึงผ่านกระบวนการระเหิด (Evaporation) อีกครั้ง เพื่อนำน้ำส่วนเกินออกอีกในขั้นตอนการอบแห้งแบบแรกนี้ จนท้ายสุดจะได้ก้าแฟซึ่งสามารถจะดึงดันได้ทันที แต่ในระหว่างขั้นตอนการสกัดจนถึงการอบแห้งแบบแรกนี้จะมีการสูญเสียสาระเหยที่มีกลิ่น ซึ่งทำให้กลิ่นหอมหายไปบางส่วน จึงต้องผ่านกระบวนการเติมกลิ่นเพื่อเติมสารเหล่านี้อีกครั้ง ก่อนที่จะมีการบรรจุลงถุงพร้อมกับเติมแก๊สเพื่อช่วย เช่น คาร์บอนไดออกไซด์ เพื่อลดความเสี่ยงต่อปฏิกิริยาออกซิเดชัน (Oxidation reaction)

2.2 ถ่านกัมมันต์ (Activated Carbon) [3]

ถ่านกัมมันต์มีโครงสร้างเป็นกลุ่มของคาร์บอน ซึ่งมีลักษณะคล้ายแกรไฟท์ (graphite) ประกอบด้วยแผ่นชั้นที่เกิดจากอะตอมของคาร์บอนเรียงตัวในลักษณะหกเหลี่ยมด้านเท่า (regular hexagonal) ระยะห่างระหว่างอะตอมของคาร์บอนในแต่ละชั้นมีขนาด 1.42 Å องศาروم โดยในแต่ละชั้นเรียงตัวนานกัน และมีระยะห่างระหว่างชั้น 3.35 Å องศาروم อิเล็กตรอนสามในสี่ของคาร์บอนจะสร้างพันธะโควาเลนซ์ (covalent bond) กันอะตอมที่อยู่ติดกัน ในขณะที่อิเล็กตรอนตัวที่สี่จะเคลื่อนที่ระหว่างโครงสร้างวาเลนซ์ ดังรูปที่ 2.2



รูปที่ 2.2 โครงสร้างของแกรไฟท์ [3]

โครงสร้างของถ่านกัมมันต์ต่างจากแกรไฟท์ คือ มีโครงสร้างเป็นผลึกที่เล็กมาก (micro crystallites) ประกอบด้วยห่วงหกเหลี่ยมด้านเท่าของอะตอมคาร์บอน ชั้นคาร์บอนที่เป็นผลึกเล็กๆ มีขนาดเส้นผ่าศูนย์กลางประมาณ 150 Å องศาروم และมีระยะห่างระหว่างผลึกเท่ากับ 20-50 Å องศาروم ดังแสดงในรูปที่ 2.3



รูปที่ 2.3 โครงสร้างของถ่านกัมมันต์ [4]

ถ่านกัมมันต์มีองค์ประกอบหลักเป็นคาร์บอนที่ผ่านกระบวนการทำโครงสร้างให้มีรูพรุนสูงและมีพื้นที่ผิวจำเพาะ (specific surface) มาก โดยทั่วไปถ่านกัมมันต์ประกอบด้วยชาตุคาร์บอนประมาณ 87-97% และธาตุอื่นๆ เช่น ออกซิเจน ไฮโดรเจน ชัลฟอร์ และไนโตรเจน เป็นต้น

2.2.1 การผลิตถ่านกัมมันต์ [5]

วิธีการผลิตถ่านกัมมันต์สามารถแบ่งออกได้เป็น 2 วิธี คือการผลิตถ่านกัมมันต์โดยวิธีทางฟิสิกส์ และการผลิตถ่านกัมมันต์โดยวิธีทางเคมีหรือวิธีเคมี (เคมี-ฟิสิกส์)

2.2.1.1 การผลิตถ่านกัมมันต์โดยวิธีทางฟิสิกส์

การผลิตถ่านกัมมันต์วิธีนี้แบ่งออกเป็น 2 ขั้นตอน ขั้นแรกเป็นการแปรสภาพอินทรีย์วัตถุให้เป็นถ่านหรือที่เรียกว่าการคาร์บอนไซซ์ (Carbonization) และขั้นที่ 2 เป็นการกระตุ้นถ่านที่ได้ให้เป็นถ่านกัมมันต์ (Activation) ดังมีรายละเอียดดังนี้

2.2.1.1.1 การแปรสภาพอินทรีย์วัตถุให้เป็นถ่าน (Carbonization)

วัตถุประสงค์ ของขั้นตอนนี้คือเพื่อบำรุงคุณภาพของถ่าน ที่ไม่ใช้คาร์บอนในอินทรีย์วัตถุออกไป ถ่านที่ได้จะมีปริมาณร้อยละของคาร์บอนสูงขึ้น หลักการที่ใช้จะใช้หลักการของกระบวนการไฟฟ์โรไลซิส (Pyrolysis) ซึ่งเป็นการย่อยสลายสารอินทรีย์ภายในอุณหภูมิสูงๆ ให้สภาวะไว้ร้อนออกซิเจนด้วยความร้อน ทำให้ได้เศษเสี้ยวน้ำที่ไม่ใช่คาร์บอน เช่น ไฮโดรเจน ออกซิเจน เกิดการแยกตัวออกโดยเป็นก๊าซ และบางส่วนของคาร์บอนจะถูกย่อยสลายเป็นคาร์บอนมอนอกไซด์ (CO) กรดน้ำส้ม น้ำมันดิน methane ฯลฯ ทำให้ได้ถ่าน โดยในระหว่างการเผาต้องควบคุมอุณหภูมิให้ต่ำกว่า 400°C จึงจะได้ถ่านที่มีคุณภาพดี แต่ถ้าอุณหภูมิสูงกว่า 400°C ถ่านจะถูกทำลาย ไม่สามารถใช้งานได้อีก

เปลี่ยนเป็นสีดำโดยปฏิกิริยาคาร์บอนไนเซชัน (Carbonization) ของเซลลูโลสและลิกนินเป็นหลัก ซึ่งปฏิกิริ yan นี้เกิดจากแรงดึงดูดอิสระเป็นสำคัญ โดยหมวดของเซลลูโลสจะสูญเสียมากที่สุดอย่างรวดเร็วในระหว่างอุณหภูมิ $300-400^{\circ}\text{C}$ ส่วนมวลของลิกนินจะค่อนข้างคงอยู่ สูญเสียที่ลดน้อยลงอย่างช้าๆ เมื่อเทียบกับเซลลูโลส โดยจากการทดลองพบว่า ที่อุณหภูมิต่ำกว่า 400°C การสูญเสียมวลส่วนใหญ่ังไม่สามารถขจัดได้โดยเงินและออกซิเจนออกจากวัสดุได้อย่างเต็มที่ ทำให้ได้ถ่านที่มีคุณภาพไม่ดีหรือที่เรียกว่าหัวถ่าน แต่ถ้าทำถ่านที่อุณหภูมิสูงกว่า 600°C จะพบว่า ปริมาณรั้งของคาร์บอนของถ่านที่ได้พิเศษจากกระบวนการทำถ่านที่อุณหภูมิสูงกว่า 600°C มีค่าอ่อน雁ากเมื่อเทียบกับถ่านที่ทำที่อุณหภูมิ 600°C แต่ถ้ามีผลเสียต่อปริมาณผลผลิตที่ได้อ่อน雁าก ก็ต้องคิดว่าได้รับผลกระทบต่อการทำถ่านที่อุณหภูมิ 600°C อย่างมาก ดังนั้น ช่วงอุณหภูมิที่เหมาะสมในการผลิตถ่านเพื่อให้ได้ผลผลิตและประสิทธิภาพในการแปรสภาพดูดบخارอินทรีชุดใหญ่เป็นถ่านสูงสุด คือ ช่วงอุณหภูมิ $400-600^{\circ}\text{C}$ และควรหาถ่านให้เกิดปฏิกิริยาการสลายตัวด้วยความร้อนที่สึ้นสุดโดยเร็ว เพื่อลดเวลาการสัมผัส (time of contact) ของการสลายตัวและควบคุมความสม่ำเสมอของความร้อนและการทำถ่านในเชิงลึก (Carbonization) ให้คงที่ด้วย ซึ่งจะได้ถ่านที่มีคุณภาพดี ซึ่งถ่านที่ดีควรมีลักษณะดังนี้

- มีสีดำตลอด (uniform black)
- มีลักษณะแข็งแรง ไม่แตกหักง่าย
- เมื่อหักดู ส่วนที่หักจะมีสีมันเงา (skinny surface)
- ปลายที่หักมีลักษณะแหลมคม (shape)
- เมื่อเคาะหรือตัดกระแทบที่น้ำ ต้องมีเสียงดังกังวานคล้ายโลหะ
- ปราศจากฝุ่นผง และไม่มีขี้เด็กและส่วนที่แข็งไม่เป็นถ่านคิดดู
- มีปริมาณคาร์บอนคงตัวอยู่มาก มีความชื้นต่ำ ($5-10\%$)

อย่างไรก็ตาม ถ่านที่ได้จากขั้นตอนนี้ยังมีความสามารถในการดูดซับตัวเพรำมีพื้นที่ผิวจรา พาหะหรือรูพุนอุ่น้อย และหักคงมีน้ำมันดินบางส่วนตกค้างอยู่ในรูพุนหรือกาเอาจริง จึงจำเป็นต้องนำถ่านนี้ไปผ่านปฏิกิริยาการกระตุนเพื่อเพิ่มความสามารถในการดูดซับต่อไป

2.2.1.1.2 การกระตุนถ่านให้เป็นถ่านกัมมันต์ (Activation) เป็นการนำถ่านที่ได้จากการแปรสภาพอินทรีชุดดูมาระดับตัวสารที่เหมาะสมซึ่งส่วนใหญ่เป็นก๊าซหรือไอที่เรียกว่า Oxidizing Gas เพื่อไปทำปฏิกิริยากับน้ำมันดินและอะตอมคาร์บอนบางอะตอมในหลักถ่านให้หลุดออกไป ทำให้ถ่านมีรูพุนและมีพื้นที่ผิวที่มีอิเดคตรอนอิสระมากขึ้น โดยรูพุนที่ได้จากการกระตุนนี้จะมีขนาดเล็กที่เรียกว่า micropore ซึ่งหมายความว่าหัวน้ำสามารถเข้าไปและก๊าซพิษ Oxidizing Gas ที่นิยมใช้ได้แก่ ไอน้ำ, CO_2 , O_2 (จากอากาศ) ดังนี้รายละเอียดดังนี้

ก. การกระตุนด้วยไอน้ำ

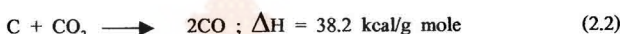
ต้องใช้ไอน้ำร้อน恢ดชั่ง (Superheated Steam) ที่มีอุณหภูมิตั้งแต่ $600-950^{\circ}\text{C}$ ไอน้ำจะสามารถทำปฏิกิริยาการกระตุนได้ ปฏิกิริยาที่เกิดขึ้นจะเป็นปฏิกิริยาดูดความร้อน



ร้อยละของผลิตภัณฑ์ที่ได้จากการเผาไหม้จะมีค่าประมาณ 30% ของน้ำหนักก้อนเริ่มต้น อัตราการออกซิไฮด์ริกเกิดขึ้นอย่างรวดเร็วที่อุณหภูมิสูง แต่ไม่ควรสูงเกิน 1000°C เพราะอัตราการเกิดปฏิกิริยาจะอยู่กับความด้านความด้านทานการแพร่ (diffusion resistance controlled) ซึ่งจะลดลงของสารบันทึกที่อยู่ชั้นนอกๆ จำนวนมากจะถูกเผาไหม้ ทำให้ขนาดของอนุภาคเล็กลง และความพรุนน้อยลง

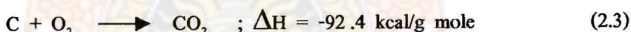
บ. การกระตุ้นด้วยคาร์บอนไอดอกไซด์

ต้องใช้แก๊สคาร์บอนไอดอกไซด์ ที่มีอุณหภูมิถึง $850-1100^{\circ}\text{C}$ โดยปฏิกิริยาที่เกิดขึ้นจะเป็นปฏิกิริยาดูดความร้อน ดังสมการ



ค. การกระตุ้นด้วยออกซิเจน (จากอากาศ)

ต้องใช้อากาศร้อน ที่มีอุณหภูมิสูงกว่า 80°C ปฏิกิริยาที่เกิดขึ้นจะดึงความร้อนออกมานะ ซึ่งไม่ค่อยนิยมใช้กัน เพราะการควบคุมอุณหภูมิทำได้ยาก มักจะเกิดอันตรายได้ง่าย เนื่องจากความร้อนมากเกินไป (Overheat) อีกทั้งออกซิเจนจะทำให้ผิวดองถ่านไหม้ไปทำให้เกิดการสูญเสียอย่างมาก ปฏิกิริยาที่เกิดขึ้นเป็นดังนี้



ส่วนก๊าซอื่น เช่น Cl_2 , CO , SO_2 , SO_3 , NH_3 , ไอกำมะถัน และออกไซด์ของไนโตรเจน ก็มีผลในการกระตุ้นเช่นกัน แต่ไม่ค่อยนิยมใช้กัน เพราะเป็นก๊าซมีพิษหรือเป็นอันตราย และบางตัวมีความเป็นกรดและมีอันตรายในการกัดกร่อนสูง และในทางเทคนิคการปฏิบัติแล้วมักจะใช้ก๊าซทึ้งที่ได้จากการเผาไหม้ก๊าซเชื้อเพลิง (flue gas) ซึ่งจะให้ทั้งไอน้ำ คาร์บอนไอดอกไซด์ และออกซิเจนส่วนเกินบ้างเล็กน้อย หรืออาจมีการเติมไอน้ำเข้าไปด้วย เพื่อเป็นการกระตุ้นโดยใช้รั่วท่วงกัน

การผลิตด้วยวิธีนี้มีข้อดีคือ หลังจากการกระตุ้นจนได้ถ่านก้มมันต์แล้วสามารถนำไปใช้งานได้เลย ไม่ต้องมีปั๊มหานในการล้างสารที่เหลือตกค้าง เพราะไม่มีสารที่อาจจะเป็นอันตรายติดไป ส่วนข้อเสียคือ ต้องใช้อุณหภูมิในการกระตุ้นสูง ซึ่งเป็นการสิ้นเปลืองเชื้อเพลิงค่อนข้างมาก

2.2.1.2 การผลิตถ่านกัมมันต์โดยวิธีทางเคมีหรือวิธีผสม (เคมี-ฟิสิกส์)

เป็นวิธีที่นำเอาตัวถูกติดหรืออินทรียสารมาผสมกับสารเคมีที่เรียกว่า สารกระตุนหรือตัวทำให้เกิดปฏิกิริยาถั่นมันต์ (Activating agent) ทำให้เกิดปฏิกิริยาเข้าไปช่วยให้เกิดการเปลี่ยนแปลงเมื่อใช้ความร้อน (Pyrolysis) เช่น ปริมาณน้ำมันดิน (Tar) จะถูกกำจัดให้น้อยลง ปริมาณสารระเหยที่ได้ เช่น กรดน้ำด dein เมทานอล และอื่นๆ ที่ลดปริมาณลงด้วยซึ่งจะมีปริมาณน้อยกว่าเมื่อเพาให้เป็นถ่านธรรมชาติที่ได้จากการทำเช่นนี้จะทำให้ได้รักษาระบอนคงดั่วนากขึ้น อีกทั้งว่าน้ำน้ำมันที่ใช้ในการเผาถูกตัดต่อลงด้วย ตัวกระตุนดังกล่าวมักเป็นเกลืออินทรีย์จำพวกเกลือโซเดียม ไดแก่ CaCl_2 , MgCl_2 , และ ZnCl_2 โดยเฉพาะ ZnCl_2 เป็นที่นิยมใช้กันมาก

หลักการสำคัญของการทำถ่านกัมมันต์วิธีนี้ กล่าวคือ เมื่อนำอินทรีย์ตัดถลุงมาผสมกับเกลืออินทรีย์ในอัตราส่วนหนึ่งให้ทั่ว แล้วนำไปเผาในที่อันอากาศดี อุณหภูมิที่ทำให้อินทรีย์ตัดถลุงลายด้วย เกลืออินทรีย์จะเป็นตัวเร่งปฏิกิริยาการย่อยสลายอินทรีย์ตัดถลุง (เซลลูโลส, ลิกนิน ฯลฯ) ให้เกิดขึ้นที่อุณหภูมิต่ำลง และชั้นคละปริมาณของน้ำมันดินและสารที่ระเหยได้ให้น้อยลงด้วย อีกทั้ง เกลืออินทรีย์หล่านี้ มีความคงทนต่อการสลายตัว ณ อุณหภูมิสูงๆ จึงชักด用力ทุ่มอยู่รอบๆ ถ่าน และแทรกกอยู่ภายใน ทำให้การหลุดตัวของถ่านเกิดได้ยากขึ้น เมื่อนำมาสักด้าอ่อนนิหรือสารออก ก็จะเกิดช่องว่างหรือรูพรุนในถ่านขึ้น (สิ่งเดียวกันที่ท่อนินทรีย์สารเคลือบ) ถ่านกัมมันต์ที่ได้จากการผลิตวิธีนี้จะมักเป็นถ่านกัมมันต์ที่มีรูพรุนขนาดใหญ่ที่เรียกว่า macropore

โดยหลักการแล้ว เกลืออินทรีย์สารทุกชนิดที่ทนต่อการเผาไม่มีได้กันน่าจะใช้ได้ แต่จากการทดลองพบว่า คุณสมบัติการคุกคอกลืนและคุณลักษณะของถ่านกัมมันต์ที่ได้จาก ZnCl_2 นั้นสูงกว่า เกลืออินทรีย์อื่นๆ ทั้งนี้เนื่องจาก ZnCl_2 มีความสามารถในการทำให้เซลลูโลสพองตัวได้มากกว่าเกลืออินทรีย์ชนิดอื่นๆ ดังนั้น ZnCl_2 จึงสามารถแทรกเข้าไปในเซลลูโลสของวัสดุที่มีเซลลูโลสเป็นองค์ประกอบได้ดีกว่าเกลืออื่นๆ อีกทั้งเมื่อวัสดุนั้นถูกเผาด้วยความร้อน (Pyrolysis) ZnCl_2 จะชักด用力จากอยู่ทั่วๆ ไปในถ่านได้มาก และค่อนข้างสม่ำเสมอกว่าเกลืออื่นๆ ครั้นสักด้าอ่อน ZnCl_2 ออก จึงเกิดรูพรุนในถ่านสูงและขนาดของรูพรุนค่อนข้างจะสม่ำเสมอกว่าการใช้สารอื่นๆ

จะเห็นได้ว่า ข้อดีของการใช้สารเคมีคือ ถ่านกัมมันต์ที่ได้จะมีรูพรุนแทรกซึ่งอยู่ทั่วเนื้อถ่าน และใช้อุณหภูมิในการผลิตไม่สูงมากนัก (ตั้งแต่ $400-1000^\circ\text{C}$ สำหรับ ZnCl_2 นั้น อุณหภูมิที่เหมาะสมคือ $600-700^\circ\text{C}$ ซึ่งเป็นอุณหภูมิที่ต่ำกว่าการเผาเพื่อความร้อน) ซึ่งเป็นอุณหภูมิที่ต่ำกว่าการเผาเพื่อความร้อน (Pyrolysis) ZnCl_2 จะชักด用力จากอยู่ทั่วๆ ไปในถ่านได้มาก และค่อนข้างสม่ำเสมอกว่าเกลืออื่นๆ ครั้นสักด้าอ่อน ZnCl_2 ออก จึงเกิดรูพรุนในถ่านสูงและขนาดของรูพรุนค่อนข้างจะสม่ำเสมอกว่าการใช้สารอื่นๆ มากกว่าถ่านกัมมันต์ที่ผลิตด้วยอุณหภูมิสูง แม้ถ่านจะถูกทำให้ไม่มีปฏิกิริยา (Inactivated) เมื่อทำให้แห้งในอากาศ) อีกทั้งไร้ความการผลิตถ่านกัมมันต์ด้วยวิธีนี้ก็มีข้อเสียตรงที่จะต้องถังสารเคมีที่ใช้ในการกระตุนออกให้หมด ไม่ให้เหลือตกค้างอยู่เลย เพื่อความปลอดภัยในการนำไปใช้งาน จึงนับว่าเป็นการสืบทอดกันทั้งเวลา แรงงาน ตลอดทั้งค่าใช้จ่ายในการถัง อบรม และค่าสารกระตุน (ซึ่งเป็นค่าใช้จ่ายที่ค่อนข้างสูง ถ้าไม่สามารถนำสารกระตุนที่ถังออกมานั้นกลับไปใช้ได้อีก) นอกจากนี้ สารเคมีบางชนิดที่

ใช้ เช่น $ZnCl_2$ ซึ่งมีฤทธิ์กัดกร่อนกากะนະบรรหุหรือเครื่องมือที่ใช้ในการผลิต เป็นเหตุให้อาชญาการใช้งานของเครื่องเหล่านั้นสิ้น ดังนั้นการผลิตด้วยวิธีนี้จึงจำเป็นต้องเลือกใช้กากะนະที่ผลิตด้วยวัสดุพิเศษที่ทนการกัดกร่อนที่อุณหภูมิสูง เช่น คินแทนไฟฟ์เสนกแกรไฟฟ์ด้วยอัตราส่วน 4:1 เป็นต้น

นอกจากวิธีข้างต้นแล้ว ยังอาจผลิตด้วยวิธีการผสม โดยการนำถ่านกัมมันต์ด้วยวิธีการผสม โดยการนำถ่านกัมมันต์ข้างต้นไปกระตุนด้วยวิธีตาม 2.2.1.2 นอกจากนี้ ยังอาจทำถ่านกัมมันต์ได้โดยการเผาถ่าน กันทรีหัวดูไห้เป็นถ่านหรือการทำคาร์บอนในเชื้อชน (Carbonization) ของอินทรีหัวดูกับเกลือหรือกรดอนินทรี จากนั้นก็นำถ่านที่ได้ฯไปกระตุนด้วยวิธีตามข้อ 2.2.1.2 ต่อไป โดยสารอนินทรีที่ใช้กัน ได้แก่ K_2CO_3 , Na_2SO_4 , K_2SO_4 , KCNS, Dolomine ($CaCO_3 + MgCO_3$), H_3PO_4 , H_2SO_4 , ไฮดรอกไซด์ของโซเดียมและกรดอนินทรีเหล่านี้จะกระชาดตัวอยู่ทั่วๆไปในถ่าน บางจะเป็นตัวออกซิแคนท์โดยด้วยของมันเอง บางตัวสามารถให้ CO_2 ที่อุณหภูมิสูง และ CO_2 นี้จะออกซิได้ซึ่ครับอนอิกต่อหนึ่ง วิธีการนี้จะมีข้อดีกว่าการกระตุนด้วยวิธีทางฟิสิกส์ธรรมชาติที่ออกซิแคนท์จะกระชาดตัวอยู่ทั่วไปทั้งภายในและภายนอกของถ่านอย่างสม่ำเสมอ โดยสารที่นิยมใช้ในวิธีนี้คือ H_3PO_4 ซึ่งเป็นตัวที่สามารถทำให้เซลลูโลสเกิดการพองตัวได้ดี (ดีกว่า $ZnCl_2$) การแทรกตัวของ H_3PO_4 จึงค่อนข้างสม่ำเสมอกว่าสารอนินทรีอื่นๆ นอกจากนี้ H_3PO_4 ยังมีสมบัติเป็นตัวออกซิแคนท์ด้วย (ในขณะที่ $ZnCl_2$ ในมีคุณสมบัติเป็นตัวออกซิแคนท์ ดังนั้นการใช้ $ZnCl_2$ จึงต้องผสมกับวัตถุดับหรืออนินทรีหัวดูก่อนการทำการรืบในเชื้อชน) ดังนั้นการใช้ H_3PO_4 ยังอาจจะเพิ่มก่อนหรือหลังการทำการรืบในเชื้อชนก็ได้

2.2.2 ชนิดของถ่านกัมมันต์ [6, 7, 8]

ชนิดของถ่านกัมมันต์สามารถแบ่งออกได้โดยใช้หลักต่างๆ ขึ้นอยู่กับความหลากหลายของผู้ใช้งาน ตัวอย่างการแบ่งชนิดของถ่านกัมมันต์ได้แก่

2.2.2.1 แบ่งตามชนิดของตัวกระตุน

ก. กระตุนทางเคมีเป็นถ่านที่ได้จากการใช้สารเคมีที่ปฏิกิริยาด้วยของเคมีเป็นถ่านกัมมันต์ที่มีรูพูนขนาดใหญ่ สารกระตุนที่ใช้ เช่น $ZnCl_2$

ข. กระตุนทางฟิสิกส์ เป็นถ่านกัมมันต์ที่ได้จากการใช้แก๊สออกซิไดซ์ เช่น ไอน้ำและคาร์บอนไดออกไซด์ ถ่านกัมมันต์ที่ได้จะมีรูพูนขนาดเล็กนิยมใช้ในการดูดซับแก๊สและไอระเหย

2.2.2.2 แบ่งตามขนาดของรูพูน

ก. รูพูนขนาดเล็ก เป็นถ่านกัมมันต์ที่มีรัศมีของรูพูนประมาณ 1 nm นักน้าไปใช้ในการดูดซับแก๊สหรือไอระเหย

ข. รูพูนขนาดกลาง เป็นถ่านกัมมันต์ที่มีรัศมีของรูพูนประมาณ 2-50 nm นักน้าไปใช้ประโยชน์สำหรับดูดซับสารที่มีโมเลกุลใหญ่ เช่น การฟอกเสื้อ

ค. รุพชนวนนาไหงู เป็นถ่านกัมมันต์ที่มีรัศมีของรุพชนวนมากกว่า 100 nm โดยปกติไม่มีความสำคัญในการดูดซับสารต่างๆ แต่จะเป็นตัวช่วยให้สารที่ถูกดูดซับนั้นสามารถเคลื่อนที่ผ่านไปยังรุพชนวนได้เร็วขึ้น

2.2.2.3 แนวความคิดที่น่าสนใจของถ่านกัมมันต์

ก. ความหนาแน่นต่ำ มักใช้ในสภาวะที่เป็นสารละลาย เช่น พอกสีน้ำยาขัดบิมหรือทำให้น้ำบริสุทธิ์

๔. ความหนาแน่นสูง ใช้ในการគดซับแก๊สหรือไออกเจก

2.2.2.4 แนวความคิดของสารที่จักดูแลรับ

ก. สารที่ถูกดูดซับเป็นแก๊ส เป็นจานวนมันนห์ที่ใช้ดูดแก๊สพิษ กันลื่นและ ไอของสารอินทรีย์

๔. สารที่ออกฤทธิ์เป็นสี เป็นจ่านก้มมันต์ที่ใช้ในการฟอกสี

ค. สารที่ถูกគูดซับเป็นโลหะ เป็นอันก้มมันต์ที่ใช้ในการแยกพอกโลหะชนิดต่างๆ เช่น อันที่ใช้ในการแยกทอง เงิน และแพลทินัมออกจากแร่

2225 ແພັ່ງອານສກວະທີ່ໃຊ້

ก. ประเภทที่คุณจับแก๊ส โดยมากนักใช้ในการทำแก๊สให้บริสุทธิ์ เช่น การนำตัวทำละลายน้ำไว้ใน การแยกแก๊ส หรือการนำไปใส่ในถังกรอง

๔. ประเภทที่ดูดซับของเหลว ยกน้ำมานำใช้กับงานฟอกสีและสารที่มีลักษณะ

2.2.2.6 ແພັ່ງຄາມຮູ່ຮ່າງແກະຂໍາເຄີຍຂອງອນໄກ

ก. ประเภทเป็นผง มีลักษณะเป็นเม็ดละเอียดมาก ขนาดเด็กกว่า $100 \mu\text{m}$ โดยเฉลี่ยมีขนาดเส้นผ่านศูนย์กลางประมาณ $15-20 \mu\text{m}$ ด้วยเหตุนี้จึงมีพื้นที่ผิวที่มาก ระยะทางการแพร่กระจายข้นอ้อช อัตราการคงครองสูงมาก ซึ่งเพิ่มได้จากปัจจัยต่อไปนี้

ข. ประเภทเป็นเม็ด มีลักษณะเป็นเม็ดเล็กแต่มีขนาดใหญ่กว่าประเภทผงทำให้มีพื้นที่ผิวภายนอกน้อยกว่า การแพะร่องด้วยดูดซับเป็นปัจจัยสำคัญของการดูดซับ ตัวน้ำใหญ่แล้วนิยมใช้ในการนำมันน้ำสีเขียวหรือเขียวใส่ในกระถางต้นไม้โดยการฉีดเข้าไปในต้นไม้โดยการฉีดเข้าไปในต้นไม้

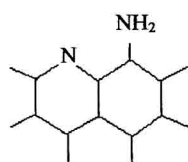
2.2.3 โครงสร้างและสมบัติทางเทคนิคของถ่านกัมมันต์

ถักรายณะ โครงสร้างและสมบัติทางเคมีของถ่านกัมมันต์คือถักรายณะแกะไฟท์ คือ แบบ Microcrystalline โดยที่เพื่อจะลดความของคาร์บอนอีกเด่นชัดกว่ากันด้วยพันธะไฮเดรตต์ แต่จะมีความเป็นระเบียบในการจัดเรียงตัวมากกว่า และถักรายณะ โครงสร้างจะมีหลากหลายถักรายณะขึ้นอยู่กับวัสดุอุบัติที่นำมาผลิต และสิ่งปัจจัยอื่นที่เกิดขึ้นในระหว่างกระบวนการผลิต นอกจากจะลดความของคาร์บอนแล้วังพนันว่ามีลดความร้าบอุ่น เช่น ไออกไซเดน ออกซิเจน และอะบานมิกคลอริน ในโครงเรน ชั้นเพอร์ฟาร์มัลล์ที่สร้างพันธะเคมีกับคาร์บอน และมีความสำคัญกับสมบัติของถ่านกัมมันต์ เช่น ถักรายณะความเป็นกรด-เบส ความมีชื้ว-ไม่มีชื้วซึ่งมีผล

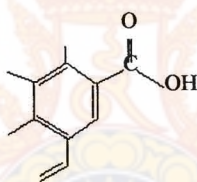
ต่อสมบัติการดูดซึบด้วย อะตอนชาตุอื่นๆ เหล่านี้จะเรียกว่า หมู่หน้าที่บนคิวคล่านกัมมันต์แต่ละชนิดจะมี หลากหลาย หมู่หน้าที่ที่แยกต่างกันไปโดยทั่วไปคิวของคิวคล่านกัมมันต์เกิดเป็นหมู่หน้าที่ชนิดต่างๆ จะเกิด ระหว่างอะตอนคาร์บอนกับออกซิเจนที่เรียกว่า คิวออกไซด์ มีอยู่ 2 ชนิด

2.2.3.1 ชนิดที่เป็นกรด มักจะเกิดในคิวคล่านกัมมันต์ที่กระตุ้นด้วยอุณหภูมิไม่สูงมากนัก ประมาณ $400\text{--}500^\circ\text{C}$ หมู่หน้าที่ที่เกิดขึ้นคิวของคิวคล่านกัมมันต์นี้จะมีสมบัติด้ำยกรด ได้แก่ คาร์บอนิล ฟินอลิก และคิวโคน เป็นดัง ดังแสดงในรูป 2.4 โครงสร้างทางเคมีของคิวคล่านกัมมันต์แบบนี้ ค่อนข้างเสี่ยงแม้จะอุ่นสูญญากาศ โดยทั่วไปจะเสื่อมที่อุณหภูมิต่ำกว่า 200°C ถ้าอุณหภูมิสูงกว่า 200°C เสื่อมน้อย จะมีการสลายตัวเป็นแก๊สคาร์บอนไดออกไซด์และไอน้ำหลุดออกไป และถ้าอุณหภูมิสูง กว่านี้มากๆ จะเกิดการสลายตัวให้แก๊สคาร์บอนไดออกไซด์ และแก๊สไฮโดรเจน

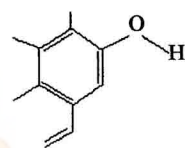
2.2.3.2 ชนิดที่เป็นด่าง มักจะเกิดในคิวคล่านกัมมันต์ที่กระตุ้นด้วยอุณหภูมิ $800\text{--}900^\circ\text{C}$ หมู่ หน้าที่ที่อุ่นคิวคล่านกัมมันต์สามารถดูดซึบไม่เลกุดของกรดได้ ได้แก่ ไฮดรอกไซด์ และคาร์บอนเนต เป็นดัง



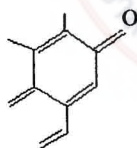
(a) Amine group



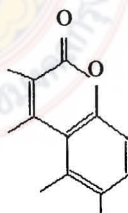
(b) Carboxylic group



(c) Phenolic group



(d) Carbonyl group



(e) Lactonic group

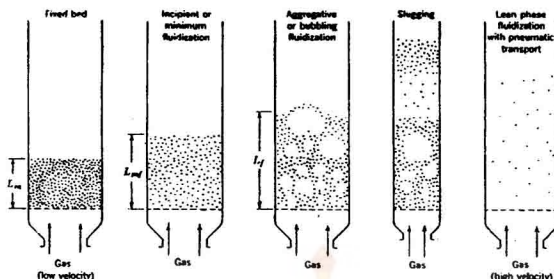
รูปที่ 2.4 ตัวอย่างหมู่หน้าที่บนคิวคล่านกัมมันต์ [4]

2.3 ฟลูอิคไซซัน (Fluidization) [3]

ฟลูอิคไซซันเป็นปรากฏการณ์ซึ่งของแข็งขนาดเล็กถูกทำให้อุ่นในสภาพด้านหลังของไอลด์โดยมีการพุ่งไห้สับผัสกับแก๊สหรือของเหลวซึ่งอาจมีการถ่ายเทระหว่างของแข็งและของเหลวนั้นด้วยเทคนิคฟลูอิคไซซัน สามารถแบ่งออกได้เป็น 2 ประเภท คือฟลูอิคไซซันของของเหลว (liquid-liquid fluidization) และแก๊สฟลูอิคไซซัน (gas-liquid fluidization)

ถักษ์ของการเกิดฟลูอิคไซซันมีลำดับขั้นตอนดังต่อไปนี้ เมื่อไห้ของไอลด์ที่มีอัตราการไอลด์ต่ำไอลด์ผ่านช่องว่างระหว่างอนุภาคที่อยู่นิ่งเรียกว่า เบคนิ่ง (fixed bed) เมื่ออัตราการไอลด์เพิ่มนิ่งอนุภาคเริ่นแรก ตัวของจากกัน จะพบว่าบางส่วนเริ่มนิ่งส่วนแคลเคลื่อนที่ในบริเวณจ่ากัดเป็นแบบเบนด์ชาด์ (expanded bed) เมื่ออัตราเร็วของของไอลด์สูงขึ้น ไปอีกจนถึงจุดหนึ่งที่อนุภาคทั้งหมดแนบติดกันอยู่ในแก๊สหรือของเหลวไอลด์ส่วนขึ้นทางด้านบน ที่จุดนี้เรียกว่า friction (friction force) ระหว่างอนุภาคกับของไอลด์จะมีผลกับอนุภาคในส่วนนั้น ขั้นของของแข็งจะเริ่มถูกฟลูอิคไซซ์และมีสภาพปั่นป่วนเต็มที่ ซึ่งเรียกจุดนี้ว่า จุดต่ำในการฟลูอิคไซซ์ (minimum or incipient fluidization) ดังแสดงในรูปที่ 2.5

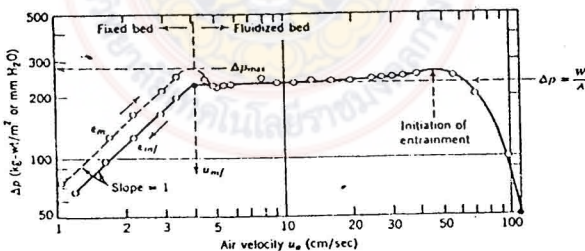
การเพิ่มนิ่งของอัตราไอลด์ที่สูงกว่าความเร็วต่ำสุดของการฟลูอิคไซซ์ในระบบแก๊ส-ของเหลว มักมีพฤติกรรมแตกต่างจากการแบบของเหลว-ของแข็งคือ พนิ่มว่ามีการเกิดฟอง (bubble) ของก๊าซขึ้น เมื่อ อัตราไอลด์สูงขึ้นความปั่นป่วนจะมีมากขึ้นและการเคลื่อนไหวของของแข็งที่จะเริ่มมากขึ้น นอกจากนี้ขั้นของแข็งจะไม่เขยัดรวมกันเมื่อเทียบกับที่ความเร็วต่ำสุดของการเกิดฟลูอิคไซซ์ ซึ่งสภาวะนี้เรียกว่า ฟลูอิคไซซ์แบบฟองอากาศ (bubble fluidization) หรือฟลูอิคไซซ์แบบของแก๊ส (gas-solid fluidization) ซึ่ง ความแตกต่างจากระบบที่ฟลูอิคไซซ์ของของแข็งกับของเหลวซึ่งการเพิ่มนิ่งของอัตราไอลด์ที่สูงกว่า ความเร็วต่ำสุดของการฟลูอิคไซซ์ จะทำให้เกิดการขยายตัวของรั้นของแข็งอย่างต่อเนื่อง และสมานสนธิ เรียกว่า ฟลูอิคไซซ์แบบสมานสนธิ (smooth fluidization) และเมื่ออัตราการไอลด์สูงขึ้นจนถึงความเร็วสุด ท้ายของการฟลูอิคไซซ์ (terminal velocity) ของของแข็งแล้ว พื้นผิวขั้นบนของของแข็งจะหายไป และของแข็งจะถูกพัดพาออกไปจากเบด โดยติดไปกับของไอลด์ ซึ่งจุดนี้เรียกว่า ฟลูอิคไซซ์แบบแยกทาง (lean-phase fluidization) ปรากฏการณ์ที่น่าสนใจอีกอย่างหนึ่งของฟลูอิคไซซันระบบของแข็ง-แก๊ส คือ การที่ฟองแก๊สเกิดการรวมตัวกันและมีขนาดใหญ่ขึ้นในขณะที่ก่อขึ้นมา จะทำให้รั้นของของแข็งถูกหลักให้ล็อกขึ้นไปและตกกลับลงมา เรียกปรากฏการณ์นี้ว่าการเกิด slugging ซึ่งในการใช้งานจริงมักไม่ต้องการให้เกิดปรากฏการณ์นี้ เนื่องจากจะเพิ่มปัญหาของภัยพัตพาอนุภาคออกไปจากเบดและลดประสิทธิภาพการทำงานของเบด มักพบปรากฏการณ์นี้ในฟลูอิคไซซ์เบดที่มีลักษณะแคบและยาว



รูปที่ 2.5 ปรากฏการณ์ฟลูอิไดซ์แบบต่างๆ [3]

2.3.1 ความสัมพันธ์ของความดันกดกับความเร็วในการเกิดฟลูอิไดซ์ [3]

จะเห็นได้ว่าในที่ความเร็วของแก๊สต่ำๆ เมื่อจะมีลักษณะนี้อยู่กับที่เรียกว่า เบคนนิ่ง ในช่วงนี้ความดันกดของเบคจะเป็นสัดส่วนโดยตรงกับความเร็วในการฟลูอิไดซ์ เมื่อความเร็วของแก๊สเพิ่มขึ้นจนถึงจุดที่เบคเปลี่ยนสภาพจากอนุภาคที่อยู่นิ่ง เป็นอนุภาคที่แขวนอยู่ในของไหลด ที่จุดนี้เบคเริ่มขยายตัวขึ้นและเริ่มนากการฟลูอิไดซ์ ความเร็วที่เป็นจุดเริ่มต้นของการฟลูอิไดซ์จะเรียกว่า ความเร็วต่ำสุดของการเกิดฟลูอิไดซ์ (minimum fluidization, U_m) ความชันของกราฟความดันกดจะลดลงหลังจากถึงจุดความเร็วต่ำสุดของการเกิดฟลูอิไดซ์ ที่จุดความเร็วต่ำสุดของการฟลูอิไดซ์ จะมีความดันกดของเบคเท่ากับน้ำหนักของอนุภาคในเบคหารือหัวพื้นที่หน้าตัดของเบค และเมื่อเพิ่มความเร็วของแก๊สให้สูงขึ้นจนถึงจุดที่อนุภาคถูกพัดพาออกไปกับของไหลด จุดนี้เป็นจุดที่ความเร็วของของไหลด มีค่าเท่ากับความสุดท้ายของการฟลูอิไดซ์ (terminal velocity, U_t)



รูปที่ 2.6 ความสัมพันธ์ระหว่างความดันกดกับความเร็วในการฟลูอิไดซ์ [5]

2.3.2 การคำนวณความเร็วต่ำสุดของการเกิดฟลูอิคล์ช [3]

ในขณะที่อนุภาคของแข็งเริ่มลดลงด้วยเป็นอิสระอยู่นั้น อาจกล่าวได้ว่าอนุภาคของแข็งอยู่ในสภาวะสมดุลของแรง โดยแรงที่เกิดขึ้นบนอนุภาคของแข็งคือ แรงนึ่งจากน้ำหนักของอนุภาคของแข็ง กับแรงพุ่งเมื่อจากแรงดันของแก๊ส ในกรณีความเร็วต่ำสุดของแก๊สก็เพื่อต้องการอัตราการไหลหรือความเร็วต่ำ ที่จะทำให้ออนุภาคของแข็งเกิดเป็นฟลูอิคล์ชได้ ซึ่งปกติจะเป็นการหาจุดที่อนุภาคของแข็งเกิดเป็นฟลูอิคล์ชเบดแรกเกิด เพราะความเร็วของฟลูอิคล์ชเบดหนาแน่นมีค่าเท่ากัน หรือมากกว่าความเร็วของฟลูอิคล์ชเบดแรกเกิดเพียงเล็กน้อยดังที่ได้กล่าวมาแล้วข้างต้น ซึ่งจุดนี้จะได้โดยการคำนวณหาความเร็วต่ำสุดของการเกิดฟลูอิคล์ช ซึ่งการคำนวณจะทำได้โดยการคิดว่าสภาพฟลูอิคล์ชจะเริ่มเกิดขึ้นเมื่อแรงเสียดทานระหว่างอนุภาคของแข็งกับของไหดจะสมดุลกับน้ำหนักของอนุภาคจากสมการของเออร์กัน (Ergun)

$$\frac{\Delta P}{L} = 150 \frac{(1 - e_{mf})^2 \mu U_o}{(\Phi_s D_p)^2 e_{mf}^3} + 1.75 \frac{(1 - e_{mf}) U_o^2 \rho_g}{F_s e_{mf}^3 D_p} \quad (2.5)$$

เมื่อ ΔP คือ ค่าความดันลดคงกรวยแบบ

L คือ ค่าความสูงของเบด

e_{mf} คือ สัดส่วนของว่างของเบดที่ความเร็วต่ำสุดในการฟลูอิคล์ช

μ คือ ความหนืดแก๊ส

U_o คือ ความเร็วต่ำสุดในการฟลูอิคล์ช

ρ_g คือ ความหนาแน่นแก๊ส

Φ_s คือ ค่าความกลมของอนุภาค

D_p คือ ขนาดอนุภาคเฉลี่ย

กรณีที่อนุภาคของแข็งขนาดเล็ก จะทำให้สามารถใช้ความเร็วของไหดเพียงเล็กน้อยก็ทำให้เกิดเป็นฟลูอิคล์ชเบดได้แล้ว ดังนั้นสมการ

$$1.75 \frac{(1 - e_{mf}) U_o^2 \rho_g}{F_s e_{mf}^3 D_p} = 0 \quad (2.6)$$

ดังนั้นสมการที่ 2.5 ที่ใช้สำหรับอนุภาคขนาดเล็ก ($D_p < 0.5 \text{ mm}$)

$$U_{mf} = \frac{(\Phi_s D_p)^2 (\rho_p - \rho_g) e_{mf}^3 g}{150 (1 - e_{mf}) \mu} \quad (2.7)$$

เมื่อ	U_{mf} คือ ความเร็วต่ำสุดในการเกิดฟูอิไอซ์
	Φ_s คือ ค่าความกลมของอนุภาค
	D_p คือ ขนาดอนุภาคเฉลี่ย
	e_{mf} คือ สัดส่วนของร่องเบ้าที่ความเร็วต่ำสุดในการฟูอิไอซ์
	μ คือ ความหนืดแก๊ส
	ρ_g คือ ความหนาแน่นของอนุภาค
	ρ_p คือ ความหนาแน่นของอนุภาค
	g คือ ค่าคงที่ความโน้มถ่วง (Gravitational Constant)

สำหรับอนุภาคของแข็งมีขนาดมากกว่า 2 mm ($D_p > 0.2 \text{ mm}$) ก็จะใช้สมการ 2.8

$$U_{mf}^2 = \frac{\Phi_s D_p (\rho_p - \rho_g) e_{mf}^3 g}{1.75 \rho_g} \quad (2.8)$$

เนื่องจากค่าแฟคเตอร์รูปร่าง (Φ_s) และสัดส่วนของร่อง (e_t) มักจะหาได้ยากหรือไม่ทราบค่าเลย จึงได้มีการพยายามปรับสมการที่หลีกเลี่ยงการใช้ค่าทั้งสองนี้ จากการทดลองของเวนและหยู (Wen and Yu) ดังสมการ 2.5

สำหรับอนุภาคขนาดเล็ก ($D_p < 0.5 \text{ mm}$)

$$U_{mf} = \frac{D_p^2 (\rho_p - \rho_g) g}{1650 \mu} \quad (2.9)$$

และสำหรับอนุภาคขนาดมากกว่า 2 mm ($D_p > 0.2 \text{ mm}$)

$$U_{mf}^2 = \frac{D_p (\rho_p - \rho_g) g}{245 \rho_g} \quad (2.10)$$

ดังนั้นจากสมการดังๆ ข้างต้น ทำให้สามารถปรับความเร็วของแก๊สที่ไอลเข้าบดเพื่อทำให้เกิดฟูอิไอซ์ เบคชันได้ โดยความเร็วแก๊สที่ใช้ต้องมีค่ามากกว่าความเร็วต่ำสุดที่ทำได้

2.3.3 การคำนวณความเร็วสุดท้าย [5]

ในช่วงของฟลูอิไดซ์เบดหนาแน่น จะมีความเร็วสูงสุดของแก๊สช่วงหนึ่งที่ขังสามารถทำให้เกิดฟลูอิไดซ์เบดกระชาขอยู่ในภาชนะได้ ถ้าแก๊สมีความเร็วเกินค่าความเร็วสูงสุดนี้แล้ว ถ้าเป็นภาชนะเปิดแบบจะลอกออกนอกภาชนะหรือเกิดการลอกไปกองกันอยู่ด้านบนหมุด ดังนั้นจึงจำเป็นต้องมีการคำนวณหาค่าความเร็วสูงสุดหรือความเร็วหลุดออกนี้ เพื่อเป็นขีดจำกัดสูงสุดของแก๊สที่ขังทำให้เกิดฟลูอิไดซ์เบดหนาแน่นอยู่

จากการศึกษาทางกลศาสตร์ของไอลด (Fluid mechanics) ในเรื่องของแรงหน่วง เนื่องจากความดัน (pressure drag) นำมาประยุกต์หาความเร็วสูงสุด ได้เป็นดังสมการ 2.7

$$U_t = \left[\frac{4gD_p(\rho_p - \rho_g)}{3\rho_g C_d} \right]^{0.5} \quad (2.11)$$

เมื่อ U_t คือ ความเร็วสุดท้ายในการเกิดฟลูอิไดซ์
 C_d คือ ค่าคงที่ เรียกว่า Drag coefficient

การหาสัมประสิทธิ์ความหน่วงนับว่ามีความซุ่งยากมาก ดังนั้น จึงหลีกเลี่ยงมาใช้การตรวจเรยโนลด์ (Reynolds number, Re)

$$Re = \frac{D_p \rho_g U_t}{\mu} \quad (2.12)$$

โดยค่าความเร็วสูงสุด U_t จะคำนวณจากสมการต่อไปนี้

$$U_t = \frac{g(\rho_p - \rho_g) D_p^2}{18\mu} \quad Re < 0.4 \quad (D_p < 0.2 \text{ mm}) \quad (2.13)$$

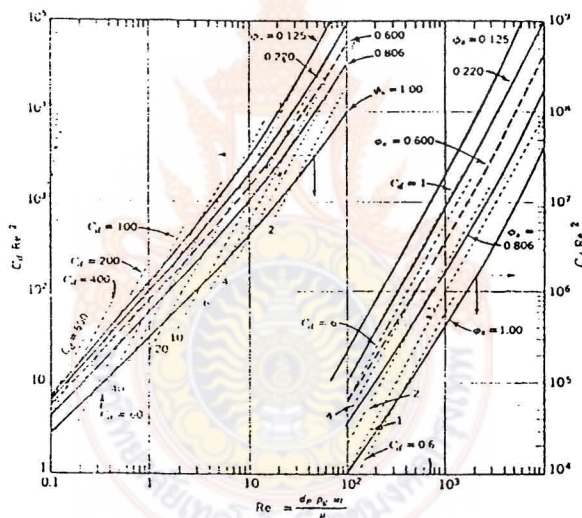
$$U_t = D_p \left[\frac{4(\rho_p - \rho_g)^2 g^2}{225 \mu} \right]^{0.5} \quad 0.4 < Re < 500 \quad (0.2 < D_p < 2.0 \text{ mm}) \quad (2.14)$$

$$U_t = \left[\frac{3.19(\rho_p - \rho_g)D_p}{\rho_g} \right]^{0.5} \quad \text{Re} > 500 \quad (D_p > 2.0 \text{ mm}) \quad (2.15)$$

ในกรณีต้องการคำนวณจากค่าสัมประสิทธิ์ความหน่วงโดยตรง ก็อาจหาได้จากเส้นกราฟในรูปที่ 2.7 โดย

$$C_d Re^2 = \frac{4D_p^2 \rho_g (\rho_p - \rho_g) g}{3\mu^2} \quad (2.16)$$

ซึ่งช่วงของค่า $C_d Re^2$ ที่ทำได้จะเห็นว่าได้ค่า Re มากมายหลายค่า และจำเป็นต้องมีการตรวจสอบค่า Re กลับไปอีกจึงจะหาค่า C_d ที่ถูกต้องได้ นับว่ามีความตุ่นมากพอสมควร



รูปที่ 2.7 กราฟความสัมพันธ์ระหว่าง $C_d Re^2$ กับ Re [5]

2.3.4 ขอบเขตของฟลูอิไซซชัน (Regime of fluidization) [3]

เมื่อบรรดงลงบนตะแกรงหรือตัวกระจายแก๊ส (gas distributor) และมีแก๊สไหลเข้าโดยค่อยๆ เพิ่มความเร็วขึ้นเรื่อยๆ จะสามารถแบ่งชนิดของฟลูอิไซซชันเป็น ตามความเร็วของของไนล์ได้ ดังนี้

2.3.4.1 เบคบรรจุ (Packed bed) หรือเบนนิ่ง (Fixed bed)

เมื่อแก๊สไหกผ่านของแข็งที่วางตัวบนตัวกระชาขแก๊สด้วยความเร็วต่ำ เบค จะวางตัวนิ่ง (Fixed bed) ไม่เคลื่อนไหว แก๊สจะไหลดคดเคี้ยวไปตามช่องว่างที่อยู่ในเบค หรือเบดอาจมีการเคลื่อนที่สัมพัทธ์กับผนัง แต่อนุภาคของแข็งในเบคไม่มีการเคลื่อนที่สัมพัทธ์ต่อกัน กรณีนี้เรียกว่า อนุภาควิ่ง (moving) เมื่อแก๊สเคลื่อนที่ผ่านเบคที่วางตัวนิ่ง จะมีแรงนึ่งจากการไหลดของอนุภาคกระทำต่อ อนุภาคในทิศทางของการไหลด เรียกแรงนี้ว่าแรงเตี๊ยดทานเนื่องจาก การไหลด (drag force) ซึ่งจะก่อให้เกิดความดันลด (pressure drop) ต่ำกว่าเบค ความดันลดต่ำกว่าเบคลดความสูงของเบคบรรจุ ที่เกิดขึ้นจะมีค่าเพิ่มขึ้นตามความเร็วแก๊สที่เพิ่มขึ้น

2.3.4.2 ฟลูอิไดซ์เบดแบบฟองอากาศ (bubbling fluidized bed)

เมื่อความเร็วแก๊สที่เคลื่อนที่ผ่านเบคนิ่ง มีค่าเพิ่มขึ้นถึงความเร็วค่าหนึ่ง อนุภาคจะเริ่มเกิดการเคลื่อนที่ ความเร็วที่จุดนี้จะเรียกว่า ความเร็วค่าสุดในการเกิดฟลูอิไดเซชัน (minimum fluidization velocity, U_m) และจะเรียกเบค ณ จุดนี้ว่า minimum fluidized bed ซึ่งเป็นจุดที่อนุภาคเริ่มประพฤติตัวคล้ายของไหลด สำหรับค่าความดันลดคร่าวมเบค ณ จุดนี้จะมีค่าต่ำกว่าเบค ถ้าเพิ่มความเร็วของแก๊สจะพบว่าเริ่มเกิดฟองแก๊ส bubble phase อาจมีอนุภาคอยู่บ้างแต่น้อยมาก และส่วนที่ไม่ใช่ฟองแก๊สหรือส่วนที่มีอนุภาคอยู่หนาแน่น เรียกว่า emulsion phase ขนาดของฟองแก๊สที่เกิดขึ้นจะมีค่าเพิ่มขึ้นตามขนาดของอนุภาค ความเร็วแก๊ส และตำแหน่งที่อยู่เหนือนีโอตะแกรงรองรับหรือตัวกระชาขแก๊สที่เพิ่มขึ้น

ฟองแก๊สที่เกิดขึ้นจะเคลื่อนที่แทรกขึ้นไป และอาจมีการรวมตัวกัน เช่น emulsion phase โดยที่อาจมีของแข็งบางส่วนติดไปด้านบนของฟองแก๊ส และบางส่วนวิ่งตามฟอง แก๊สขึ้นมาด้วยนิรภัยทั้งถึงศีวนก็จะเคลื่อนที่หลุดออกไป แล้วแตกกระชาขอยู่เหนือนีโอตะแกรงรองรับที่อยู่เหนือเบคขึ้นไป ซึ่งฟองแก๊สจะเกิดการแตกตัว และของแข็งที่ติดไปกับฟองแก๊สจะแตกกลับลงมาแนบอีกครั้งทั้งหมดของแรงโน้มถ่วง เรียกว่า บริเวณิสระ อย่างไรก็ตามอาจจะมีอนุภาคของแข็งบางส่วน ซึ่งขนาดเล็กจะถูกพัดพาเคลื่อนที่ไปกับแก๊สด้วย ความสูงค่าหนึ่ง ซึ่งอนุภาคของแข็งเกือบทั้งหมดจะกลับลงมาข้างเบคจะเรียกความสูงนี้ว่า ความสูงหดตัว

2.3.4.3 เบคแบบสลัก (slugging bed)

ขนาดของฟองแก๊สจะมีขนาดเพิ่มตาม ความเร็วของแก๊ส และความสูงของเบค ถ้าเบคบรรจุอยู่ในห้องซึ่งมีขนาดเล็กและขาว ฟองแก๊สที่เกิดขึ้นอาจมีขนาดใหญ่เกินเท่ากับเส้นผ่าศูนย์กลางหรือความกว้างของเบค ในกรณีนี้จะสังเกตเห็นฟองแก๊สเคลื่อนที่ผ่านเบค และแยกอนุภาคออกเป็นชั้นๆ เรียกว่าเกิด สลักกิง (slugging)

2.3.4.4 เบดแบบปั่นป่วน (Turbulent bed)

เมื่อความเร็วของแก๊สที่เคลื่อนที่ผ่าน บันบลิง เบด (bubbling bed) เพิ่มขึ้นจนมีค่าสูงกว่า minimum bubbling velocity เบดจะเกิดการขยายตัว และเมื่อเพิ่มความเร็วขึ้นเรื่อยๆ จะเริ่มสังเกตเห็นรูปแบบการสัมผัสของอนุภาคกับแก๊สซึ่งเกิดการขยายตัวจะมีการเปลี่ยนแปลงเกิดขึ้นโดยห้องแก๊สที่เกิดขึ้นจะมีการรวมตัวและแตกกระจายออกจากก้นห้องช่องระหว่าง ชนดูเหมือนไม่มีฟองแก๊สอยู่ภายในเบด การเคลื่อนไหวภายในเบดจะมีลักษณะปั่นป่วน ที่เกิดขึ้นจะแบ่งเป็น 2 ส่วน คือ dense phase ซึ่งบางส่วนที่มีอนุภาคของแข็งอยู่หนาแน่น และ dilute phase ซึ่งเป็นส่วนที่มีอนุภาคของแข็งอยู่เบาบาง สำหรับช่วงในการเปลี่ยนสภาพจาก bubbling bed ไปเป็น turbulent bed จะเกิดขึ้น เมื่อค่าอุฯ เพิ่มความเร็วจนถึงค่าหนึ่ง เบดซึ่งเดิมอยู่ในสภาพ bubbling bed นั้น บริเวณผิวน้ำของเบดจะเริ่มเปลี่ยนไปเป็น turbulent bed ตามลำดับ จนกระทั่งถึงความเร็วที่หนึ่งเมดทั้งหมดก่อให้สภาวะ turbulent bed โดยสมบูรณ์ เมื่อพิจารณาความสัมพันธ์ของความคันคร่อมเบด ที่เกิดขึ้นในการเปลี่ยนสภาพ

จากการที่ผู้วิจัยได้ทำการศึกษางานวิจัยที่เกี่ยวข้องกับงานวิจัยนี้ พบว่ามีผู้วิจัยหลายท่านได้ทำการทดลองไว้ก่อนหน้านี้ ได้แก่

กฤติภา ชาญวะส์ และวรรณนิภา อมาดุล [9] ได้ศึกษาการเตรียมถ่านกัมมันต์จากกล้าป่าลั่นโดยกระบวนการแตกตัวของความร้อนและกระตุ้นตัวไอน้ำในขันตอนเดียว ตัวแปรที่ทำการศึกษาคือ เวลาและขนาดของกล้าป่าลั่น โดยนำกล้าป่าลั่นขนาด 2.36-4.75 mm มาทำการทดลอง สภาวะที่เหมาะสมที่ได้คือ อุณหภูมิ 750 °C เวลา 1.2 ชั่วโมง ปริมาณไอน้ำร้อนซึ่งควบคุมโดยอุณหภูมิ 25 °C และอัตราการไหลของอากาศ 0.66 นอร์มอลดิตร/นาที ถ่านกัมมันต์ที่ได้มีสมบัติดังนี้คือ ค่าวัสดุคงทนได้ 19.66 ค่าถ้าร้อยละ 7.03 ค่าการดูดซับไออกซีน 620.16 mg/g และค่าการดูดซับเมธิลีนบูต 278.02 mg/g

จักริน นิธิจันทร์ [10] ได้ทำการทดลองถ่านกัมมันต์โดยการรับไนโตรเจนและการกระตุ้นตัวไอน้ำในฟลูอิডิซ์เบด การทดลองแบ่งเป็น 2 ขั้นตอน ขั้นแรก ควรรับไนซ์ โดยตัวแปรที่ศึกษาคือ ความเร็วอากาศ เวลาในการคาร์บอนไนซ์ พบว่าสภาวะที่เหมาะสมในการคาร์บอนไนซ์ คือ ขนาดของเม็ดพื้น 0.5-2.0 mm ความเร็วอากาศ 0.94 m/s อุณหภูมิรีมดันของเบด 400 °C เวลาในการคาร์บอนไนซ์ 5 นาที ขั้นตอนที่สอง การกระตุ้นตัวไอน้ำในฟลูอิডิซ์เบด ตัวแปรที่ศึกษาคือ ร้อยละของสารระเหยในวัตถุดิน ขนาดของถ่านพื้น เวลาในการกระตุ้นตัวไอน้ำ อุณหภูมิของเบดขณะเริ่มป้อนไอน้ำ ปริมาณการป้อนถ่านพื้น พบว่าสภาวะที่เหมาะสมในการกระตุ้นตัวไอน้ำในฟลูอิడิซ์เบด คือ ถ่านพื้นขนาด 1.0-2.0 mm ปริมาณการป้อนถ่านพื้น 2.0 kg ความเร็วอากาศ 3.21 m/s อุณหภูมิเบดจะขณะเริ่มป้อนไอน้ำ 700 °C เวลากระตุ้นตัวไอน้ำ 7 นาที ได้ผลิตภัณฑ์ที่เป็นถ่านกัมมันต์ร้อยละ 59.1 ของน้ำหนักถ่านพื้น มีค่าพื้นที่ผิวจรา พา 1,023 m²/g ค่าไออกซีนนัมเบอร์ 1,053 mg/g ค่าดูดซับเมธิลีนบูต 354.5 mg/g

นารี จันทร์เทียน และคณะ [11] ได้ศึกษาความเป็นไปได้ที่จะนำกล้าด่างโดยไม่ลดลงค่าพื้นที่ผิว กับกัมมันต์ โดยใช้ไอน้ำอิ่มตัวชุดซึ่งในเครื่องแอคติวเอเตอร์แบบฟลูอิಡิซ์เบด และใช้ชิงคอกอไรค์ในเครื่อง

แอ็คติเวเตอร์แบบเบนนิ่ง การผลิตถ่านกัมมันต์ด้วยไอน้ำอิมตัวขวบซึ่งในเครื่องแอ็คติเวเตอร์แบบฟลูอิไดซ์เบด ทดลองโดยทำกระบวนการร้อนในชั้นกระดาษคาดตอนดินเผาไฟฟ้าที่อุณหภูมิ 300°C เป็นเวลา 2 ชั่วโมง ขนาดอนุภาค 2-5 mm กระศุนด้วยไอน้ำอิมตัวขวบซึ่งในเครื่องแอ็คติเวเตอร์แบบฟลูอิไดซ์เบด ซึ่งมีถังผงเป็นทรงกระบอกที่จะทำการแต่งกลิ่นแล้ว เบอร์ 316 หนา 4 mm เส้นผ่าศูนย์กลาง 12 cm สูง 50 cm ที่อุณหภูมิ 900°C เป็นเวลา 1 ชั่วโมง ถ่านกัมมันต์ที่ได้มีสมบัติดังนี้คือ ค่าการดูดซับเมธิลีนบูต 0.2 mg/g ค่าการดูดซับไออกไซเดิน 600 mg/g ส่วนการผลิตถ่านกัมมันต์ด้วยชิ้งคลอไรด์ในเครื่องปฏิกรณ์แบบเบนนิ่ง ทดลองโดยทำการสารร้อนในชั้นกระดาษคาดตอนดินเผาในเครื่องคาร์บอนเซเรชอร์ที่อุณหภูมิ 300°C เป็นเวลา 2 ชั่วโมง ขนาดอนุภาค 2-5 mm แล้วเชื่อมการละลายชิ้งคลอไรด์ เช่นขันร้อยละ 50 โดยใช้ถ่าน 3 g ต่อสารละลายชิ้งคลอไรด์ 9 mL นำไปประศุนในเผาไฟที่อุณหภูมิ 500°C เป็นเวลา 30 นาที ถ่านกัมมันต์ที่ได้มีสมบัติดังนี้ คือ ค่าการดูดซับเมธิลีนบูต 362-376 mg/g ค่าการดูดซับไออกไซเดิน 1088-1117 mg/g

นิชชาร์ นิลนันท์ [7] ได้ทดลองผลิตถ่านกัมมันต์จากไม้โภคภัยด้วยวิธีกระบวนการด้วยไอน้ำร้อนขวบซึ่งกับแก๊สคาร์บอนไดออกไซด์ สภาวะที่เหมาะสมในการคาร์บอนไซด์คือ อุณหภูมิ 300°C เป็นเวลา 1 ชั่วโมง และทำการกระศุนที่อุณหภูมิ 850°C เป็นเวลา 60 นาที ขนาดอนุภาค 0.6-1.2 mm โดยใช้ไอน้ำร้อนขวบซึ่งกับแก๊สคาร์บอนไดออกไซด์ในอัตราการไหล 5 L/min ถ่านกัมมันต์ที่ได้มีสมบัติดังนี้ คือ ค่าการดูดซับไออกไซเดิน 675 mg/g ค่าการดูดซับเมธิลีนบูต 254 mg/g ความหนาแน่นปูนปลาญี่ปุ่น 0.32 g/cm^3 และพื้นที่ผิว $640 \text{ m}^2/\text{g}$

รัตigr อิสระเสนีย์ [12] ได้ทดลองผลิตถ่านกัมมันต์จากยางรถยก ได้ดำเนินการ 2 ขั้นตอนคือ การคาร์บอนไซด์ชั้นแรก และการกระศุนถ่านที่ได้ด้วยไอน้ำร้อนขวบซึ่งประทับประทั่วแบบที่ศึกษาคือ อุณหภูมิและเวลาการคาร์บอนไซด์ชั้นแรกที่เหมาะสมสำหรับการคาร์บอนไซด์ชั้นที่สองคือ อุณหภูมิ 450°C 30 นาที ในบรรยายของแก๊สในโทรศัพท์ ให้ผลิตภัณฑ์เป็นถ่านชาร์จร้อยละ 47.20 ปริมาณคาร์บอนคงด้วยร้อยละ 50.48 สารระเหยร้อยละ 23.11 และเดาร้อยละ 23.41 ขั้นตอนการกระศุนด้วยไอน้ำร้อนขวบซึ่งทำในเครื่องแอ็คติเวเตอร์แบบเบนนิ่ง ตัวแปรที่ศึกษาคือ อุณหภูมิและเวลาการกระศุนขนาดถ่านที่ใช้กระศุน และอัตราการป้อนไอน้ำ พบว่าภาวะที่เหมาะสมสำหรับการกระศุนถ่านที่ได้จากการคาร์บอนไซด์ชั้นที่สอง 50 กรัม คือใช้ถ่านขนาด 1.18-2.36 mm กระศุนที่อุณหภูมิ 900°C 30 นาที โดยมีอัตราการป้อนไอน้ำ 1.88 g/s และอัตราการป้อนอากาศ $43 \text{ cm}^3/\text{s}$ ให้ผลิตภัณฑ์เป็นถ่านกัมมันต์ร้อยละ 17.35 ของน้ำหนักยางรถยกที่ใช้แล้ว มีพื้นที่ผิว $691.51 \text{ m}^2/\text{g}$ ค่าไออกไซเดิน 891.11 mg/g ค่าเมธิลีนบูต 172.03 mg/g

วรรุพั ประชาศิริกุล [13] ได้ทดลองผลิตถ่านกัมมันต์จากกระดาษปาล์มน้ำมันโดยกระศุนด้วยแก๊สคาร์บอนไดออกไซด์ พบว่าสภาวะที่เหมาะสมในการคาร์บอนไซด์คือ อุณหภูมิ 400°C เป็นเวลา 60 นาที อัตราการไหลของแก๊สคาร์บอนไดออกไซด์ 0.2 L/min ขนาดอนุภาคของถ่าน $1.2-2.4 \text{ mm}$

ถ่านกัมมันต์ที่ได้มีสมบัติดังนี้ คือ ค่าการดูดซับไอโซเดิน 411 mg/g ค่าการดูดซับเมทธิลีนบูต 175 mg/g ความหนาแน่นปูรากู 0.52 g/cm³ และพื้นที่คิว BET 476 m²/g

สุกสิทธิ กิตติชัย และอรุณชัย ขาวเมืองน้อย [14] ได้ทดลองผลิตถ่านกัมมันต์จากกล้าปาล์ม น้ำมันโดยการครัวโน่ใบไนซ์ และการกระตุนด้วยไฮอนีร้อนอั่งชัวคในเบคนิ่ง โดยทำการครัวโน่ใบไนซ์ ในช่วงอุณหภูมิ 400-500 °C เป็นเวลา 5-11 ชั่วโมง พบร่วงสภาวะที่เหมาะสมสำหรับการครัวโน่ใบไนซ์ คือ อุณหภูมิเบค 400 °C เป็นเวลา 9 ชั่วโมง ถ่านกัมมันต์ที่ได้มีสมบัติดังนี้ คือ ผลิตภัณฑ์เป็นถ่านกล้าร้อขยะ 47 ปริมาณคาร์บอนคงตัวร้อยละ 68 ปริมาณสารระเหยร้อยละ 25 และปริมาณเก้าร้อขยะ 7

สร้างศรี รุกขอนันต์กุล และอภิสิทธิ์ ปรีดาวรรพลิศ [15] ได้ทดลองครัวโน่ใบไนเชชันและการกระตุนด้วยแก๊สออกซิไดซ์ โดยทำการครัวโน่ใบไนซ์ในเบคนิ่ง โดยการทดลองแบ่งเป็น 2 ขั้นตอนขั้นตอนแรก ครัวโน่ใบไนซ์เบคนิ่ง พบร่วงสภาวะที่เหมาะสมในการครัวโน่ใบไนซ์ คือ อุณหภูมิ 400 °C เป็นเวลา 4 ชั่วโมง ขั้นตอนที่สอง เป็นการกระตุนด้วยแก๊สเพมในห้องฟักอุ่นไดซ์เบค แก๊สเพมเครื่องให้จากการเผาไหม้น้ำมันดีเซลกับไฮอนีร้อนอั่งชัว โดยอุณหภูมิ 800 °C นาน 15 นาที โดยใช้ด้วอย่างถ่านชาร์บูราค 1.68-2.38 mm จะได้ถ่านกัมมันต์ที่มีคุณสมบัติดังต่อไปนี้ ค่าการดูดซับไอโซเดิน 690.96 mg/g ค่าการดูดซับเมทธิลีนบูต 77.98 mg/g ค่าเก้าร้อขยะ 14.65 ค่าร้อขยะผลิตภัณฑ์ที่ได้ร้อขยะ 18.38

สมใจ ใจเรชพันธุ์งาน [16] ได้ทดลองผลิตถ่านกัมมันต์จากแกมน้ำโดยการกระตุนด้วยไฮอนี และโซเดียมไอก្រอกไไซด์ พบร่วงสภาวะที่เหมาะสมของการกระตุนด้วยไฮอนี คือ อุณหภูมิ 700 °C เป็นเวลา 1 ชั่วโมง ถ่านกัมมันต์ที่ได้มีสมบัติดังนี้ คือ พื้นที่คิว 421 m²/g ปริมาณการดูดซับของเหลวโทกูอีน และไอะโร่เหห์โทกูอีนร้อยละ 12 และ 8 โดยน้ำหนัก ส่วนสภาวะที่เหมาะสมที่ใช้ในการกระตุนด้วยโซเดียมไอก្រอกไไซด์ คือ อุณหภูมิ 500 °C เป็นเวลา 30 นาที ถ่านกัมมันต์ที่ได้มีสมบัติดังนี้ คือ พื้นที่คิว 347 m²/g ปริมาณการดูดซับของเหลวโทกูอีนร้อยละ 26 และ 52 โดยน้ำหนัก จากการทดลองพบว่าจากแกมน้ำโดยการกระตุนด้วยโซเดียมไอก្រอกไไซด์มีปริมาณการดูดซับไอะโร่เหห์โทกูอีนสูงกว่าถ่านกัมมันต์ที่กระตุนด้วยไฮอนี

อุไรวรรณ ธรรมรัตนพคุณ [17] ได้ทดลองครัวโน่ใบไนซ์จะตามพรัวในถังน้ำมันขนาด 200 L แล้วนำมายกระตุนด้วยไฮอนีอั่งชัวคในเตาเผาแบบหมุน ที่ทำด้วยเหล็กไรัตนิมน้ำดีสีเหลืองสูงสีคลาย 10 cm ปลายแต่ละด้านปิดด้วยตะแกรงเพื่อป้องกันไม่ให้ถ่านหลุดออกไปท่อหมุนในแนวนอนด้วยอัตรา 4 รอบต่อนาที สภาวะที่ใช้คือ ถ่านขนาด 4-10 เมซ (2.00-4.76 mm) ครั้งละ 500 g อุณหภูมิ 700-1500 °C แปรเวลาเดิมๆ 30, 40, 45, 50, 55, 60, 90, 105, 110 และ 130 นาที จากการทดลอง พบร่วงถ่านกัมมันต์ที่ได้มีสมบัติดังนี้ คือ ค่าการดูดซับไอโซเดิน 1,540 mg/g ค่าการดูดซับเมทธิลีนบูต 5-371 mg/g ค่าความแข็ง 30-42 และความหนาแน่นปูรากู 0.31-0.59 g/cm³

J.E.Altwater และคณะ [18] ได้ทดลองเคลือบซิลิโคน-ครัวโน่ใบ (SiC) บนถ่านกัมมันต์ โดยการผลิตจะใช้อุณหภูมิสูงในเครื่องปฏิกรณ์แบบฟักอุ่นไดซ์เบคสำหรับการเคลือบซิลิโคน-ครัวโน่ใบ (SiC)

ที่อุณหภูมิ 1350°C จะเกิดปฏิกิริยาบนพื้นผิวของคาร์บอนจาก i-SiC และคาร์บอนในไนโอลอกไชต์ ผลที่ได้จากการทดลองเคลือบทำให้ด่านที่ได้มีพื้นที่ผิวสูงขึ้น

Juan F. Gonzalez และคณะ [19] ได้ทดลองเครื่องถ่านกัมมันต์จากยางรถยกติดการกระตุนด้วยไอน้ำและแก๊สคาร์บอนไนโอลอกไชต์ วิธีการกระตุนแบ่งเป็น 2 ขั้นตอน (ไประไโลซิส ที่ 800°C ในบรรดาอากาศของไนโตรเจน ร่วมกับไอน้ำ หรือคาร์บอนไนโอลอกไชต์) ผลของการกระตุน ($750\text{-}900^{\circ}\text{C}$) และเวลาที่ใช้กระตุน ($1\text{-}3\text{ h}$) การทดสอบพื้นที่ผิวของถ่านโดยการคุณซับไอยโซเทอมของไนโตรเจนที่ 77 K ทดสอบด้วยปริมาตรรูพ魯นขนาดเมtro, ปริมาตรรูพ魯นไมโคร และ พื้นที่ผิวของ BET มีแนวโน้มเพิ่มขึ้นเป็นเชิงเส้น โดยการกระตุนด้วยไอน้ำจะให้รูพ魯นขนาดไมโครสูงกว่า และการกระตุนด้วยคาร์บอนไนโอลอกไชต์จะให้รูพ魯นขนาดเมtro

Martin-Gullon และคณะ [20] ได้ใช้โรงทดลองฟลูอิไดร์เบดเพื่อศึกษากระบวนการผลิตถ่านกัมมันต์ จากถ่านบิทูมัสโดยการกระตุนด้วยไอน้ำ โรงทดลองจะสามารถผลิตถ่านได้มากกว่า 40 กิโลกรัม ต่อวัน ซึ่งสภาวะที่ใช้ทดสอบการคุณซับ : (1) สภาวะการคาร์บอนไซซ์ชัน, (2) อุณหภูมิกระตุน ($800\text{-}850^{\circ}\text{C}$) และ(3) ความเร็วของไอน้ำ ($1.5\text{-}3\text{ เท่าของความเร็วต่ำสุดในการเกิดฟลูอิไดร์$) จากการทดลองได้พบว่ากระบวนการผลิตทั้งสองขั้น (การคาร์บอนไซซ์ชัน และการกระตุน) ผลของรูพ魯นที่ได้ขึ้นอยู่กับอุณหภูมิและความเร็วของไอน้ำที่ใช้อย่างชัดเจน

บทที่ 3

วิธีการทำงานวิจัย

3.1 อุปกรณ์และสารเคมี

3.1.1 อุปกรณ์

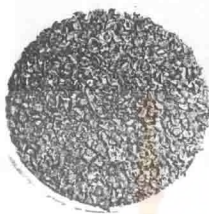
1. กระบอกดูด (Cylinder) ขนาด 10 mL
2. ขวดเก็บตัวอย่าง (Vial)
3. เครื่องชั่ง (Balance)
4. ajanพะเจ็ช (Petri disc)
5. ช้อนตักสาร (Spoon)
6. เศษกอกเตอร์ (Desicator)
7. เตาอบ (Oven)
8. เตาเผา (Furnace)
9. ถ้วยทนความร้อน (Crucible)
10. บิวเรต (Burret)
11. บีกเกอร์ (Breaker) ขนาด 50 mL

3.1.2 อุปกรณ์ในการสร้างชุดทดลองฟลูอิคเจชันไอน้ำ

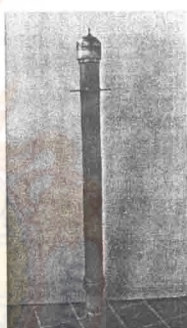
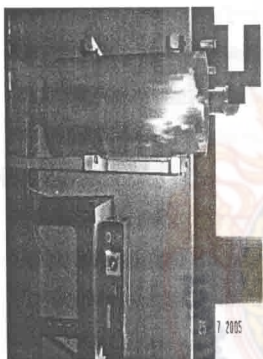
1. เตาเผาจากบริษัทส่วนห้อง ชีคเตอร์ จำกัด ดังรูปที่ 3.2
2. หม้อไอน้ำจากบริษัทส่วนห้อง ชีคเตอร์ จำกัด ดังรูปที่ 3.2
3. คอดัมน์บรรจุด้วยย่าง ดังรูปที่ 3.2
4. บีบัน้ำจากบริษัทคอนไกด์ จำกัด ดังรูปที่ 3.2
5. ไนโตรเจนจากบริษัทไทยอินดัสทีเรียลแก๊ส จำกัด
6. ท่อสแตนเลส Ø 6 เมตร ขนาด Ø 1/4 นิ้ว
7. ถังน้ำ
8. ชีคเตอร์บริษัทส่วนห้อง ชีคเตอร์ จำกัด ดังรูปที่ 3.2
9. Ball valve ชิ้น Hylok ขนาด Ø 1/4 นิ้ว
10. Bubble flow meter
11. Metering valve ชิ้น Swagelok ขนาด Ø 1/4 นิ้ว
13. Tee way ชิ้น Hylok ขนาด Ø 1/4 นิ้ว
14. Union ชิ้น Hylok ขนาด Ø 1/4 นิ้ว

3.1.3 วัสดุคืนและสารเคมี

1. กาแก้ไฟจากบริษัทชาราดี คอฟฟี่ แอนด์ จำกัด ดังรูปที่ 3.1
2. เซปเทน Analytical reagent จากบริษัทฟิชเชอร์ เคมิคอล

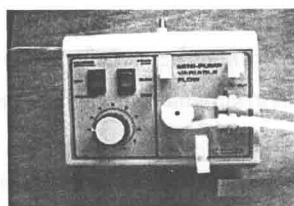


รูปที่ 3.1 ลักษณะของกาแก้ไฟ



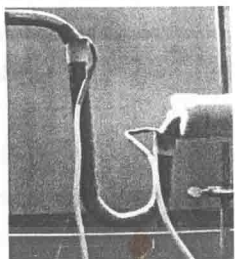
(ก) เตาเผาจากบริษัทส่วนห้อง ชีตเตอร์ จำกัด

(ข) คอลัมน์บรรจุหัวอย่าง



(ก) หม้อไอน้ำจากบริษัทส่วนห้อง ชีตเตอร์ จำกัด

(ง) ปั๊มน้ำจากบริษัทคอนโวต จำกัด



ก) อีตเตอร์บิริยัทส่วนห้อง อีตเตอร์ จำกัด

รูปที่ 3.2 อุปกรณ์ต่างๆ สำหรับสร้างชุดทดลองฟลูอิไดเซ็น ไอน้ำ

3.2 ขั้นตอนการผลิตถ่านกัมมันต์

3.2.1 ขั้นตอนการสร้างชุดทดลอง

3.2.1.1 ออกแบบชุดทดลองฟลูอิไดเซ็น ไอน้ำ ดังรูปที่ 3.6

3.2.1.2 สร้างชุดทดลองฟลูอิไดเซ็น ไอน้ำ ดังรูปที่ 3.7

3.2.2 ขั้นตอนการเตรียมกาแกฟ

3.2.2.1 นำกาแกฟมาอบให้แห้งที่อุณหภูมิ 110°C เป็นเวลา 8 ชั่วโมง และปล่อยให้เย็นในเครื่องเก็บความร้อน

3.2.2.2 คัดขนาดของกาแกฟโดยใช้ขนาดของตะแกรงเบอร์ 8

3.2.3 ขั้นตอนการทำกาแกฟให้เป็นถ่าน

3.2.3.1 นำกาแกฟที่ผ่านการอบแห้งมาซึ่งปริมาณ 70-80 กรัม

3.2.3.2 นำมาใส่ถ้วยทนความร้อน ปิดฝา นำไปเผาที่อุณหภูมิ 400°C เป็นเวลา 1, 2 และ 3 ชั่วโมง และปล่อยให้เย็นในเครื่องเก็บความร้อน

3.2.3.3 จากนั้นซึ่งน้ำหนักถ่านหลังการเผาและเก็บในภาชนะที่ป้องกันความชื้น ได้

3.2.3.4 ทำการทดลองร้าวในข้อ 3.4.3.1 ถึง 3.4.3.2 โดยเปลี่ยนอุณหภูมิเป็น 500 และ

600°C ตามลำดับ

3.2.3.5 นำถ่านกาแกฟที่ได้จากการร้าว ไปวิเคราะห์สมบัติกาแกฟโดยเครื่อง Gas sorption analyzer เพื่อหาสภาวะที่เหมาะสมในการกระตุ้นให้เป็นถ่านกัมมันต์ในขั้นตอนต่อไป

3.2.3.6 หลังจากทราบสภาวะที่เหมาะสมในการครัวป์ไนซ์แล้ว ที่ทำการเตรียมวัสดุคืนสำหรับการกระตุ้นโดยการครัวป์ไนซ์กาแกฟที่สภาวะดังกล่าวให้เพียงพอสำหรับการกระตุ้น แล้วเก็บตัวอย่างที่ได้ในเครื่องเก็บความร้อน

3.2.4 ขั้นตอนการเตรียมถ่านก่อนการกระตุ้น

3.2.4.1 การคำนวณความหนาแน่นของ

ก. บักทึกน้ำหนักระบบอกรดูงก่อนใส่ถ่านและหลังใส่ถ่าน เพื่อหาหนักถ่าน

ในระบบอกรดูงปริมาตร 10 mL

ช. เติมไฮเปกเคนลงในบิวเตช บันทึกค่าริ่มน้ำ ปิดฝาหัวเปกเคน คือชา ไนโกลส์ ระบบอกรดูงที่มีถ่านบรรจุอยู่ จนระดับ เฮปเคนท่ำกว่าถ่านในระบบอกรดูงและเข้าระดับของเหลวถึงขีด 10 mL ของระบบอกรดูงบันทึกปริมาตรที่ใช้ไปของไฮเปกเคน

ค. จากนั้นคำนวณหาความหนาแน่นของเริงดังแสดงในภาคผนวก ก.

3.2.4.2 การคำนวณความหนาแน่นปรากฏ

ก. อบถ่านกาแฟที่อุณหภูมิ 150°C เป็นเวลา 3 ชั่วโมง ปล่อยให้เย็นใน เครื่องอบแห้ง

ข. ชั่งระบบอกรดูงเปล่าขนาด 10 mL บันทึกน้ำหนักระบบอกรดูง

ค. นำระบบอกรดูงที่ชั่งแล้วมาใส่ถ่านกาแฟแล้วแล้วนำไปชั่งอีกครั้ง

ง. จากนั้นคำนวณหาความหนาแน่นปรากฏ ดังแสดงในภาคผนวก ก.

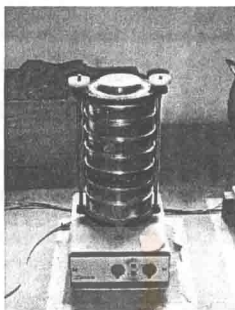
3.2.4.3 การคำนวณขนาดอนุภาคเฉลี่ยโดยน้ำหนัก

ก. ชั่งน้ำหนักตะแกรงร่อน ขนาด 10, 14, 40, 50, 60, 80 และภาครองและฝ่าปิด ตั้งรูปที่ 3.3

ข. ชั่งตัวอย่าง 100 g เทลงบน ตะแกรงร่อน ทั้งบนสุด ชั่งเรียงจากซ่องเปิด ขนาดใหญ่ไปขนาดเล็ก โดยให้ช่องเปิดขนาดใหญ่อยู่ด้านบน คือ 10, 14, 40, 50, 60, 80 และภาครอง ตาม ลำดับ ปิดฝ่าครอบ

ค. เบย่าโดยใช้เครื่องหาขนาดอนุภาค (Sieve Analysis) เป็นเวลา 5 นาที นำ ตะแกรงร่อนแต่ละชั้นที่มีตัวอย่างห้างอยู่มาชั่งน้ำหนัก

ง. คำนวณขนาดอนุภาคเฉลี่ยโดยน้ำหนัก ดังแสดงในภาคผนวก ก.



รูปที่ 3.3 เครื่องหาบนาดอนุภาค (Sieve Analysis)

3.2.5 ขั้นตอนการกระตุ้นด้วยฟลูอิคเซชันไอน้ำ

- 3.2.5.1 คำนวณสภาวะในการเกิดฟลูอิคเซชันดังภาคผนวก ก.
- 3.2.5.2 เครื่ยมชุดทดลองสำหรับการกระตุ้น
 - ก. หุ่มคนวนบริเวณที่เป็นทางผ่านของไอน้ำไปยังห้องกระตุ้น
 - ข. เติมน้ำลงในถังน้ำและหม้อไอน้ำให้เพียงพอ
 - ค. วัดอัตราการไหลของไอน้ำที่จะใช้ในการกระตุ้น
 - ง. วัดอัตราการไหลของแก๊สในโถเรagenที่จะใช้ในการกระตุ้นโดยใช้อุปกรณ์

ดังรูปที่ 3.4

- 3.2.5.3 นำถ่านออกกำเนินมาซึ่งน้ำหนัก 50 g
- 3.2.5.4 นำถ่านที่ซึ่งน้ำหนักแล้วไปใส่ลงในคลอดันน์บรรจุตัวอย่างทางด้านบน แล้วปิดฝาครอบให้สนิท
 - 3.2.5.5 จากนั้นเปิดสวิตช์ควบคุมการทำงานของหม้อไอน้ำ และปรับอุณหภูมิที่ 120°C หลังจากนั้นสังเกตเมื่ออุณหภูมิถึง 120°C จึงปรับอุณหภูมิของอีคเตอร์ที่ 200°C เพื่อเปลี่ยนอุณหภูมิของไอน้ำเป็นไอน้ำร้อนอ่อนขี้ขาด
 - 3.2.5.6 เปิดสวิตช์ควบคุมการทำงานของเตาไฟและปรับอุณหภูมิที่ 700°C พร้อมทั้งเปิดอั้งในโถเรagenและปรับอัตราการไหลให้คงที่ตลอดการทดลอง
 - 3.2.5.7 เริ่มจับเวลาหลังจากที่อุณหภูมิถึง 700°C โดยเวลาที่ใช้คือ 3, 5 และ 7 ชั่วโมง
 - 3.2.5.8 สังเกตการณ์ตลอดการทดลอง และต้องคงอุณหภูมิน้ำลงในถังน้ำและหม้อไอน้ำเพื่อป้องกันการไหม้ของหม้อไอน้ำ และป้องกันการร้าวจากข้อต่อต่างๆ ได้

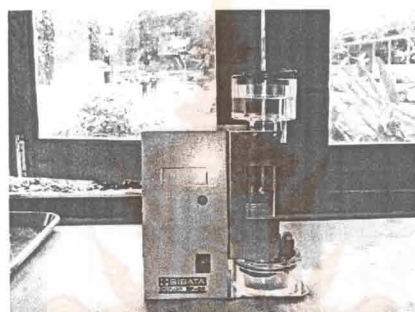
3.2.5.9 เมื่อทำการกระตุ้นครบเวลาที่กำหนดแล้ว ทำการปิดสวิตช์ของเตาเผาชีดเดอร์ หม้อไอ้น้ำ และปั้งไนโตรเจน

3.2.5.10 ทิ้งให้เครื่องเตาเผาเย็นลง แล้วจึงนำตัวอย่างออกจากถังคอลัมน์บรรจุ

3.2.5.11 นำถ่านกัมมันต์ที่ได้ไปรั่งน้ำหนัก และเก็บในภาชนะที่สามารถป้องกันความชื้นได้จากน้ำนำไปไว้ในแคสเซ็คเดอร์

3.2.5.12 ทำการสะอะดคอลัมน์บรรจุด้วยตัวอย่างเพื่อเตรียมการทดลองในครั้งต่อไป

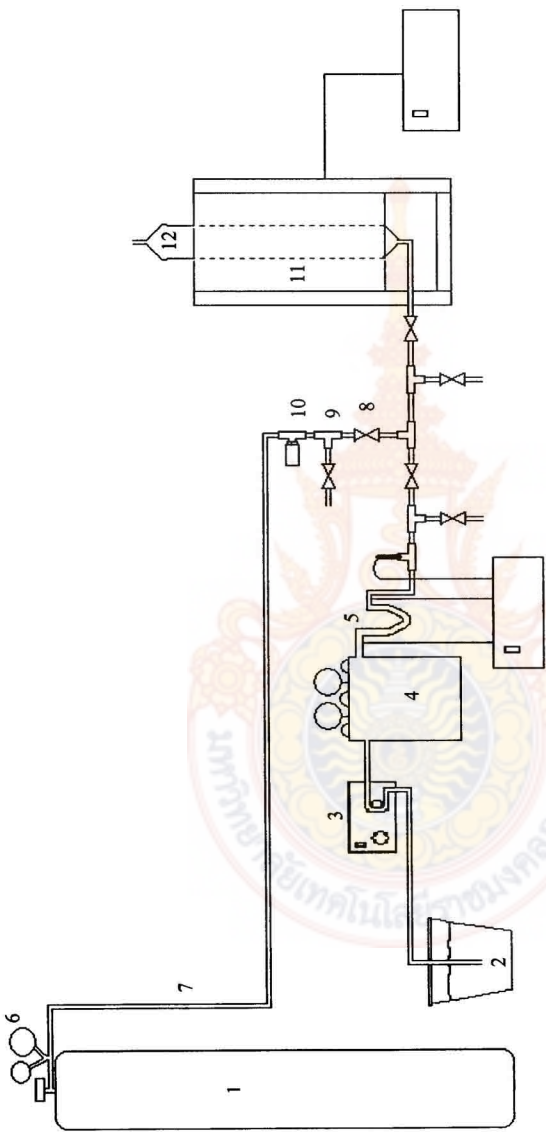
3.2.5.13 ทำการทดลองซ้ำในข้อ 3.2.4.3 ถึง 3.2.4.11 โดยการเปลี่ยนอุณหภูมิเป็น 800 และ 900°C



รูปที่ 3.4 Bubble flow meter



รูปที่ 3.5 ลักษณะถ่านกัมมันต์จากกาแฟโดยการกระตุ้นด้วยฟลูอิไดเซนตน์ไอ้น้ำ



รูปที่ 3.6 ต่อanประการของอุปกรณ์ดูแลซั่น “อน”

- 1) วาล์วไนโตรเจน 2) ถังน้ำ 3) ปืนน้ำ 4) ถังน้ำ 5) ชีคอลร์ 6) Regulator 7) ห้องเพิ่มน้ำ 8)Ball valve ขนาด Ø 1/4 นิ้ว 9)Tee way ขนาด Ø 1/4 นิ้ว 10) Metering valve ขนาด Ø 1/4 นิ้ว 11) เคราเต 12) วาล์วนับน้ำท่อ



รูปที่ 3.7 ขั้นตอนของ "การชั่งน้ำ"

- 1) แก๊สไนโตรเจน 2) ถังน้ำ 3) บีบีมัน 4) หม้อน้ำ 5) ไซต์เชอร์ 6) Regulator 7) ห้องสำหรับถุงห้าม 8) เครื่อง 9) คอลัมน์บรรจุตัวอย่าง

3.3 วิธีการทดสอบสมบัติถ่านกัมมันต์

3.3.1 วิเคราะห์ข้อมูลเชิงภาพของถ่านกัมมันต์ที่ผลิตได้

โดยเครื่อง Gas sorption analyzer ยี่ห้อ Quantachrom รุ่น Autosorb-1C ที่ภาควิชาเคมี คณะวิทยาศาสตร์ สถาบันเทคโนโลยีพระจอมเกล้าอยุธยาคาดคะเนว่า

3.3.2 วิเคราะห์โครงสร้างของถ่านกัมมันต์ที่ผลิตได้

โดยกล้องอุลทรรศน์เสือกtronแบบส่องการดู (Scanning electron microscope, SEM) ยี่ห้อ JEOL รุ่น JSM-6400 ที่ศูนย์เครื่องมือวิทยาศาสตร์และเทคโนโลยี จุฬาลงกรณ์มหาวิทยาลัย

3.3.3 วิเคราะห์หมู่หัวน้ำที่ (Functional groups) ของถ่านกัมมันต์ที่ผลิตได้

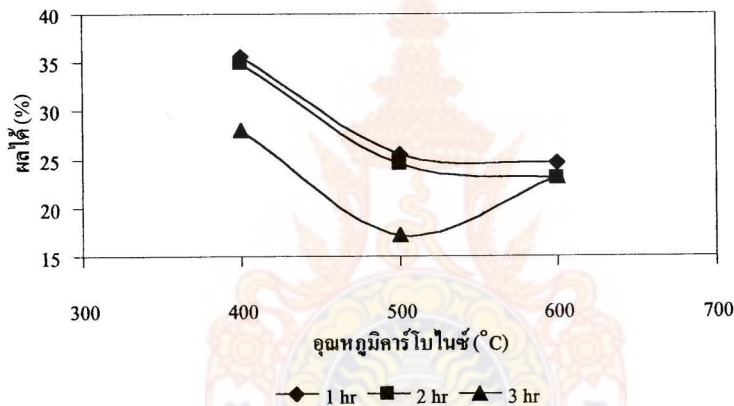
โดยเครื่องฟูเรียร์ทารานฟอร์ม อินฟราเรดスペกโตรมิเตอร์ (Fourier transform infrared, FT-IR) รุ่น 1670x ที่ศูนย์เครื่องมือวิทยาศาสตร์และเทคโนโลยี จุฬาลงกรณ์มหาวิทยาลัย

บทที่ 4

ผลการทดสอบและอภิปรายผล

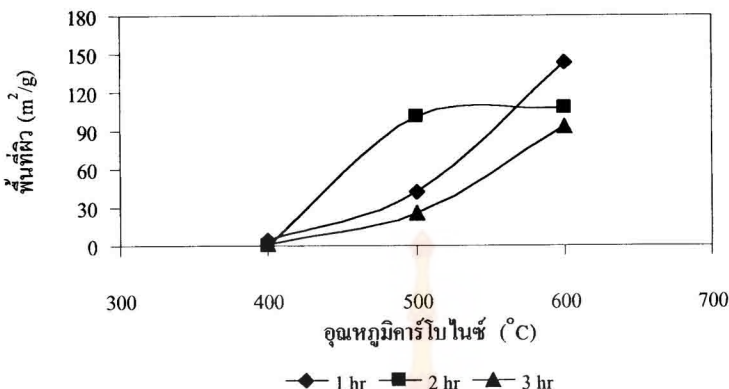
4.1 อิทธิพลของอุณหภูมิการโรบินไซร์ที่มีต่อผลได้ และพื้นที่ผิวของถ่านกาแฟ

จากการทดลองผลิตถ่านกัมมันต์จากกาแฟโดยมีขั้นตอนแรก คือ การคราร์บอนไซร์ท์ที่อุณหภูมิ 400, 500 และ 600°C เป็นเวลา 1, 2 และ 3 ชั่วโมง หลังจากนั้นนำถ่านกาแฟที่ผ่านการคราร์บอนไซร์ท์ในชั้นมาทดสอบสมบัติของถ่านเพื่อหาสภาวะที่เหมาะสมในการกระดุ้น สามารถแสดงผลได้ดังนี้



รูปที่ 4.1 อิทธิพลของอุณหภูมิที่มีต่อผลได้ของถ่านกาแฟที่เวลาต่างๆ

จากการทดลองการคราร์บอนไซร์ที่อุณหภูมิ 400, 500 และ 600°C เป็นเวลา 1, 2 และ 3 ชั่วโมง ผลการทดลองดังแสดงดังรูปที่ 4.1 พบว่า เมื่ออุณหภูมิเพิ่มขึ้นผลได้ของถ่านกาแฟที่ผ่านการคราร์บอนไซร์ที่แล้วมีแนวโน้มลดลง เช่น การคราร์บอนไซร์ที่อุณหภูมิ 400, 500 และ 600°C เป็นเวลา 1 ชั่วโมง ผลได้ของถ่าน คือ 35.67, 25.51 และ 24.65% ตามลำดับ สำหรับที่อุณหภูมิและเวลาอื่นๆ ก็เป็นเดียวกันนี้ ยกเว้นที่การคราร์บอนไซร์ที่ 600°C เวลา 3 ชั่วโมง เท่านั้นที่เพิ่มขึ้น ดังนั้นจะเห็นได้ว่า อุณหภูมิ และเวลาที่เพิ่มขึ้นมีผลต่อการลดลงของปริมาณถ่านกาแฟ



รูปที่ 4.2 อิทธิพลของอุณหภูมิที่มีต่อพื้นที่ผิวของถ่านกาเกเฟที่เวลาต่างๆ

จากการทดลองการโน้มในชั่วโมง ได้ถ่านกาเกเฟที่สภาวะต่างๆ ซึ่งถ่านกาเกเฟที่ได้ทดสอบ สมบัติทางกายภาพเพื่อหาสภาวะที่เหมาะสมในการนำไปผลิตเป็นถ่านกัมมันต์ จากการทดสอบ ดังรูปที่ 4.2 จะเห็นได้ว่าพื้นที่ผิวของถ่านกาเกเฟมีแนวเพิ่มขึ้น เช่น อุณหภูมิการโน้ม 400, 500 และ 600°C เป็นเวลา 1 ชั่วโมง จะมีพื้นที่ผิวของถ่านกาเกเฟเท่ากับ 5, 43 และ 143 m²/g ตามลำดับ และที่ อุณหภูมิ และเวลาการกระตุ้นอ่อนน้อมีเพิ่มขึ้นเดียวกันนี้ ดังนั้น จะเห็นได้ว่า อุณหภูมิที่เพิ่มขึ้นมีผลต่อการ เพิ่มขึ้นของพื้นที่ผิวถ่านกาเกเฟ

จากรูปที่ 4.1-4.2 สรุปได้ว่าสภาวะที่เหมาะสมสำหรับการกระตุ้นด้วยไอโน้า คือ ที่อุณหภูมิการ โน้มในชั่วโมง 1 ชั่วโมง ซึ่งมีผลได้เท่ากับ 24.65% เมื่อจากพื้นที่ผิวของถ่านกาเกเฟที่ได้ มีค่าสูงสุดเท่ากับ 143 m²/g

4.2 ศึกษาผลของความเร็วต่ำสุด (U_{\min}) และความเร็วสูงสุด (U_s) ในการเกิดฟลูอิไดเซชันในการผลิต ถ่าน กัมมันต์

จากการทดลองผลิตถ่านกัมมันต์จากกาเกเฟโดยการกระตุ้นด้วยไอโน้า จะใช้ถ่านที่ผ่าน การคาร์โน้มที่อุณหภูมิ 600°C เป็นเวลา 1 ชั่วโมง และมีขนาด 971 μm (ภาคผนวก ก.) โดยใช้อัตราการ ไหลของไอโน้าที่ 0.012 g/min เพื่อนำไปหาความเร็วของไอโน้าที่จะใช้คือ 0.62 m/s (ภาคผนวก ก.) ซึ่ง ความเร็วของไอโน้าที่ใช้นี้จะอยู่ในช่วงของการเกิดฟลูอิไดเซชันของอุณหภูมิที่ใช้กระตุ้นคือ 700, 800 และ 900°C นอกจากใช้ความเร็วของไอโน้าแล้วซึ่งใช้เกลือในโทรศัพท์ช่วยในการเกิดฟลูอิไดเซชันด้วยโดย ใช้อัตราการไหลที่ 0.57 L/min ทั้งนี้ถ้าความเร็วของไอโน้าที่ใช้มีค่าน้อยกว่าความเร็วต่ำสุดของการเกิด ฟลูอิไดซ์ จะมีผลทำให้การในตลอดนี้ไม่เกิดปรากฏการณ์ฟลูอิไดเซชันของถ่าน หรือถ้าความเร็วของ

ไอ้น้ำมีค่ามากกว่าค่าความเร็วสูงสุดจะมีการสูญเสียของพลังกัปต์ได้เข่นกัน ดังนั้นจึงมีการคำนวณความเร็วต่ำสุดและความเร็วสูงสุดในการเกิดฟู่อิโคเซชันก่อนทำการทดลองกระดุ้นและผลที่ได้แสดงดังตารางที่ 4.1

ตารางที่ 4.1 ความเร็วต่ำสุด (U_{mf}) และความเร็วสูงสุด (U_t) ใน การเกิดฟู่อิโคเซชัน

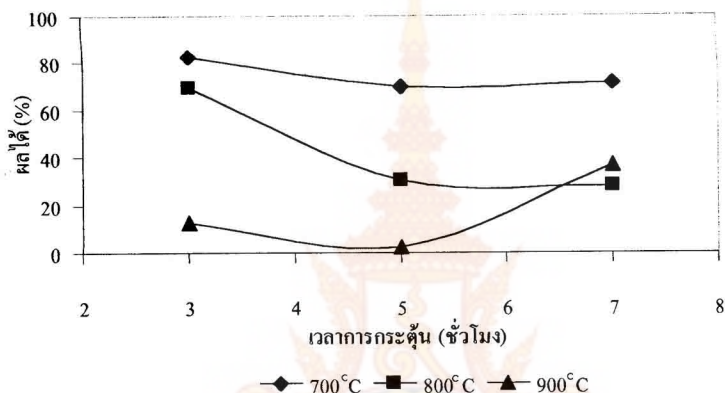
อุณหภูมิ ($^{\circ}\text{C}$)	U_{mf} (m/s)	U_t (m/s)
700	0.16	1.83
800	0.14	1.69
900	0.13	1.52

จากผลในตารางที่ 4.1 แสดงให้เห็นว่าความเร็วของไอ้น้ำที่ใช้ในการกระดุ้นอยู่ระหว่างความเร็วต่ำและความเร็วสูงสุดของการเกิดฟู่อิโคเซชัน จึงสามารถใช้ความเร็วของไอ้น้ำนี้ในการทดลองผลิตถ่านกันมันคได้ และทำให้เกิดปรากฏการณ์ฟู่อิโคเซชันภายในคอดัมบ์ด้วย

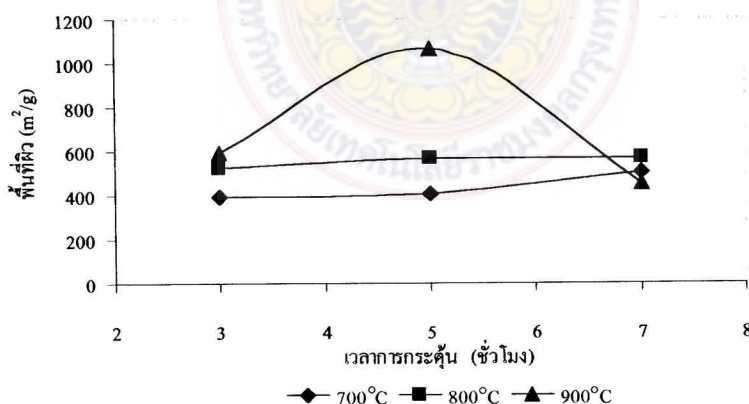
4.3 อิทธิพลของเวลาการกระดุ้นที่มีต่อผลได้ และพื้นที่ผิวของถ่านกัมมันต์

จากผลการทดลองผลิตถ่านกัมมันต์จากกาแกแฟโดยการกระดุ้นด้วยไอ้น้ำจะใช้ถ่านที่ картโนไนซ์ที่อุณหภูมิ 600°C เป็นเวลา 1 ชั่วโมง มีขนาด $971 \mu\text{m}$ และความเร็วของไอ้น้ำที่ใช้คือ 0.62 m/s ซึ่งความเร็วของไอ้น้ำที่ใช้จะอยู่ในช่วงของการเกิดฟู่อิโคเซชัน โดยที่อุณหภูมิกระดุ้นคือ 700 , 800 และ 900°C เป็นเวลา 3 , 5 และ 7 ชั่วโมง ผลการทดลองแสดงดังรูปที่ 4.3-4.4 พบว่าเมื่ออุณหภูมิเพิ่มขึ้น ผลได้ของถ่านกัมมันต์ที่ได้มีแนวโน้มลดลง ในทางกลับกันพื้นที่ผิวของถ่านกัมมันต์กลับมีแนวโน้มเพิ่มขึ้นที่เวลา 3 ชั่วโมง อุณหภูมิกระดุ้น 700°C ผลได้ของถ่านกัมมันต์เท่ากับ 82.57% และพื้นที่ผิวของถ่านกัมมันต์เท่ากับ $396 \text{ m}^2/\text{g}$ อุณหภูมิกระดุ้น 800°C ผลได้ของถ่านกัมมันต์เท่ากับ 69.65% และพื้นที่ผิวของถ่านกัมมันต์เท่ากับ $521 \text{ m}^2/\text{g}$ อุณหภูมิกระดุ้น 900°C ผลได้ของถ่านกัมมันต์เท่ากับ 12.30% และพื้นที่ผิวของถ่านกัมมันต์เท่ากับ $596 \text{ m}^2/\text{g}$ จะเห็นว่าการใช้อุณหภูมิที่สูงขึ้นมีผลลดปริมาณพื้นที่ผิวของถ่านกัมมันต์เนื่องจาก อุณหภูมิอาจไปทำลายพันธะ หรือไปลดสารระเหยที่มีในแกฟธรรมชาติออกระหว่างการกระดุ้นจึงทำให้ปริมาณพื้นที่ผิวสูงขึ้น สำหรับที่เวลา 5 ชั่วโมงอุณหภูมิกระดุ้น 700°C ผลได้ของถ่านกัมมันต์เท่ากับ 70.22% และพื้นที่ผิวของถ่านกัมมันต์เท่ากับ $405 \text{ m}^2/\text{g}$ อุณหภูมิกระดุ้น 800°C ผลได้ของถ่านกัมมันต์เท่ากับ 30.30% และพื้นที่ผิวของถ่านกัมมันต์เท่ากับ $566 \text{ m}^2/\text{g}$ อุณหภูมิกระดุ้น 900°C ผลได้ของถ่านกัมมันต์เท่ากับ 2.64% และพื้นที่ผิวของถ่านกัมมันต์เท่ากับ $1,067 \text{ m}^2/\text{g}$ จะเห็นว่า ผลที่ได้มีแนวโน้มเพิ่มเดียวกับที่เวลา 3 ชั่วโมง แต่สำหรับที่เวลา 7 ชั่วโมง อุณหภูมิกระดุ้น 700°C ผลได้ของถ่านกัมมันต์เท่ากับ 71.60% และพื้นที่ผิวของถ่านกัมมันต์เท่ากับ $505 \text{ m}^2/\text{g}$ อุณหภูมิกระดุ้น 800°C ผลได้ของถ่านกัมมันต์เท่ากับ 28.26% และพื้นที่ผิวของถ่านกัมมันต์เท่ากับ $570 \text{ m}^2/\text{g}$ ยกเว้นที่อุณหภูมิ

กระดุnn 900°C ผลได้ของถ่านกัมมันต์เท่ากับ 37.06% และพื้นที่ผิวของถ่านกัมมันต์เท่ากับ $451 \text{ m}^2/\text{g}$ จะเห็นว่าแนวโน้มของถ่านกัมมันต์ที่เวลา 7 ชั่วโมง อุณหภูมิ 900°C นั้นมีผลได้มากขึ้นและมีพื้นผิวลดลง เมื่อเทียบกับที่อุณหภูมิ 700 และ 800°C เนื่องจากอุณหภูมิที่ใช้ในการกระดุnn มีการระงับสูงกว่า 1000°C ทำให้อัตราการเกิดปฏิกิริยาจะถูกควบคุมด้วยความต้านทานการแพร่ (diffusion resistance controlled) ซึ่งอัตราของสารร่วนอนที่อยู่ชั้นนอกๆ จำนวนมากจะถูกเพลี่ไปใหม่ ทำให้ขนาดของอนุภาคเล็กลง และความพรุนน้อยลง [5]



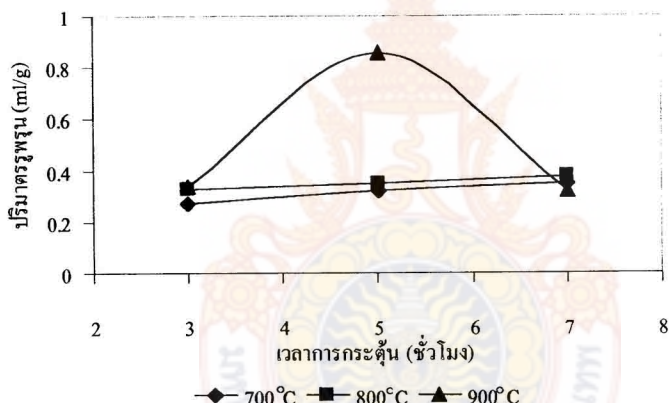
รูปที่ 4.3 อิทธิพลของเวลาการกระดุnn ที่มีต่อผลได้ของถ่านกัมมันต์ที่อุณหภูมิต่างๆ



รูปที่ 4.4 อิทธิพลของเวลาการกระดุnn ที่มีผลต่อพื้นที่ผิวของถ่านกัมมันต์ที่อุณหภูมิต่างๆ

4.4 อิทธิพลของเวลาการกระตุ้นที่มีต่อปริมาตรรูพ魯นของถ่านกัมมันต์

จากผลการทดลองผลิตถ่านกัมมันต์จากกาแกแฟโดยการกระตุ้นด้วยไอน้ำ ที่อุณหภูมิกระตุ้น 700, 800 และ 900°C เป็นเวลา 3, 5 และ 7 ชั่วโมง ผลการทดลองแสดงได้ดังรูปที่ 4.5 พบว่า เมื่ออุณหภูมิเพิ่มขึ้น ปริมาตรรูพ魯นของถ่านกัมมันต์มีแนวโน้มเพิ่มขึ้น เช่น ที่เวลา 3 ชั่วโมง อุณหภูมิกระตุ้น 700°C ปริมาตรรูพ魯นของถ่านกัมมันต์เท่ากับ 0.27 mL/g อุณหภูมิกระตุ้น 800°C ปริมาตรรูพ魯นของถ่านกัมมันต์เท่ากับ 0.33 mL/g อุณหภูมิกระตุ้น 900°C ปริมาตรรูพ魯นของถ่านกัมมันต์เท่ากับ 0.34 mL/g สำหรับเวลาที่ใช้ในการกระตุ้น 5 และ 7 ชั่วโมง จะได้แนวโน้มเช่นเดียวกับเวลาที่ใช้ในการกระตุ้น 3 ชั่วโมง ยกเว้นที่เวลา 7 ชั่วโมง อุณหภูมิ 900°C จะมีปริมาตรรูพ魯นลดลงเมื่อเทียบกับอุณหภูมิอื่นที่เวลาเดียวกันทั้งเป็นผลมาจากการสะสมของความร้อนในการกระตุ้นมากเกินไป เช่นเดียวกับที่พื้นที่คือ

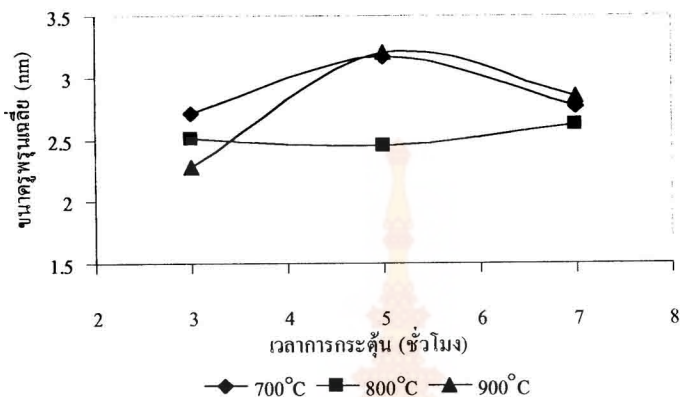


รูปที่ 4.5 อิทธิพลของเวลาการกระตุ้นที่มีต่อปริมาตรรูพ魯นของถ่านกัมมันต์ที่อุณหภูมิต่างๆ

4.5 อิทธิพลของเวลาการกระตุ้นที่มีต่อนาครูพ魯นเฉลี่ยของถ่านกัมมันต์

จากการทดลองผลิตถ่านกัมมันต์จากกาแกแฟโดยการกระตุ้นด้วยไอน้ำ ที่อุณหภูมิกระตุ้น 700, 800 และ 900°C เป็นเวลา 3, 5 และ 7 ชั่วโมง ผลการทดลองแสดงได้ดังรูปที่ 4.6 พบว่า ความสัมพันธ์ของนาครูพ魯นเฉลี่ยกับเวลาการกระตุ้นมีแนวโน้มที่ไม่ชัดเจน อย่างไรก็เดิมนาครูพ魯นโดยส่วนใหญ่แล้ว เป็นรูพ魯นขนาดกลาง (2-50 nm) [6] เช่น ที่เวลา 3 ชั่วโมง อุณหภูมิการกระตุ้น 700°C มีนาครูพ魯นเท่ากับ 2.71 nm อุณหภูมิการกระตุ้น 800°C มีนาครูพ魯น 2.51 nm อุณหภูมิการกระตุ้น 900°C มีนาครูพ魯น 2.28 nm สำหรับเวลาที่ใช้ในการกระตุ้น 5 และ 7 ชั่วโมง จะได้แนวโน้มเช่นเดียวกับเวลาที่ใช้ใน

การกระตุ้น 3 ชั่วโมง จากผลการกระตุ้นด้วยไอน้ำแล้วทำให้ถ่านกัมมันต์ที่ได้มีรูพ魯นขนาดกลางซึ่งสามารถบ่งบอกได้ว่าถ่านกัมมันต์ที่ได้จากการผลิตนี้สามารถนำไปคุณจับสารที่มีขนาดไม่เล็กไป远ได้



รูปที่ 4.6 อิทธิพลของเวลาการกระตุ้นที่มีต่อขนาดรูพ魯นเฉลี่ยของถ่านกัมมันต์ที่อุณหภูมิต่างๆ

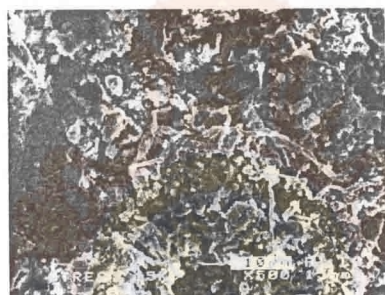
จากการทดลองผลิตถ่านกัมมันต์จากกาแฟโดยการกระตุ้นด้วยไอน้ำ ที่อุณหภูมิกระตุ้น 700, 800 และ 900°C เป็นเวลา 3, 5 และ 7 ชั่วโมง สรุปได้ว่า เมื่ออุณหภูมิกระตุ้นเพิ่มขึ้น ผลได้ของถ่านกัมมันต์มีแนวโน้มลดลง ในทางกลับกันพื้นที่ผิวกลับมีแนวโน้มเพิ่มขึ้น ปริมาตรรูพ魯นเพิ่มขึ้น ส่วนขนาดรูพ魯นนั้นมีแนวโน้มไม่ซัดเจน จากแนวโน้มที่ได้นี้ อาจเนื่องมาจากการกระตุ้นที่อุณหภูมิสูง จะทำให้มีการเปลี่ยนแปลงระหว่างการเผา กล่าวคือ สารที่อยู่ภายในรูพ魯นของถ่านกาแฟ เช่น น้ำ มันดิน ไอน้ำ อะคอมคาร์บอน เป็นต้น ซึ่งสารเหล่านี้สามารถหลุดออกໄไปได้ง่ายกว่าที่อุณหภูมิกระตุ้น ต่ำ ส่งผลให้มีซ่องว่างหรือรูพ魯นเกิดขึ้นภายในโครงสร้างของถ่านกัมมันต์มากกว่าที่อุณหภูมิกระตุ้นต่ำ ซึ่งมีผลทำให้ผลได้ของถ่านกัมมันต์ที่ได้ลดลง และเมื่อนำถ่านกัมมันต์ที่ผลิตได้มานวิเคราะห์พื้นที่ผิว พบว่า ถ่านกัมมันต์จากกาแฟที่ผลิตได้ที่อุณหภูมิสูงจะมีพื้นที่ผิวและปริมาตรรูพ魯นสูงขึ้น ยกเว้นถ่านกัมมันต์ที่ได้จากการกระตุ้นด้วยอุณหภูมิ 900°C ที่เวลา 7 ชั่วโมง กลับมีพื้นที่ผิว ปริมาตรรูพ魯นลดลง ซึ่งผลดังกล่าวเนื่องจากมีความสัมพันธ์กับผลได้ที่เกิดขึ้น คือผลได้ของถ่านกัมมันต์ที่สภาวะดังกล่าวก็สูงขึ้นทั้งนี้ เนื่องมาจากอุณหภูมิที่ใช้ในการกระตุ้นมีการสะสมสูงกว่า 1000°C ทำให้อัตราการเกิดปฏิกิริยาจะถูกควบคุมด้วยความต้านทานการแพร่ (diffusion resistance controlled) ซึ่งจะลดลงของควรบนที่อุณหภูมิออกา จันวนมากจะถูกดำเนินไว้ ทำให้เกิดการลดลงของอนุภาคเล็กลง และความพูนแน่นของ [5] สำหรับการเปลี่ยนแปลงขนาดรูพ魯นเฉลี่ยของถ่านกัมมันต์ที่ได้พบว่าเป็นขนาดรูพ魯นอยู่ในช่วงขนาดเมือง

จากรูปที่ 4.3-4.4 สรุปได้ว่าสภาวะที่เหมาะสมสำหรับการผลิตถ่านกัมมันต์จากกาแฟโดยใช้กระบวนการดักช์ไฮน์คือ ถ่านกัมมันต์ที่อุณหภูมิกระตุ้น 700°C เป็นเวลา 3 ชั่วโมง ผลได้ของถ่านกัมมันต์สูงสุดเท่ากับ 82.57% และถ้าพิจารณาในด้านพื้นที่ผิวของถ่านกัมมันต์ พบว่าถ่านกัมมันต์ที่อุณหภูมิกระตุ้น 900°C เป็นเวลา 5 ชั่วโมง พื้นที่ผิวของถ่านกัมมันต์สูงสุดเท่ากับ $1,067 \text{ m}^2/\text{g}$

4.6 การศึกษาโครงสร้างของกาแฟถ่าน และถ่านกัมมันต์โดยกล้องจุลทรรศน์อิเล็กตรอน

แบบส่องคราด (Scanning electron microscope, SEM)

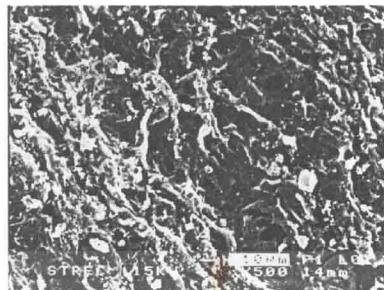
จากการศึกษาโครงสร้างรูปพรรณ โดยใช้กล้องจุลทรรศน์อิเล็กตรอนแบบส่องคราดของกาแฟถ่าน และถ่านกัมมันต์ ดังแสดงในรูป 4.7-4.8 โดยเดือกวิเคราะห์ถ่านกัมมันต์ที่ได้จากการกระตุ้นดักช์ ความเร็วของไอน้ำเท่ากับ 0.62 m/s อุณหภูมิ 900°C เวลา 5 ชั่วโมง ซึ่งเป็นถ่านกัมมันต์ที่พื้นที่ผิวสูงที่สุดคือ $1,067 \text{ m}^2/\text{g}$ เพื่อพิจารณาการเปลี่ยนทางโครงสร้างตั้งแต่กาแฟเมื่อผ่านขั้นตอนการคั่วในชั้น และการกระตุ้น



(ก) กาแฟ



(ข) ถ่านที่อุณหภูมิ 600°C เวลา 1 ชั่วโมง



(ค) ถ่านกัมมันต์ที่อุณหภูมิ 900°C เวลา 5 ชั่วโมง

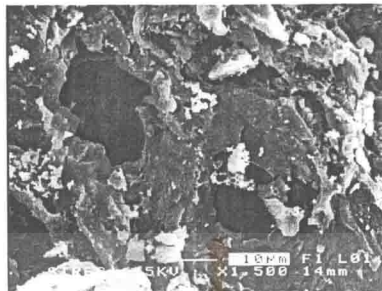
รูปที่ 4.7 โครงสร้างของกาแกแฟ ถ่าน และถ่านกัมมันต์ ที่กำลังขยาย 500 เท่า



(ก) กาแกแฟ



(ข) ถ่านที่อุณหภูมิ 600°C เวลา 1 ชั่วโมง



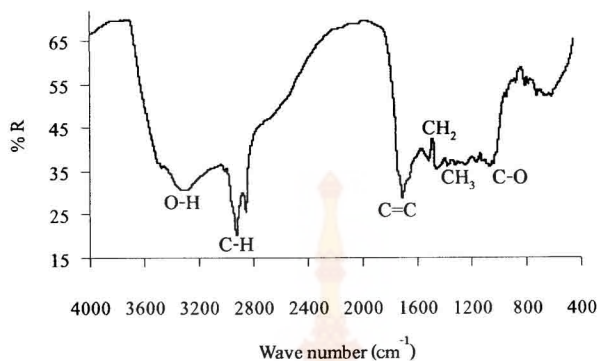
(ค) ถ่านกัมมันต์ที่อุณหภูมิ 900°C เวลา 5 ชั่วโมง

รูปที่ 4.8 โครงสร้างของกาแกแฟ ถ่าน และถ่านกัมมันต์ ที่กำลังขยาย 1,500 เท่า

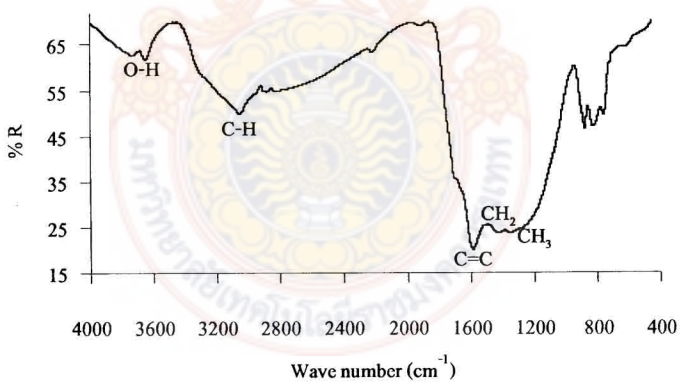
จากรูปที่ 4.7-4.8 พบว่า สภาพพื้นผิวของกาแกแฟจะมีโครงสร้างของรูพรุนน้อย กาแกแฟที่ผ่านการcarbonize สภาพพื้นผิวจะมีสารจำพวกน้ำมันดินมีกระบวนการพ่นที่คิว มีการเกิดรูพรุนเพิ่มขึ้นมากกว่าสภาพพื้นผิวของกาแกแฟ เมื่อผ่านการระคุน พบว่าสภาพพื้นผิวมีการเปลี่ยนแปลงมากมีความบรุษรุนมากขึ้น มีการหลดคลื่นของโครงสร้างมากขึ้นเนื่องจากสภาวะที่ซึ้งคงเหลืออยู่สลายไป เพราะอุณหภูมิสูงขึ้น และปฏิกิริยาของไอ้น้ำถ่านน้ำมันดินและอะตอนคาร์บอนบางอะตอนในหลักของถ่านหลุดออกไปทำให้โครงสร้างภาชนะมีรูพรุนมากขึ้นด้วย ดังนั้นจะเห็นได้ว่าอุณหภูมิ และเวลาที่ใช้ในการกระคุนนั้นมีผลต่อโครงสร้างของรูพรุนของถ่านกัมมันต์รวมถึงปริมาณการดูดซับที่มากขึ้นจากโครงสร้างของรูพรุนที่มากขึ้นด้วย

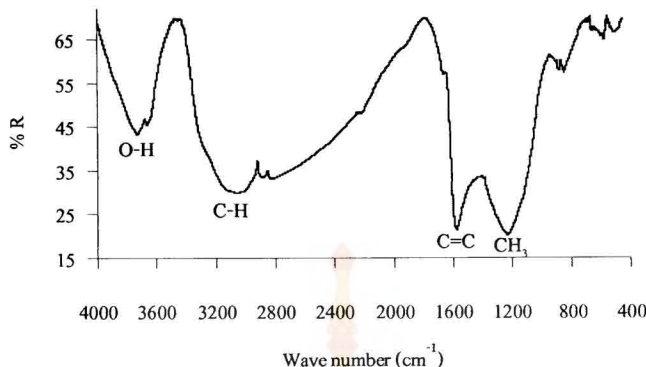
4.7 การวิเคราะห์หมู่หน้าที่ (functional groups) โดยเครื่องฟูเรียร์รานฟอร์ม อินฟราเรดสเปกโตรมิเตอร์ (Fourier transform infrared, FT-IR)

การวิเคราะห์หมู่หน้าที่ชนิดต่างๆ ของถ่านกัมมันต์ ในที่นี้เลือกศึกษาการเปลี่ยนแปลง หมู่หน้าที่โดยใช้ ฟูเรียร์รานฟอร์ม อินฟราเรดสเปกโตรมิเตอร์(Fourier Transform Infrared Spectrometer, FT-IR) ในกาแกแฟ ถ่าน และถ่านกัมมันต์ ที่ได้จากการกระคุนที่อุณหภูมิ 900°C เวลา 5 ชั่วโมง ผลที่ได้แสดงดังรูปที่ 4.9



(ນ) スペクトルของถั่วงอกแห้ง

(ມ) スペクトรัมของถั่วน้ำที่อุ่นหภูมิ 600°C เวลา 1 ชั่วโมง



(ค) สเปกตรัมของถ่านกัมมันต์ที่อุณหภูมิ 900°C เวลา 5 ชั่วโมง

รูปที่ 4.9 สเปกตรัมของกาแกฟ ถ่าน และถ่านกัมมันต์

การเปลี่ยนแปลงของหมู่หน้าที่ ผลกาแกฟใหม่ของถ่านการคราร์บอนไนซ์ และการกระดุ้น สามารถอธิบายได้ จากการส่องผ่านของรังสีอินฟราเรด โดยเครื่อง FT-IR จากรูปที่ 4.9 สามารถวิเคราะห์หมู่หน้าที่ของกาแกฟ ถ่าน และถ่านกัมมันต์ พนว่าปรากฎหมู่หน้าที่ต่างๆ ดังนี้

ตารางที่ 4.2 หมู่หน้าที่ (Functional groups) บนผิวภาคกาแฟ ถ่าน และถ่านกัมมันต์ที่สภาวะการกระดุนค่าๆ

ตัวอักษร	อุณหภูมิ ($^{\circ}\text{C}$)	เวลาการกระดุน (hr)	หมู่หน้าที่ (Functional groups)					
			O-H	C-H	C=C	C-H	C-H	C-O
			Phenol	alkane	aromatic	CH_2- methylene groups	CH_3- methyl groups	alcohol
1	ภาคกาแฟ		✓	✓	✓	✓	✓	✓
2	600	1	✓	✓	✓	✓	✓	-
3		3	✓	✓	✓	✓	✓	-
4	700	5	✓	✓	✓	✓	✓	-
5		7	✓	✓	✓	-	✓	-
6		3	✓	✓	✓	✓	✓	-
7	800	5	✓	✓	✓	-	✓	-
8		7	✓	✓	✓	-	✓	-
9		3	✓	✓	✓	✓	✓	-
10	900	5	✓	✓	✓	-	✓	-
11		7	✓	✓	✓	✓	✓	-

จากตารางที่ 4.2 พบว่า โดยปกติแล้วภาคกาแฟจะพบหมู่หน้าที่ค่อนข้างมาก หลังจากน้ำไปครึ่งในไขerezza จะมีหมู่หน้าที่ บางหมู่หายไป หรือถูกทำลายไป ได้แก่ แอลกอฮอล์ (C-O) ส่วนที่เหลืออยู่ได้แก่ ฟีโนล (O-H), แอลกอเคน (C-H), อะโรมาติก (C=C), Methylene groups (CH_2) และ Methyl groups (CH_3) ส่วนที่ถูกทำลายนั้นเนื่องจากความร้อนที่ภาคกาแฟได้รับจึงทำให้พันธะที่ไม่แข็งแรงหายไปได้

เมื่อมามีการเผาหลังจากน้ำถ่านภาคกาแฟที่ได้ไปกระดุนด้วยไอน้ำที่สภาวะค่าๆ แล้ว พบว่า เกิดปฏิกิริยาระหว่างไอน้ำกับคาร์บอน สารระเหย และน้ำมันดินที่เหลืออยู่ในโครงสร้าง ปฏิกิริยาเหล่านี้จะไปทำลายพันธะที่เป็นสาขาวงโครงสร้างที่ไม่แข็งแรงขององค์ประกอบของถ่านภาคกาแฟ ทำให้ได้ถ่านกัมมันต์ที่มีการเปลี่ยนแปลงหมู่หน้าที่ลดลงคือ Methylene groups (CH_2) หรืออีกสาเหตุหนึ่งของการลดลงของหมู่หน้าที่ในถ่านกัมมันต์ คือ เนื่องจากความร้อนที่มีการสะสมเป็นเวลานานภายใต้ความกดดันสูงที่กระตุ้นให้เกิดการแตกหักของโครงสร้าง เช่น หัวเขียว หัวเขียว เป็นต้น ซึ่งจะส่งผลให้เพิ่มขึ้น แสดงว่าการสะสมของความร้อนภายในเดาปฏิกิริยาระดับต่ำๆ ไม่สามารถลดลงได้ แต่เมื่อถูกเผา ความร้อนจะส่งผลต่อการทำลายพันธะและโครงสร้างของ

ถ่านกัมมันต์ด้วยจึงทำให้มีหมู่ Methylene groups (CH_2) ควรจะหายไปในสภาวะนี้น่องจากมีความร้อนสูง และใช้เวลานานมากที่สุด แต่กลับมีหมู่ Methylene groups (CH_2) นี้ปรากฏขึ้นมาอีกครั้งหลังจากหายไป ในสภาวะก่อนหน้านี้ ดังนั้นจะเห็นได้ว่า นอกจากปฏิกริยาของคาร์บอนกันน้ำที่เกิดแล้วทำให้พันธะหายไปแล้ว ยังมีผลของอุณหภูมิกายในเดาปฏิกริย์ด้วย



บทที่ 5

สรุปผลการวิจัยและข้อเสนอแนะ

จากการทดลองผลิตถ่านกัมมันต์จากกาแฟໄโคดิวิชีฟลูอิคเรชันด้วยไฮอน้า โดยการแปรผันตัวแปรในการผลิตอันได้แก่ อุณหภูมิcarboใบในรีซ เวลาcarboใบในรีซ อุณหภูมิกระตุ้น และเวลากระตุ้น ตัวอย่างที่ได้ทุกสภาวะถูกนำไปวิเคราะห์สมบัติพื้นฐาน เช่น พลได้ และพื้นที่ผิว นอกจากนี้ยังนำไปวิเคราะห์สมบัติทางเคมีบนพื้นที่ผิวของตัวอย่าง ซึ่งสามารถสรุปผลการทดลองได้ดังนี้

5.1 ผลของอุณหภูมิและเวลา carboใบในรีซที่มีต่อผลไได้ และพื้นที่ผิวถ่านกาแฟ

จากการทดลองในขั้นตอนการนำกาแฟมา carbo ใบในรีซจากนั้นนำวิเคราะห์ผลได้และพื้นที่ผิว พบว่าถ่านกาแฟที่อุณหภูมิcarbo ใบในรีซ 600°C เป็นเวลา 1 ชั่วโมง ซึ่งมีผลได้เท่ากับ 24.65% ให้ค่าพื้นที่ผิวสูงสุดเท่ากับ $143 \text{ m}^2/\text{g}$ และสภาวะนี้เป็นสภาวะที่เหมาะสมสำหรับนำไปประดุณเพื่อเป็นถ่านกัมมันต์ต่อไป

5.2 ผลของอุณหภูมิและเวลากระตุ้นที่มีต่อผลไได้ และพื้นที่ผิวของถ่านกัมมันต์

จากการทดลองการผลิตถ่านกัมมันต์จากนั้นนำวิเคราะห์ผลได้และพื้นที่ผิว พบว่าถ่านกัมมันต์ที่อุณหภูมิกระตุ้น 700°C เป็นเวลา 3 ชั่วโมง จะให้ค่าเบอร์เชินต์ผลผลิตของถ่านกัมมันต์สูงสุดเท่ากับ 82.57% และถ่านกัมมันต์ที่อุณหภูมิกระตุ้น 900°C เป็นเวลา 5 ชั่วโมง จะให้ค่าพื้นที่ผิวสูงสุดเท่ากับ $1,067 \text{ m}^2/\text{g}$ ทั้งนี้ เนื่องมาจากกระบวนการกระตุ้นที่อุณหภูมิสูงจะทำให้มีการเปลี่ยนแปลงระหว่างการเผา กล่าวคือ สารที่อยู่ภายในรูพุธุนของถ่านกาแฟ เช่น น้ำมันคิน ไฮอน้า ลิกนิน และเซลลูโลส สามารถหลุดออกໄไปได้มากกว่าที่อุณหภูมิกระตุ้นต่ำ ส่งผลให้มีช่องว่างหรือรูพุธุนเกิดขึ้นภายในโครงสร้างของถ่านกัมมันต์ มากกว่าที่อุณหภูมิกระตุ้นต่ำ แต่ผลให้มีช่องว่างหรือรูพุธุนเกิดขึ้นภายในโครงสร้างของถ่านกัมมันต์ มากกว่าที่อุณหภูมิกระตุ้นต่ำดังนั้นจะเห็นได้ว่าเมื่อเวลาและอุณหภูมิเพิ่มขึ้นพื้นที่ผิวจะมีแนวโน้มเพิ่มขึ้น แต่ผลได้มีแนวโน้มลดลง

5.3 ผลการวิเคราะห์หมู่หน้าที่บนผิวถ่านกัมมันต์

ถ่านกัมมันต์ที่ผลิตได้ทุกสภาวะถูกนำไปวิเคราะห์หมู่หน้าที่บนผิวโดยใช้ ฟูเรียร์กรานฟอร์ม อินฟารेच スペกตรัมมิเตอร์ (Fourier Transform Infrared Spectrometer, FT-IR) พบว่าหลังจากนำกาแฟไป carbo ใบในรีซแล้วจะมีหมู่หน้าที่หายไป ได้แก่ ออกซิเจน (O-H), ออกไซด์ (C-O) ที่เหลืออยู่ได้แก่ พีนอล (O-H), อะลีเคน (C-H), อะโรมาติก (C=C), Methylene groups (CH_2) และMethyl groups (CH_3) และหลังจากนำไปถ่านกาแฟไปประดุณด้วยไฮอน้า พบว่ามีหมู่หน้าที่ที่ลดลงคือ Methylene groups (CH_2) ทำให้

เหลือหมู่หน้าที่ในถ่านกัมมันต์ คือ พื้นออด (O-H), ออกเคน (C-H), อะ โรมานาดิก (C=C), Methylene groups (CH_2) ทั้งนี้เนื่องจากเกิดปฏิกิริยาระหว่าง ไอ้น้ำกับการบูรน์อน สารระเหย และน้ำมันดินที่เหลืออยู่ในโครงสร้าง ปฏิกิริยาเหล่านี้จะไปทำลายพันธะที่เป็นสาขากอง โครงสร้างที่ไม่แข็งแรงขององค์ประกอบ กากกาแฟและถ่านกากกาแฟจึงทำให้หมู่หน้าที่ดังกล่าวลดลง และอีกด้านหนึ่งคือการสะสมของความร้อนไปทำลายพันธะที่ไม่แข็งแรงภายในโครงสร้างของกากกาแฟและถ่านกากกาแฟ

5.4 ข้อเสนอแนะ

5.4.1 ควรมีการศึกษาอย่างละเอียดว่าการผลิตถ่านกัมมันต์จากกากกาแฟโดยใช้วิธีนี้ให้ผลคุณค่า หรือไม่

5.4.2 ศ้นหาแหล่งวัสดุดินที่ใช้ในการผลิตถ่านกัมมันต์เพิ่มเติม

5.4.3 ควรมีการศึกษาเปรียบเทียบประสิทธิภาพการดูดซับระหว่างถ่านกัมมันต์จากกากกาแฟกับ ถ่านกัมมันต์ที่ใช้ในกระบวนการอุดสานกรรม

เอกสารอ้างอิง

1. บรรจง นวลพลัง, 2530, กาแฟเพื่อเศรษฐกิจระหว่างประเทศ, สำนักพิมพ์ฐานเกษตรกรรม, สำนิตตรอฟเฟช, หน้า 8-10.
2. "ไฮชน์ที ไชยยัช", 2542, การพัฒนาออกแบบเม็ดคุณภาพชั้นเรียนวิถีผลิตจากกาแฟ, วิชานิพนธ์ปริญญาวิศวกรรมศาสตร์มหาบัณฑิต สาขาวิศวกรรมเคมี คณะวิศวกรรมศาสตร์ มหาวิทยาลัยเทคโนโลยีพระจอมเกล้าธนบุรี.
3. เปญญาดา กระจางดา, ปรีชา ตุ่นตา และอีมนพร ของดี, 2545, การคุณภาพโรงเมี่ยมด้วยถ่านกั้มมันคีโนฟลูอิดเชชั่น, วิชานิพนธ์ปริญญาวิศวกรรมศาสตร์บัณฑิต สาขาวิศวกรรมเคมี คณะวิศวกรรมศาสตร์ มหาวิทยาลัยเทคโนโลยีพระจอมเกล้าธนบุรี.
4. พลภูร์ โสภณากิจโศส, 2544, การผลิตถ่านกั้มมันต์จากกลามพาราเวเพื่อใช้คุณภาพโรงเมี่ยม (IV), วิชานิพนธ์ปริญญาวิศวกรรมศาสตร์มหาบัณฑิต สาขาวิศวกรรมเคมี คณะวิศวกรรมศาสตร์ มหาวิทยาลัยเทคโนโลยีพระจอมเกล้าธนบุรี.
5. วีระพงษ์ กริชพิพัฒ และสุกัญญา ศรีสถาพร, 2532, การผลิตถ่านกั้มมันต์จากกลามพาราเวด้วยไอน้ำโดยฟลูอิดเชชั่น, วิชานิพนธ์ปริญญาวิศวกรรมศาสตร์บัณฑิต สาขาวิศวกรรมเคมี คณะวิศวกรรมศาสตร์ มหาวิทยาลัยเทคโนโลยีพระจอมเกล้าธนบุรี.
6. คณิต ภูมินะกิจ, นัชรัชย คงเศษอุ่นกุล และภูมิภูน มงคลช์ธิตาปี, 2540, การคุณภาพโรงหันก็โดยใช้ถ่านกั้มมันต์จากกาแฟเมล็ดกาแฟ, วิชานิพนธ์ปริญญาวิศวกรรมศาสตร์มหาบัณฑิต สาขาวิศวกรรมเคมี คณะวิศวกรรมศาสตร์ มหาวิทยาลัยเทคโนโลยีพระจอมเกล้าธนบุรี.
7. นิชชรี นิลนันท์, 2540, การผลิตถ่านกั้มมันต์จากไอน้ำโดยการด้วยไอน้ำร้อนยิ่งจรวดและสาร์อนไดออกไซด์, วิชานิพนธ์ปริญญาวิศวกรรมศาสตร์มหาบัณฑิต สาขาวิศวกรรมเคมี คณะวิศวกรรมศาสตร์ จุฬาลงกรณ์มหาวิทยาลัย.
8. เจริม ชาวนปี, 2545, การปรับปรุงพื้นที่ผิวทางเคมีของถ่านกั้มมันต์โดยการออกซิเดชันเพื่อศึกษาความสามารถในการคุณภาพของถ่านสีข้อม และโรงหันก็โดยเมี่ยม, วิชานิพนธ์ปริญญาวิศวกรรมศาสตร์มหาบัณฑิต สาขาวิชาเทคโนโลยีพระจอมเกล้าธนบุรี.
9. กฤติกา จาฤทธิ์ และวรรณนิภา อนมาตรฐาน, 2540, การผลิตถ่านกั้มมันต์จากกลามป่าลีมโดยกระบวนการแยกตัวด้วยความร้อนและกระตุ้นด้วยไอน้ำ, วิชานิพนธ์ปริญญาสาขาวิชาศาสตร์บัณฑิต สาขาวิชาเคมีเทคนิค คณะวิชาศาสตร์ จุฬาลงกรณ์มหาวิทยาลัย.

10. จักริน นิธิจันทร์, 2537, การผลิตถ่านกัมมันต์ระดับขยายส่วนจากพืชโดยการรับอุ่นเชิงและกระบวนการตีบุบเบล วิทยานิพนธ์ปริญญาวิทยาศาสตร์มหาบัณฑิต สาขาวิศวกรรมศาสตร์ คณะวิทยาศาสตร์ จุฬาลงกรณ์มหาวิทยาลัย.
11. นารา จันทร์เทียน, วัชรศักดิ์ ฤกษ์ชุมทรัพย์ และวิทยา เจนจรัสโซชี, 2534, การศึกษาความน่าจะเป็นในการนำอาลาโนดามาทำเป็นถ่านกัมมันต์, กรุงเทพฯ จุฬาลงกรณ์มหาวิทยาลัย.
12. รัตติกร อิสระเสนีย์, 2539, การผลิตถ่านกัมมันต์จากยางรถอย่างไรให้ได้สีเข้ม วิทยานิพนธ์ปริญญาวิทยาศาสตร์มหาบัณฑิต สาขาวิศวกรรมศาสตร์ คณะวิทยาศาสตร์ จุฬาลงกรณ์มหาวิทยาลัย.
13. วรรุพัติ ประชาศิริ, 2541, การผลิตถ่านกัมมันต์จากกล้าปาล์มน้ำมันโดยการกระตุนด้วยพลังงานไมโครเวฟ วิทยานิพนธ์ปริญญาวิทยาศาสตร์มหาบัณฑิต สาขาวิศวกรรมศาสตร์ คณะวิทยาศาสตร์ จุฬาลงกรณ์มหาวิทยาลัย.
14. ศุภสิทธิ์ กิตติชัย และอรอนุช ขาวเมืองน้อย, 2538, การผลิตถ่านกัมมันต์จากกล้าปาล์มน้ำมันโดยกระบวนการกระตุนด้วยไอน้ำร้อนยิ่งขึ้นในเบดนิ่ง วิทยานิพนธ์ปริญญาวิทยาศาสตร์มหาบัณฑิต สาขาวิศวกรรมศาสตร์ คณะวิทยาศาสตร์ จุฬาลงกรณ์มหาวิทยาลัย.
15. ศุรangs รุกขอนันต์กุล และอภิสิทธิ์ บริหารรัตนเดช, 2537, การผลิตถ่านกัมมันต์จากกล้าปาล์มน้ำมันโดยวิธีการกระตุนด้วยไอน้ำอิ่มตัวยิ่งขึ้นในฟลูอิಡเบด, วิทยานิพนธ์ปริญญาวิทยาศาสตร์มหาบัณฑิต สาขาวิศวกรรมศาสตร์ คณะวิทยาศาสตร์ จุฬาลงกรณ์มหาวิทยาลัย.
16. สมใจ ชخرชัยพันธุ์รุ่ง, 2545, การศึกษาการผลิตถ่านกัมมันต์จากกลอน วารสารเพื่อการเผยแพร่องค์ความรู้ทางวิชาการ งานค้านวัตกรรมศาสตร์และเทคโนโลยี ปีที่ 29, ฉบับที่ 2, หน้า 1.
17. อุไรวรรณ ธรรมรัตนคุณ, 2523, การทำถ่านกัมมันต์จากกล้ามแพรวาโดยการกระตุนด้วยไอน้ำ งานวิจัยเพื่อบริการอุดสาหรรม กองวิจัย กระทรวงวิทยาศาสตร์เทคโนโลยีและสังคมศึกษา.
18. J.E.Atwater, J.R.Akse and T.-C. Wang, 2001, "Preparation of silicon-carbide-coated activated carbon using a high-temperature fluidized bed reactor", *Journal of Chemical Engineering Science*, [Electronic], Vol. 56, No. 8, pp. 2685-2693, Available : Science Direct [2006, January 15].
19. Juan F. Gonzalez, Jose M. Encinar and Canmen M. Gonzalez-Garcia, 2005, "Preparation of activated carbon from used tyres by gasification with steam and carbon dioxide", *Journal of applied surface science*, [Electronic], Available : Science Direct [2006, January 15].
20. Martin-Gullon, M. Asensio R. Font and A. Marcilla, 1999, "Steam-activated carbon from a bituminous coal in a continuous multistage fluidized bed pilot plant", *Journal of carbon*, [Electronic], Vol. 34, No. 12., pp. 1515-1520, Available : Science Direct [2006, January 15].

21. เกศิณี สวนโภ, กัธรนันท์ ชัยชนะ และวสันต์ พาราพิทย์เจริญ, 2546, การพัฒนาสารคุณความชื่นสัมเคราะห์ด้วยวิธีโซล-เจล, วิศวกรรมเคมี คณะวิศวกรรมศาสตร์ มหาวิทยาลัยเทคโนโลยีพระจอมเกล้าธนบุรี.
22. ประวิท ตันจนาวิน, 2540, เอกสารประกอบคำสอน 09-320-286 เกมีเคตะฉิตต์, แผนกเอกสารการพิมพ์, หน้า 33-34.
23. วีระศักดิ์ อุดมกิจเดชา แล้วคณะ, 2543, “เครื่องมือวิจัยทางวิทยาศาสตร์: ทฤษฎีและหลักการทำงานเบื้องต้น”, โรงพิมพ์แห่งจุฬาลงกรณ์มหาวิทยาลัย, หน้า 289-305.
24. แม้น อมรสิทธิ์, ออมร เพชรสุม, 2539, หลักการและเทคนิคการวิเคราะห์เชิงเครื่องมือ, ชวนพิมพ์, หน้า 108-136.

ภาคผนวก



ภาคผนวก ก.

ตัวอย่างการคำนวณ

งานวิจัยนี้ได้ใช้หลักการฟลูอิคเซชันไอน้ำในการผลิตถ่านกัมมันต์ ดังนั้น จำเป็นต้องทราบความเร็วต่ำสุด ความเร็วสูงสุด และความเร็วของไอน้ำที่ใช้ในการทดลอง ซึ่งได้กล่าวถึงวิธีการคำนวณไว้ในบทนี้

ก.1 การคำนวณความหนาแน่นของถ่าน

$$\rho_p = \frac{A}{10 - B} \quad (ก.1)$$

เมื่อ ρ_p คือ ความหนาแน่นของถ่าน (kg/m^3)
 A คือ น้ำหนักถ่าน (g)
 B คือ ปริมาตรที่ใช้ไปของเชปปเทน (mL)

ตัวอย่างการคำนวณความหนาแน่นของถ่าน

ในที่นี้จะยกตัวอย่างการคำนวณของถ่านที่อุณหภูมิ 600°C ใช้ โน้ม เนื่องจากสภาพนี้นำไปใช้เป็นวัตถุศึกษาในการกระตุ้นเป็นถ่านกัมมันต์

โดยที่	น้ำหนักถ่าน = 3.10 g
	ปริมาตรที่ใช้ไปของเชปปเทน = 5.35 mL
ดังนั้น	ความหนาแน่น平均 = 0.67 g/mL $= 0.67 \times 10^3 \text{ kg/m}^3$

ก.2 การคำนวณความหนาแน่น平均

$$\rho_b = \frac{A}{C} \quad (ก.2)$$

เมื่อ ρ_b คือ ความหนาแน่น平均 (kg/m^3)
 A คือ น้ำหนักถ่าน (g)
 C คือ ปริมาตรของระบบอุดตัว (mL)

ตัวอย่างการคำนวณความหนาแน่นปรากฏ

ในที่นี้จะยกตัวอย่างการคำนวณของถ่านที่อุณหภูมิ 600°C 1 ชั่วโมง เนื่องจากสภาวะนี้นำไปใช้เป็นวัสดุคินในการกระตุ้นเป็นถ่านกัมมันต์

$$\text{โดยที่ } \text{น้ำหนักถ่าน} = 3.10 \text{ g}$$

$$\text{ปริมาตรกระบอกตวง} = 10 \text{ mL}$$

$$\text{ดังนั้น } \text{ความหนาแน่นปรากฏ} = 0.31 \text{ g/mL}$$

$$= 0.31 \times 10^3 \text{ kg/m}^3$$

ก. 3 การหาขนาดอนุภาคเฉลี่ยเทียบกับน้ำหนัก

$$\overline{D}_w = \sum_{i=1}^n \overline{D}_{pi} X_i \quad (\text{k.3})$$

เมื่อ \overline{D}_w คือ เส้นผ่านศูนย์กลางเฉลี่ยเทียบกับน้ำหนัก

\overline{D}_{pi} คือ เส้นผ่านศูนย์กลางเฉลี่ยของอนุภาค

X_i คือ สัดส่วนมวล

ตัวอย่างการคำนวณหาขนาดเฉลี่ยเทียบกับน้ำหนัก

ในที่นี้คำนวณเฉพาะถ่านที่อุณหภูมิ 600°C 1 ชั่วโมง เนื่องจากสภาวะนี้นำไปใช้เป็นวัสดุคินในการกระตุ้นเป็นถ่านกัมมันต์

$$\text{โดยที่ } \sum \overline{D}_{pi} X_i = 6.068 + 555.95 + 386.47 + 12.08 + 9.17 + 1.99 + 1.92 \\ = 971 \mu\text{m}$$

ก.4 การคำนวณความเร็วต่ำสุด

จากสมการของเออร์กัน (Ergun) สำหรับอนุภาคของแข็งขนาดเล็ก ($D_p < 0.5 \text{ mm}$) สามารถใช้ความเร็วของไอลเพียงเล็กน้อยก็ทำให้เกิดเป็นฟลูอิడซึ่งเบคได้แล้ว ดังนั้นสมการที่ใช้คือ

$$U_{mf} = \frac{(\Phi_s D_p)^2 (\rho_p - \rho_g) e_{mf}^3 g}{150(1 - e_{mf}) \mu} \quad (\text{k.4})$$

$$\text{โดยที่ } U_{mf} \text{ คือ ความเร็วต่ำสุดในการเกิดฟลูอิడซ์}$$

Φ_s คือ ค่าความกลมของอนุภาค

D_p คือ ขนาดอนุภาคเฉลี่ย

e_{mf} คือ สัดส่วนของว่างของเบคที่ความเร็วต่ำสุดในการฟลูอิಡซ์

μ คือ ความหนืดแก๊ส

ρ_g คือ ความหนาแน่นแก๊ส

ρ_p คือ ความหนาแน่นของอนุภาค

g คือ ค่าคงที่ความโน้มถ่วง (Gravitational Constant)

ตัวอย่างการคำนวณความเร็วต่ำสุดในการเกิดไฟลูมิไชซ์

ในที่นี่จะยกตัวอย่างการคำนวณความเร็วต่ำสุดของถ่านกัมมันต์ที่ต้องผลิตด้วยสภาวะอุณหภูมิ 700°C เวลา 3 ชั่วโมง

โดยที่ ปริมาณถ่านกาแกฟที่บรรจุ ; W	= 50 g
พื้นที่หน้าตัดของหอกระดับ ; A	= πr^2
เส้นผ่าศูนย์กลาง	= $4.3 \times 10^{-2} \text{ m}$
ตั้งน้ำ ; A	= $1.45 \times 10^{-2} \text{ m}^2$
อุณหภูมิที่ใช้กระดับ	= 700°C
ความหนาแน่นของอนุภาค ; ρ_p	= $0.67 \times 10^3 \text{ kg/m}^3$
ขนาดอนุภาคเฉลี่ย ; D_p	= $971 \mu\text{m}$
ความหนาแน่นปูราก幽ของอนุภาค ; ρ_b	= $0.31 \times 10^3 \text{ kg/m}^3$
สัดส่วนของว่างขณะเริ่มต้น ; e_{mf}	= $1 - (\rho_b / \rho_p)$
	= $1 - (0.31 / 0.67)$
	= 0.54

จากกราฟความสัมพันธ์ระหว่างสัดส่วนของถ่านค่าความกลม (Sphericity ; Φ_s) ในกรณีการบรรจุแบบปกติ (Normal packing) ได้

$$\Phi_s = 0.63$$

$$\text{ความหนาแน่นของไอ้น้ำ ; } \rho_g = \frac{P(\text{Mw})T_o}{P_o V_o T}$$

โดยที่ P คือ ความดันไอ้น้ำที่ทำการทดลอง (1 atm)

P_o คือ ความดันไอ้น้ำที่สภาวะมาตรฐาน (1 atm)

Mw คือ มวลโมเลกุลของไอ้น้ำ (18 g)

T คือ อุณหภูมิที่ทำการทดลอง (973 K)

T_o คือ อุณหภูมิที่สภาวะมาตรฐาน (273 K)

V_o คือ ปริมาตรของไอ้น้ำที่สภาวะมาตรฐาน (22.4 L)

แทนค่า

$$\rho_g = \frac{18 \times 273}{22.4 \times 973}$$

$$\rho_g = 0.23 \text{ kg/m}^3$$

ความหนืดของไอน้ำได้จากการเป็นกราฟที่อุณหภูมิ 700 °C

$$\text{ความหนืดของไอน้ำ; } \mu = 3.5 \times 10^{-5} \text{ kg/ms}$$

แทนค่า

$$U_{mf} = \frac{(0.63 \times 971 \times 10^{-6})^2 \times (0.67 \times 10^3 - 0.23) \times (0.54)^3 \times (9.81)}{150 \times (3.5 \times 10^{-5}) \times (1 - 0.54)}$$

$$U_{mf} = 0.16 \text{ m/s}$$

จากสมการเออร์กัน (Ergun) ที่แนะนำสามารถทราบค่าความเร็วต่ำสุด (U_{mf}) จากนั้นทำการตรวจสอบค่าเรย์โนลต์ นัมเบอร์ (Reynolds number, Re) เนื่องอนุภาคเป็นขนาดเล็กดังนี้ $Re < 20$

$$Re = \frac{D_p \rho_g U_{mf}}{\mu} \quad (ก.5)$$

โดยที่ D_p คือ ขนาดอนุภาคเฉลี่ย (971 μm)

ρ_g คือ ความหนาแน่นแก๊ส (0.23 kg/m³)

U_{mf} คือ ความเร็วต่ำสุดในการเกิดฟูอิไคซ์ (0.16 m/s)

μ คือ ความหนืดแก๊ส (3.5×10^{-5} kg/ms)

แทนค่า

$$Re = \frac{(971 \times 10^{-6}) \times 0.23 \times 0.16}{3.5 \times 10^{-5}}$$

$$Re = 1.02 < 20$$

จากการตรวจสอบค่าเรย์โนลต์ นัมเบอร์ (Reynolds number) พบว่าเป็นไปตามเงื่อนไขซึ่งสามารถใช้ค่าความเร็วต่ำสุดนี้ในการทดลองได้

ก.5 การคำนวณความเร็วต่ำสุดท้าย

สำหรับอนุภาคขนาดเล็กสามารถลดคำนวณหาความเร็วสูงสุด ให้จากสมการที่ 2.13 ในบทที่ 2 ดังนี้

$$U_t = \frac{g(\rho_p - \rho_g) D_p^2}{18\mu} \quad Re < 0.4 \quad (D_p < 0.2 \text{ m}) \quad (ก.6)$$

โดยที่ U_t คือ ความเร็วต่ำสุดท้ายในการเกิดฟูอิไคซ์

ρ_g คือ ความหนาแน่นแก๊ส

ρ_p คือ ความหนาแน่นของอนุภาค

g คือ ค่าคงที่ความโน้มถ่วง (Gravitational Constant)

D_p คือ ขนาดอนุภาคเฉลี่ย

μ คือ ความหนืดแก๊ส

ตัวอย่างการคำนวณความเร็วต่ำสุดในการเกิดฟลูอิคซ์

ในที่นี้จะยกตัวอย่างการคำนวณความเร็วสูงสุดของถ่านกัมมันต์ที่ต้องผลิตด้วยสภาวะอุณหภูมิ 700°C เวลา 3 ชั่วโมง

โดยที่

ρ_g คือ ความหนาแน่นแก๊ส (0.23 kg/m^3)

ρ_p คือ ความหนาแน่นจริงของอนุภาค ($0.67 \times 10^3 \text{ kg/m}^3$)

g คือ ค่าคงที่ความโน้มถ่วง (9.81 kg/ms^2)

D_p คือ ขนาดอนุภาคเฉลี่ย ($971 \mu\text{m}$)

μ คือ ความหนืดแก๊ส ($3.5 \times 10^{-5} \text{ kg/ms}$)

แทนค่า

$$U_t = \frac{9.81 \times ((0.67 \times 10^3) - 0.23) \times (971 \times 10^{-6})^2}{18 \times (3.5 \times 10^{-5})}$$

$$U_t = 9.85 \text{ m/s}$$

จากนั้น ทำการตรวจสอบค่าเรย์โนลด์ส์ นัมเบอร์ (Reynolds number, Re) เนื่องอนุภาคเป็นขนาดเล็กดังนี้

$Re < 0.4$

$$Re = \frac{D_p \rho_g U_t}{\mu}$$

โดยที่

D_p คือ ขนาดอนุภาคเฉลี่ย ($971 \mu\text{m}$)

ρ_g คือ ความหนาแน่นแก๊ส (0.23 kg/m^3)

U_t คือ ความเร็วต่ำสุดในการเกิดฟลูอิคซ์ (9.85 m/s)

μ คือ ความหนืดแก๊ส ($3.5 \times 10^{-5} \text{ kg/ms}$)

แทนค่า

$$Re = \frac{(971 \times 10^{-6}) \times 0.23 \times 9.85}{3.5 \times 10^{-5}}$$

$$Re = 61.57 > 0.4 \text{ ค่า } U_t \text{ จึงใช้ไม่ได้}$$

จากการตรวจสอบค่าเรย์โนลต์ นัมเบอร์ (Reynolds number) พบว่าไม่เป็นไปตามเงื่อนไขจึงใช้สมการที่ 2.11 ซึ่งมีค่าคงที่ เรียกว่า Drag coefficient มาเกี่ยวกับข้อด้วง และสามารถหาได้จากการนำค่าเรย์โนลต์ นัมเบอร์ (Reynolds number ; Re) ไปปีกกราฟ ($C_d = 6.59$)

$$U_t = \left[\frac{4gD_p(\rho_p - \rho_g)}{3\rho_g C_d} \right]^{0.5} \quad (ก.7)$$

โดยที่ C_d คือ ค่าคงที่ เรียกว่า Drag coefficient

แทนค่า

$$U_t = \left[\frac{4 \times 9.81 \times (971 \times 10^{-6}) \times ((0.67 \times 10^3) - 0.23)}{3 \times 0.23 \times 6.59} \right]^{0.5}$$

$$U_t = 2.39 \text{ m/s}$$

คำนวณค่าเรย์โนลต์ นัมเบอร์ (Reynolds number, Re)

แทนค่า

$$Re = \frac{(971 \times 10^{-6}) \times 0.23 \times 2.39}{3.5 \times 10^{-5}}$$

$$Re = 14.97$$

จากค่าเรย์โนลต์ นัมเบอร์ (Reynolds number, Re) นำไปปีกหาค่า Drag coefficient (C_d) ได้

$$C_d = 11.16$$

แทนค่า

$$U_t = \left[\frac{4 \times 9.81 \times (971 \times 10^{-6}) \times ((0.67 \times 10^3) - 0.23)}{3 \times 0.23 \times 11.16} \right]^{0.5}$$

$$U_t = 1.84 \text{ m/s}$$

การคำนวณหาค่าความเร็วสูงสุด (U_t) สามารถทำได้แล้วเดียวกันนี้ไปเรื่อยๆ จนกระทั่งค่าความเร็วสูงสุดที่คำนวณได้เริ่มมีค่าคงที่หรือเปลี่ยนไปน้อยมาก

จากค่า $U_t = 1.84 \text{ m/s}$ สามารถคำนวณค่า $Re = 11.51$

ที่ $Re = 11.51$ สามารถปีกกราฟหาค่า $C_d = 11.32$

จากค่า $U_t = 1.83 \text{ m/s}$ สามารถคำนวณค่า $Re = 11.43$

ที่ $Re = 11.43$ สามารถปีกกราฟหาค่า $C_d = 11.32$

จากค่า $U_t = 1.83 \text{ m/s}$ สามารถคำนวณค่า $Re = 11.43$

ที่ $Re = 11.43$ ดังนั้น ค่า $U_t = 1.83 \text{ m/s}$

จากการคำนวณข้างต้นสามารถทราบค่าความเร็วสุดท้ายที่ต้องใช้ในการทดสอบสภาวะอุณหภูมิ 700°C เวลา 3 ชั่วโมง มีค่าเท่ากับ 1.83 m/s

ก.6 ความเร็วไอน้ำ

สำหรับอัตราการไหลของไอน้ำที่ใช้ในการทดสอบในการทดสอบจะต้องอยู่ระหว่างความเร็วต่ำสุดและความเร็วสุดท้ายในการเกิดฟูอิคเชชัน และการทดสอบนี้อัตราการไหลของไอน้ำเท่ากับ 0.012 g/min (0.90 mL/s)

$$U_w = \frac{\dot{m}}{\rho_g A} \quad (\text{k.8})$$

โดยที่

U_w คือ ความเร็วไอน้ำ (m/s)

\dot{m} คือ อัตราการไหลของไอน้ำ (0.012 g/min)

ρ_g คือ ความหนาแน่นแก๊ส (0.23 kg/m^3)

A คือ พื้นที่หน้าตัดของหอกระดับ ($1.45 \times 10^{-2} \text{ m}^2$)

แทนค่า

$$U_w = \frac{0.012}{60 \times 0.23 \times (1.45 \times 10^{-2})}$$

$$U_w = 0.62 \text{ m/s}$$

ดังนั้น สรุปได้ว่าความเร็วไอน้ำที่ใช้ในการทดสอบคือ 0.62 m/s

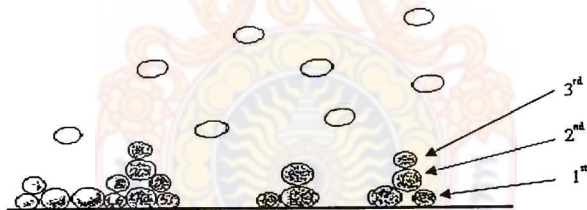
ภาคผนวก ข

เครื่องมือวิเคราะห์

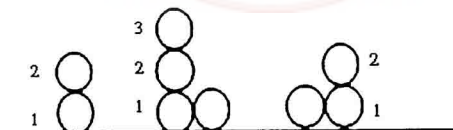
ในบทนี้จะกล่าวถึงหลักการเบื้องต้นของเครื่องมือวิเคราะห์ที่ใช้ในการวิจัยนี้ และการเตรียมตัวอย่างก่อนวิเคราะห์

ข.1 สมการของ Brunauer-Emmett-Teller (BET) [21]

ในปี 1933 Brunauer-Emmett-Teller ได้ศึกษาด้วยของการดูดซับต่อจาก Langmuir ในส่วนที่เกี่ยวกับการจัดเรียงไม่เกลุกของสารดูดซับในชั้นที่สูงกว่า ทั้งนี้เพื่อระกับก่อนหน้านั้นมาได้หลักฐานจากการทดลองที่ยืนยันให้แน่ชัดว่า การดูดซับจะไม่เกิดขึ้นเพียงครั้งเดียว แต่จะมีการดูดซับในชั้นที่สองและชั้นที่สูงกว่าตามมาด้วยเสมอ ตามแนวความคิดของ BET ถือว่าเมื่อระบบอยู่ในสมดุลที่ความดันยังคงในแต่ละฐานดูดซับบนพื้นที่ผิวจะมีไม่เกลุกของสารดูดซับจำนวนหนึ่งกลับตัวอยู่บนฐานดูดซับแต่ละฐานมากน้อยต่างกัน ดังแสดงในรูปที่ ข.1 และ รูปที่ ข.2



รูปที่ ข.1 แบบจำลองการดูดซับไม่เกลุกหลายชั้น



รูปที่ ข.2 The BET model for adsorption

จากข้อสมมติฐานทั้งหมดจะให้สมการดังต่อไปนี้ [22]

$$\frac{P}{V(P_0 - P)} = \frac{1}{V_m C} + \frac{(C-1)P}{V_m CP_0} \quad (4.1)$$

- โดยที่ V คือ ปริมาตรของแก๊สที่ถูกดูดซับที่ความดัน P
 V_m คือ ปริมาตรของแก๊สที่ถูกดูดซับเพื่อเกิดเป็นแบบชั้นเดียว (monolayer)
 P_0 คือ ความดันไอล์มตัว (saturation pressure) ของแก๊สที่อุณหภูมิคงลง
 C คือ ค่าคงที่ โดยมีความสัมพันธ์กับค่าความร้อนของการดูดซับ และค่าความร้อนของการกลายเป็นของเหลวของแก๊ส

$$C = e^{(q_i - q_L)RT} \quad (4.2)$$

- โดยที่ q_i คือ ค่าความร้อนของการดูดซับของการเกิดชั้นแรก
 q_L คือ ค่าความร้อนของการกลายเป็นของเหลวของแก๊สที่มาดูดซับบนชั้นอื่นๆ ทั้งหมด

ถ้า $q_i > q_L$ จะสอดคล้องกับ adsorption isotherm ชนิดที่ 2 แต่ถ้า $q_i < q_L$ จะสอดคล้องกับ adsorption isotherm ชนิดที่ 3

จากสมการ เมื่อเขียนกราฟระหว่าง $P/V(P_0 - P)$ กับ P/P_0 จะให้กราฟเส้นตรงที่มี ความชัน (slope) เท่ากับ $(C-1)/V_m C$ และจุดตัด (intercept) เท่ากับ $1/V_m C$ จากค่าความชันและจุดตัดสามารถใช้หาค่า V_m และ C ได้ สมการของ BET สามารถใช้ได้กับการดูดซับจำนวนมากที่มีค่า P/P_0 อยู่ระหว่าง 0.05 - 0.3 และช่วงนี้ปักติดจะใช้สำหรับวัสดุค่าพื้นที่คิว เมื่อค่า P/P_0 เพิ่มสูงขึ้นจะเกิดการ ดูดซับแบบหลายชั้น (multilayer adsorption) และ pore condensation ทำให้เส้นกราฟไม่เป็นเส้นตรง สำหรับสารที่มีรูพรุน แคบมาก ตัวอย่างเช่น สารพากซีโซไลต์ (Zeolite) ช่วงที่เป็นเส้นตรงที่ได้จากการพล็อตสมการของ BET จะเกิดที่ค่า P/P_0 ต่ำมาก ประมาณ 0.01 หรือ น้อยกว่า

จากสมการ $V_m = 1/(S+1)$ เมื่อ S คือ ค่าความชันซึ่งมีค่าเท่ากับ $(C-1)/V_m C$ และ I คือ จุดตัด ที่มีค่าเท่ากับ $1/V_m C$

$$S+1 = \frac{1}{V_m C} [(C-1)+1] = \frac{1}{V_m} \quad (4.3)$$

ค่าพื้นที่ผิวของตัวเร่งปฏิกรณ์สามารถคำนวณได้จาก V_m ทั้งรูปที่โดยเฉลี่ยของโมเลกุลที่มาดูดซับ

inert vapor ได้ ก็ตามที่สามารถดูดซับได้ สามารถใช้ในวิธีของ BET แต่เพื่อให้ได้ผลการวัดที่น่าเชื่อถือ โมเลกุลควรจะเล็กและมีลักษณะเป็นทรงกลม จะใช้ในโครงงานเหลวเป็นตัวให้ความเห็นและ

ใช้แก๊สในไตรเจนเป็นตัวอุกคุดชันเนื่องจากมีราคาถูกและมีความบริสุทธิ์ในไตรเจนจะให้ลักษณะของ adsorption isotherm ชนิดที่ 2 บนผิวน้ำทั้งหมด

ความดันไอยိอุกของของแก๊สในไตรเจนจะมีค่าอยู่ในช่วงประมาณ $10 - 100 \text{ kPa}$ เพื่อให้ได้ค่า P/P_0 อยู่ในช่วง $0.05 - 0.30$

ข.2 การวิเคราะห์โครงสร้างโดยกล้องจุลทรรศน์อิเล็กตรอนแบบส่องกราด (Scanning electron microscope, SEM) [23]

ข.2.1 ส่วนประกอบและการทำงานของเครื่อง

ในเครื่อง SEM ประกอบไปด้วยส่วนประกอบหลักๆ ที่สำคัญ ดังต่อไปนี้

1. แหล่งกำเนิดอิเล็กตรอน (Electron source)

2. อิเล็กโทรแมกнетิกเลนส์ (Electromagnetic lens) หรือคด漉ดทำหน้าที่ควบคุมการส่องกราดของลำอิเล็กตรอน

3. ปั๊มสูญญากาศและระบบควบคุมความดัน (Control pressure system)

4. ช่องใส่ตัวอย่าง (Specimen chamber)

5. ตัวตรวจสัญญาณอิเล็กตรอน (Electron signal detector)

6. อุปกรณ์สร้างภาพ (Imaging devices)

ข.2.2 การเตรียมตัวอย่าง

ในการวิเคราะห์และการศึกษาการใช้เครื่อง SEM เพื่อให้ได้ภาพที่ดีนั้น นอกจากจะขึ้นกับประสิทธิภาพหรือความสามารถของเครื่องแล้วยังขึ้นกับชนิดของตัวอย่างและเทคนิคการเตรียมตัวอย่างที่เหมาะสมอีกด้วย ซึ่งสิ่งที่ควรคำนึงถึงในการเตรียมตัวอย่างเพื่อศึกษาโดยเครื่อง SEM มีรายละเอียดโดยสังเขปดังนี้

ข.2.3 ประเภทตัวอย่าง

เป็นวัสดุตัวอย่างหรือผงวัสดุตัวอย่างที่เป็นของแข็งความดันต่ำกว่า 1 หรือเท่ากับ 10^3 ทอร์

ข.2.4 ขนาด

ขนาดของตัวอย่างถูกจำกัด โดยขนาดของช่องใส่ตัวอย่าง และแทนว่างตัวอย่างของเครื่อง SEM ซึ่งแตกต่างกันแล้วแต่บริษัทและรุ่นที่ผลิต โดยในบางรุ่นอาจวางตัวอย่างขนาดใหญ่ได้ถึงประมาณ 15 ถึง 30cm อย่างไรก็ตามขอบเขตของการส่องกราดของลำอิเล็กตรอนจะจำกัดอยู่ในวงพื้นที่ไม่เกิน 4 ถึง 8cm

ข.2.5 การเตรียมตัวอย่าง

- การติดตัวอย่างบนแท่นวางตัวอย่าง

กรณีตัวอย่างเป็นชิ้นงานก่อนนำไปศึกษาในเครื่องต้องทำการตัดชิ้นงานเข้ากับก้านวงตัวอย่าง ซึ่งส่วนใหญ่ทำด้วยโถหะ มีลักษณะเป็นรูปทรงกลมมีก้านที่มีขนาดเล็กผ่านศูนย์กลางและความสูงเหมือนสามไส้ไดพอดีกับช่องว่างในฐาน วางแผนตัวอย่างและใช้สารเชคติดตัวอย่างเข้ากับก้านวงตัวอย่าง วิธีการทำโดยการทาหรือติดสารเชคติดตัวอย่างลงบนแผ่นหน้าของก้านวงตัวอย่างและติดตัวอย่างด้านที่ไม่ต้องการศึกษาลงบนแผ่นหน้าก้านวงตัวอย่าง ทั้งให้ติดสนิทหรือเหลาให้ระยะหนึ่ง ในกรณีตัวอย่างไม่นำไฟฟ้าต้องนำตัวอย่างนั้นไปผ่านขั้นตอนการงานด้วยโลหะก่อนนำไฟฟ้าไปศึกษา

กรณีตัวอย่างเป็นผงมักใช้สารเชคติดตัวอย่างเข้าพวกที่เป็นเทปการสองหน้าติดด้านบนของก้านวงตัวอย่างและໂրอยผงตัวอย่างให้กระชาดงบนด้านหน้าของก้านวง จากนั้นใช้ลงชากเปาลม และปัดฝุ่นและเศษของผงตัวอย่างที่ไม่มีเชคติกับก้านวง จากนั้นจึงนำเข้าเครื่อง SEM เพื่อทำการศึกษาต่อไป หรือทำการฉาบเคลือบด้วยโถหะ กรณีตัวอย่างไม่นำไฟฟ้า

- การเคลือบ (Coating) ผิวชิ้นงาน

ในการเคลือบหรือฉาบผิวตัวอย่างนิยมใช้สารตัวนำไฟฟ้าเข้าพวกโถหะหนักที่ไม่เลกฤทธิ์นาคเด็ก เช่น คาร์บอน ทอง และโลหะผสมทอง-พัลลาเดียม เป็นต้น โดยมีจุดประสงค์เพื่อเพิ่มสมบัติในการนำไฟฟ้าให้กับตัวอย่าง ทั้งนี้หลักการเมืองด้านของการฉาบเคลือบ ต้องกระทำภายใต้ภาวะอุณหภูมิและความชื้นที่เหมาะสมเพื่อให้โลหะหนักเปลี่ยนสภาพจากแห้งโลหะมาเป็นไมเลกฤทธิ์และหลอมบนผิwtตัวอย่างในอัตราส่วนเดียวกัน ทำให้โลหะฉาบผิวตัวอย่างได้เป็นเนื้อเดียวกัน

ข.3 การวิเคราะห์สมบัติทางเคมีโดยเครื่องฟูเรียร์ทารานฟอร์ม อินฟราเรดスペกโทรมิเตอร์ (Fourier Transform Infrared Spectrometer, FT-IR) [24]

ข.3.1 หลักการของเครื่อง

ฟูเรียร์ทารานฟอร์ม อินฟราเรดスペกโทรมิเตอร์ (Fourier Transform Infrared Spectrometer) ใช้วิธีวัดที่ต่างไปจากเครื่องมือสเปกโทรมิเตอร์ทั่วไป คือ วัดความเข้มของแสงต่อความชาร์คลีน หรือ กำลังขยายที่ความชาร์คลีนต่างๆ กันของตัวอย่างเพื่อบันทึกเวลา เรียกว่า Time-domain Spectroscopy หากนั้น Time-domain spectrum จะถูกเปลี่ยนเป็น frequency-domain spectrum ด้วย Fourier transform จากการใช้คิจิตลอกคอมพิวเตอร์ สิ่งที่สเปกตรัมทั้งสองแตกต่างกันจริงๆ คือ frequency-domain spectrum เป็นสเปกตรัมที่ได้จากการวัดการคูณกันและแลกเปลี่ยนที่ความถี่ต่างๆ กันที่จะครั้งในช่วงระยะเวลาอันหนึ่งแต่ Fourier transform spectrum ได้จากการวัดการคูณกันและแลกเปลี่ยนที่ความถี่ต่างๆ กันพร้อมกันทั้งหมด ดังนั้น Fourier transform จึงช่วยให้การวิเคราะห์ร่วมกันเพื่อการวัดค่าที่ต้องการ สามารถจะเป็นแบบวัดทีละความถี่ (sequentially) แต่ FT-IR วัดที่ความถี่ต่างๆ อย่างต่อเนื่อง (simultaneously) เรียกว่า Fellgett's advantage สามารถใช้ circular entrance aperture แทน entrance slit ได้ ทำให้กำลังแสงสูงขึ้นด้วย ทำให้การแยกคิจชีน และการวิเคราะห์ง่ายและสะดวกด้วยการใช้คอมพิวเตอร์ควบคุมการ

ห่างงานอย่างไรก็ดี เครื่องปูร์เบร์ทранฟอร์ม อินฟราเรดสเปกโตรมิเตอร์มีราคาแพงและต้องเสียค่าใช้จ่ายในการบำรุงรักษาสูงเมื่อจากต้องเก็บในห้องควบคุมความชื้นตลอดเวลา

4.3.2 การเตรียมตัวอย่าง

การวิเคราะห์สารตัวอย่างที่เป็นของแข็ง โดยไม่มีผลของตัวทำละลายหรือสารอื่นๆ ผสมอยู่เกินชั้ง นั่นคือเม็ดเฉพาะตัวอย่างเท่านั้น จึงเป็นจะต้องทำให้สารตัวอย่างมีลักษณะบางมากๆ เป็นฟลั่นที่หนาประมาณ $0.01\text{--}0.1\text{ mm}$ เพื่อให้แสงผ่านໄได้เทคนิคต่างๆ ที่เลือกใช้ซึ่งขึ้นอยู่กับสมบัติทางกายภาพของสารนั้นด้วย เทคนิคต่างๆ มีดังต่อไปนี้

1. ใช้วิธีอัดและรีดให้เป็นแผ่นบางๆ ด้วยโลหะบนแผ่นโลหะเรียบ หรือแผ่นพลาสติกหรือบนแผ่นที่玷บด้วยพลาสติกหรือที่ทนความร้อน เมื่อนำสารตัวอย่างไปอัดและรีดจนได้แผ่นบางๆ หรืออาจให้ความร้อนในขณะอัดและรีดด้วยแก๊สได้ เทคนิคนี้เหมาะสมที่จะใช้กับสารตัวอย่างที่เป็นพลาสติก ถ้าสารตัวอย่างไม่แข็งมากนัก อาจใช้ windows 2 แผ่น รีดสารตัวอย่างก็ได้ แต่จะต้องระวังการแตกของ windows ด้วย

2. ใช้วิธีหลอม นำสารตัวอย่างมีมวลไม่เกินต่ำ อาจหลอมเหวว่าได้จ่าย แล้วนำสารตัวอย่างที่หลอมเหลวเทลงไปบนแผ่นโลหะเรียบให้เป็นแผ่นบางๆ หรือเทลงไปในระหว่างแผ่น windows 2 แผ่นประกอนกัน แล้วทิ้งไว้ให้เย็น

3. ในกรณีที่สารตัวอย่างเป็นพลาสติก หรือขี้ผึ้ง เป็นต้น อยู่ในรูปเป็นก้อนหรือเป็นแท่ง สามารถใช้ไมโครโทมตัดให้เป็นแผ่นบางๆ ได้

4. ใช้วิธีทำให้เป็นสารละลาย โดยให้สารตัวอย่างละลายในดัชน้ำและทำให้ระเหยจางๆ แล้วนำสารละลายนั้นเทลงบนแผ่นกระดาษ หรือแผ่นโลหะที่ขัดมัน หรือแผ่นพลาสติก หลังจากดัชน้ำจะหายออกไปแล้ว ใช้มีดตัดแผ่นฟลั่นออกมา ถ้าสารตัวอย่างนั้นไม่ละลายน้ำ ให้นำแผ่นฟลั่นถุ่มลงในน้ำหลังจากทำให้แห้งแล้วสังเกตเห็นว่าแผ่นฟลั่นตรงกลางจะบางกว่าที่ขอบ เนื่องจากความเข้มข้นของสารละลายไม่เป็นเนื้อเดียวกัน ซึ่งสามารถแก้ไขได้โดยใช้สารละลายใหม่มากที่สุดเท่าที่จะทำได้ อย่างไรก็ตาม วิธีนี้ยังคงมีความท้าทายที่ต้องใช้เวลาหลังเหนืออยู่อีกน้ำเดือนน้อย

5. ใช้ Mull technique วิธีนี้ได้รับความนิยมมากสำหรับการวิเคราะห์สารตัวอย่างที่เป็นของแข็ง ใช้สารตัวอย่าง $2\text{--}3\text{ mg}$ บดให้ละเอียดด้วยโกรงอะกรต หรือ ball mill เด็กๆ แล้วหยด Nujol ลงไป $1\text{--}2\text{ หยด}$ แล้วบดต่อไปจนเป็นเนื้อเดียวกัน แล้วนำสารตัวอย่างที่บดได้นี้ไปใส่ลงบน NaCl window หรือ window อย่างอื่นเพียงเล็กน้อย แล้วอาอีกແผ่นประกอน ถูไปมาจนทั่วແผ่น นำไปใส่ใน sample holder เพื่อวิเคราะห์ต่อไป

6. ใช้ KBr-pellet technique นับว่าเป็นเทคนิคที่มีประโยชน์มากอีกเทคนิคหนึ่ง โดยใช้สารพลาสติกไลเชลล์ เข็น KBr ที่เป็นของแข็งผสมกับสารตัวอย่าง บดให้เข้ากันในโกรงอะกรต แล้วนำไปอัดจะได้สารเป็นแผ่นใส สามารถนำไปวิเคราะห์ได้โดย ส่วนวิธีทำ KBr-pellet ใช้สารตัวอย่างประมาณ 2.0 mg ผสมกับ KBr $100\text{--}200\text{ mg}$ ในโกรงอะกรต หรือ Ball mill แล้วบดให้ละเอียดจนเป็นเนื้อเดียวกัน

ตามปกติการทำ KBr-pellet ควรให้มีสารตัวอย่างเข้มข้นประมาณ 0.1-2 % แต่ถ้าจะเปลี่ยนแปลงปริมาณให้เข็มอยู่กับสารตัวอย่างนั้นดูดกลืนแสงอินฟราเรดได้เพียงใด เมื่อบดดีแล้วนำไปใส่ในเครื่องอัดซึ่งเรียกว่า die หลังจากเปิดปั๊มดูดอากาศออกประมาณ 1 นาที จึงจะเริ่มอัดตัวขึ้นเครื่องอัด ซึ่งอาจเป็น hydraulic press อัดประมาณ 10 ตัน หลังจากดัดความดันและปิดปั๊มออกจาก die แล้ว จึงนำตัวอย่างที่เป็น pellet ใส่บางอุปกรณ์อย่างระมัดระวัง เพราะอาจแตกหรือหักได้ จากนั้นใส่ลงใน disc holder เพื่อนำไปวิเคราะห์ต่อไป



ภาคผนวก C

ข้อมูลการทดลอง

**ตารางที่ C.1 ผลได้พื้นที่ผิว ความหนาแน่นจริง และความหนาแน่นปรากฎ ของถ่านจากการแยก
จากการรืบปืนเชื้อชัน**

ตัวอย่าง	อุณหภูมิ (°C)	เวลา การรืบปืนเชื้อชัน (hr)	น้ำหนัก	น้ำหนัก	ผลได้ (%)	พื้นที่ผิว (m ² /g)	ความหนาแน่น	ความหนาแน่น
			กากกาแฟ	ถ่าน			(g/mL)	ปรากฎ (g/mL)
1		1	89.91	32.07	35.67	4.80	0.75	0.45
2	400	2	84.32	29.38	34.84	0.36	0.76	0.46
3		3	82.93	21.27	28.06	1.31	0.74	0.38
4		1	82.81	21.13	25.51	42.74	0.70	0.39
5	500	2	80.25	19.66	24.50	100.89	0.72	0.37
6		3	80.52	13.80	17.14	25.07	0.69	0.38
7		1	80.50	19.84	24.65	143.16	0.67	0.31
8	600	2	84.09	19.92	22.98	107.46	0.65	0.29
9		3	87.57	17.71	20.22	93.35	0.64	0.30

ตารางที่ ค.2 ผลได้ของถ่านกัมมันต์จากกาแกแฟโดยการกระตุ้นด้วยฟลูอิโอดีเซ็นไอน้ำ

ตัวอย่าง	อุณหภูมิ (°C)	เวลา การ กระตุ้น (hr)	น้ำหนักถ่าน (g)	น้ำหนัก ถ่านกัมมันต์ (g)	ผลได้ (%)
1		3	50.02	41.30	82.57
2	700	5	50.01	35.12	70.22
3		7	50.04	35.83	71.60
4		3	50.01	34.83	69.65
5	800	5	50.03	15.16	30.30
6		7	50.04	14.14	28.26
7		3	50.00	6.15	12.30
8	900	5	50.01	1.33	2.64
9		7	50.00	18.53	37.06

ตารางที่ ค.3 พื้นที่ผิว ปริมาตรรูพrun และขนาดรูพrun เหลี่ยมของถ่านกัมมันต์จากกาแกแฟโดยการ
かる์โนบ้านช์และการกระตุ้นด้วยฟลูอิโอดีเซ็นไอน้ำ

ตัว อย่าง	อุณหภูมิ (°C)	เวลา กระตุ้น (hr)	พื้นที่ผิว			ปริมาตรรูพrun			ขนาดรู พrun เหลี่ยม (nm)
			S _{mi} (m ² /g)	S _{me} (m ² /g)	S _{Total} (m ² /g)	V _{mi} (mL/g)	V _{me} (mL/g)	V _{Total} (mL/g)	
1	600	1	0	159	159	0	0.20	0.20	5.10
2		3	193	203	396	0.10	0.17	0.27	2.71
3	700	5	168	237	405	0.09	0.23	0.32	3.17
4		7	256	249	505	0.13	0.22	0.35	2.77
5		3	163	358	521	0.08	0.25	0.33	2.51
6	800	5	330	236	566	0.17	0.18	0.35	2.45
7		7	313	257	570	0.16	0.21	0.37	2.62
8		3	321	275	596	0.17	0.17	0.34	2.28
9	900	5	358	709	1067	0.19	0.66	0.85	3.20
10		7	177	274	451	0.09	0.23	0.32	2.85

หมายเหตุ S_{mi} คือ พื้นที่ผิวน้ำด้านในโค้ง, S_{me} คือ พื้นที่ผิวน้ำด้านนอก, S_{total} คือ พื้นที่ผิวรวม
 V_{mi} คือ ปริมาตรรูพูนขนาดด้านในโค้ง, V_{me} คือ ปริมาตรรูพูนขนาดนอก,
 V_{Total} คือ ปริมาตรรูพูนรวม



ประวัตินักวิจัย

1	ชื่อ และ นามสกุล	นายไชยันต์ ไชยชา MR. CHAIYAN CHAIYA
2	หมายเลขบัตรประชาชน	3-1202-00156-44-0
3	ตำแหน่งปัจจุบัน	ตำแหน่งทางวิชาการ อาจารย์ 1 ระดับ 5 สาขาวิชาที่ทำการวิจัย สาขาวิศวกรรมเคมี
4	สถานที่ติดต่อ	ที่ทำงานปัจจุบัน สาขาวิชาเคมีอุตสาหการ คณะวิชาเทคโนโลยีเคมี มหาวิทยาลัยเทคโนโลยีราชมงคลกรุงเทพ ถนนนาจลินส์ แขวงทุ่งมหาเมฆ เขตสาทร กรุงเทพฯ รหัสไปรษณีย์ 10120 โทรศัพท์ 0 2286 3991-5 ต่อ 1195, 1210 ที่อยู่ปัจจุบัน 10/26 หมู่ 1 ต.บางกรวย อ.บางกรวย จ.นนทบุรี รหัสไปรษณีย์ 11130 E-mail address cchaiya@gmail.com

5 ประวัติการศึกษา

ระดับการศึกษา	อักษรร่อ	วิชาเอก	สถานศึกษา	ปีที่สำเร็จ	ประเทศ
ปริญญาโท	ปริญญา	ปริญญา	ปริญญาโท	ปริญญาโท	ไทย
ปริญญาเอก	Ph.D.	Environmental Technology	Joint Graduate school of Energy and Environment (JGSEE)	2547	ไทย
ปริญญาโท	วศ.ม.	วิศวกรรมเคมี	น. เทคโนโลยีพระจอมเกล้า ชลบุรี	2543	ไทย
ปริญญาตรี	วศ.บ.	วิศวกรรมเคมี	น. ศิรินครินทร์วิทยาลัย	2540	ไทย

6 สาขาวิชาการที่มีความชำนาญพิเศษ วิศวกรรมเคมี และเทคโนโลยีสิ่งแวดล้อม

7 ผลงานทางวิชาการพิมพ์เผยแพร่ บทความทางวิชาการ (ระบุชื่อเรื่อง แหล่งที่พิมพ์ ปีที่พิมพ์)

Boonamnuayvitaya V., Chaiya C. and Jarudilokkul S., Removal of heavy metals by adsorbent prepared from pyrolyzed coffee residues and clay, Separation and Purification Technology, 35, 11-22.

Boonamnuayvitaya V., Chaiya C. and Tanthapanichakoon W., The preparation and characterization of activated carbon from coffee residue, Journal of Chemical Engineering of Japan, 37, 1504-1512.

8 การประชุมวิชาการ

Chaiya, C. and Boonamnuayvitaya, V. 2000. The Adsorption of Heavy Metal Ions with Adsorbent Comprised of Coffee Residue, Proceedings of the 1st Asian Particle Technology Symposium, Bangkok, Thailand, 66.

Chaiya, C. and Boonamnuayvitaya, V. 2003. Adsorption of Toluene Vapor under Humid Condition by Activated Carbon Produced from Coffee Residue, Proceedings of the 2nd Regional Conference on Energy Technology Towards a Clean Environment, Phuket, Thailand, 2 : 1079-1085.

Chaiya, C. and Boonamnuayvitaya, V. 2003. Adsorption of Toluene Vapor under Humid Condition by Activated Carbon produced from Coffee Residue, proceedings of the Regional Conference on Advances in Petrochemicals and Polymers in the New Millennium, 22-25 July 2003, Le royal meridian hotel, Bangkok.

Chaiya, C. and Boonamnuayvitaya, V. 2003. Production and Characterization of Activated Carbon from Coffee Bean Residuals, Proceedings of the Materials Development and Particle Technology (MaDPart2003), The Center of the Excellence in Particle Technology, 14 Oct 2003, Mandarin hotel, Bangkok.

Chaiya, C. and Boonamnuayvitaya, V. 2003. Preparation of Activated Carbon from Coffee Residue : Characterization and Toluene Vapor Adsorption under Humidity, Proceedings of the 2nd Asian Particle Technology Symposium, Department of Chemical & Process Engineering, Universiti Kebangsaan, 16-19 Dec 2003, Penang, Malaysia.

ไขขันต์ ไชยยะ และ วิรожно่ บุญอ่อนวิทยา, การผลิตถ่านกัมมันต์จากกาแฟเพื่อใช้ในการดูดซับสารไม่เลทุกขนาดใหญ่, 2546, การประชุมวิชาการและงานแสดงผลิตภัณฑ์วิทยาศาสตร์และเทคโนโลยีแห่งประเทศไทย ครั้งที่ 29, 20-22 ตุลาคม 2546, ศูนย์ประชุมองค์ประสาทค้าอยุธยา กิจยุทธ์, มหาวิทยาลัยขอนแก่น, จังหวัดขอนแก่น

ไขขันต์ ไชยยะ ทวีวรรณ์ เกษยอินทร์ และอดิญา ใจเอื้อ, การสังเคราะห์ถ่านกัมมันต์จากกาแฟเพื่อใช้เชิงคัดกรองโลหะ, 2548, การประชุมสัมมนาทางวิชาการมหาวิทยาลัยเทคโนโลยีราชมงคล ครั้งที่ 21, 28-30 มีนาคม 2548, โรงแรมเชียงใหม่ภูคำ, จังหวัดเชียงใหม่